

GM 62164

REVIEW OF EXPLORATION WORK CARRIED OUT ON THE AQUILON PROJECT

Documents complémentaires

Additional Files



Licence



Licence

Cette première page a été ajoutée
au document et ne fait pas partie du
rapport tel que soumis par les auteurs.

Énergie et Ressources
naturelles

Québec 



CHRISTIAN DEROSIER GÉOLOGUE-CONSEIL INC.

GOLDEN TAG RESOURCES INC.

REVIEW OF EXPLORATION WORK CARRIED OUT ON THE AQUILON PROJECT

JAMES BAY TERRITORY

QUEBEC

NTS : 33I/01 - 02

33H/15-16

Prepared by: Roger Moar, P. Geo, B.Sc.

Christian Derosier, P. Geo., M.Sc., D.Sc.

DECEMBER 2004

TABLE OF CONTENTS

SUMMARY

1.0	INTRODUCTION	1
2.0	LOCATION AND ACCESS	4
3.0	MINING PROPERTIES	5
4.0	GENERAL GEOLOGY	7
5.0	GEOLOGY OF THE PROPERTY	12
6.0	PREVIOUS WORK	16
7.0	REVIEW OF PREVIOUS WORK AND DISCUSSION	24
8.0	CONCLUSIONS AND RECOMMENDATIONS	44
9.0	BIBLIOGRAPHY	47

APPENDICES

Appendix no 1	2004 trenching programme
Appendix no 2	2004 Diamond drill logs
Appendix no 3	Cross-sections of the 2004 diamond drilling programme
Appendix no 4	Geoscientific compilation of the Aquilon area

LIST OF FIGURES

Figure No 1:	Location map, Quebec
Figure No 2:	Location and access
Figure No 3:	Claims Map
Figure No 4:	Regional geological map
Figure No 5:	Map showing the repartition of sedimentary and volcanic rocks in the La Grande Rivière Basin
Figure No 6:	Regional geological map (2)
Figure No 7:	Geological map of the property
Figure No 8:	2004 Diamond drilling program, Hole locations
Figure No 9:	Part of the aeromagnetic map of Quebec
Figure No 10:	Total field magnetic map of the Aquilon area
Figure No 11:	Schematical cross section across the Aquilon-La Forge Basin
Figure No 12:	Structural interpretation of the Aquilon area
Figure No 13:	Total magnetic field of the Hinge of Mega fold area
Figure no 14:	Geology of the Aquilon Project
Figure no 15:	Red Toad Gold Area

TABLE OF CONTENTS (cont.)

Table no 1	Simplified stratigraphic section of lithostratigraphic units of La Grande Rivière Basin
Table no 2	1999 drilling campaign results
Table no 2a	2000 drilling campaign results
Table no 3	List of trenches excavated in 2004
Table no 4	Summary of 2004 diamond drill holes
Table no 5	Significant results of the diamond drilling program
Table no 6	Chronology of intrusions and injections as observed on stripped area and in trenches.

INDEPENDENT TECHNICAL REPORT ON THE AQUILON PROJECT, JAMES BAY MUNICIPALITY, QUEBEC

1.0. INTRODUCTION AND TERMS OF REFERENCE

Christian Derosier Géologue-Conseil Inc. has been retained by **Golden Tag Resources Inc.** to prepare an independent technical report for the Aquilon Project, James Bay Municipality Quebec. The report was prepared as a review of the work previously undertaken on the permit, to detailed review the geological, geophysical and geochemical parameters that could guide future exploration over the Aquilon project. This report was not prepared in compliance with National Instrument 43-101 (Standards of Disclosure for Mineral Projects) but numerous parts could be one day used for such a qualification report.

1.1 Terms and Definitions

“**Golden Tag**” refers to **Golden Tag Resources Limited.**, **Soquem** refers to **SOQUEM Inc.** and **Sirios** refers to **Sirios Resources Inc.** “**C.D.G.C.**” refers to **Christian Derosier Géologue-Conseil Inc.**

1.2 Scope of Work

The scope of work undertaken by **C.D.G.C.** involved an assessment of the following aspects of the project:

- 1) Audit paper files and reports prepared by the partners on the Aquilon Project;
- 2) Complete audit of borehole and assay database;
- 3) Conduct geological and structural investigations and examine project geophysical, geochemical, mineralogical and petrographic files;
- 4) A revision of the geological interpretation of the Aquilon project,
- 5) A geostatistical analysis of assay data;
- 6) Prepare a geological modelling and resource estimation if any,
- 7) Provide genetic model explaining the presence of gold mineralization,
- 8) Provide exploration targets with a budget.

1.3 Basis of the Technical Report

This technical report is based on:

- 1) A site visit conducted by **Roger Moar** in August 2004;
- 2) A focused structural study conducted during the site visit to assess the geological and structural controls on gold distribution and on economic potential for gold in the tonalitic intrusion ;
- 3) A review of historical geological and diamond drilling reports prepared on this project and recorded in the Quebec Department of Natural Resources files in Montreal office;
- 4) A complete audit of the borehole database, including a reconstruction of the assay database from available original paper and assay certificates;

1.0. INTRODUCTION AND TERMS OF REFERENCE (cont.)

1.4 Limitations and Reliance on Information

C.D.G.C.'s opinion contained herein and effective December 15, 2004, is based on information provided to **C.D.G.C.** by **Golden Tag** and the Q.D.N.R. throughout the course of **C.D.G.C.**'s investigations as described in Section 1.2, which in turn reflect various technical and economic conditions at the time of writing. Given the nature of the mining business, these conditions can change significantly over relatively short periods of time. This report includes technical information, which requires subsequent calculations to derive sub-totals, totals and weighted averages. Such calculations inherently involve a degree of rounding and consequently introduce a margin of error. Where these occur, **C.D.G.C.** does not consider them to be material.

C.D.G.C. is not an insider, associate or affiliate of **Golden Tag** and his partners and neither **C.D.G.C.** nor any affiliate has acted as advisor to **Golden Tag** or its affiliates in connection with this project.

The results of the review by **C.D.G.C.** is not dependent on any prior agreements concerning the conclusions to be reached, nor are there any undisclosed understandings concerning any future business dealings. **C.D.G.C.** has been informed by **Golden Tag** that there is no current litigation that may be material to the Aquilon Project, and that **Golden Tag** is not aware of any pending litigation that may be material to the mining asset.

C.D.G.C. reviewed a limited amount of correspondence, pertinent maps and agreements to assess the validity and ownership of the mining concessions. In addition, **C.D.G.C.** conducted an in-depth review of mineral titles and ownership; consequently, and it is our opinion that all titles are the property of **Sirios** and that they are in good standing. The title ownership and status information documented in this report was obtained from information provided by Q.D.N.R. and by **Golden Tag** and is considered current as of December 15, 2004. However, **C.D.G.C.** does not accept any responsibility for errors pertaining to this information.

1.5 Units

Units in the **C.D.G.C. Inc.**'s report are in metric unless otherwise specified. Precious metal content is reported in grams of metal per metric tonne (g/T Au or Ag) except otherwise stated. Tonnage figures are dry, metric tonnes unless otherwise stated. Reference to base metals reported in weight percent or in parts per million (ppm) metal.

1.6 Visit of the properties

The author has not visited the Aquilon properties. However, the research and evaluation were made in cooperation with Roger Moar, senior geologist who worked on that mining property during the 2004 diamond drilling campaign.



CLIENT : **GOLDEN TAG RESOURCES LIMITED**

FAIT / MADE :
C. DEROSIER

DATE:
NOVEMBER 2004

PROJET / PROJECT : **AQUILON PROJECT**

APPRO. :

ÉCHELLE / SCALE :
1 : 5 000 000



LOCATION AND ACCESS

CONTR. : **2004-201**

SUBD. :

FIG. No: **02**

2.0 LOCATION AND ACCESS

The Aquilon Project comprises 149 mining claims forming three non-contiguous blocks, totaling 7,537 hectares straddling the 33I/01 and 33I/02 N.T.S. sheets (Figure no 1). The property is located in the Quebec James Bay Territory, about 400 km East of the municipality of Radisson and about 960 km from Matagami. According to the James Bay Agreement, this land is classified as Class-III and do not carry any restriction concerning mining or exploration activities. The Territory is not exempted from Quebec general environmental laws.

The Aquilon Project is also located within 20 km south of the Hydro-Quebec La Forge-1 Complex (LA-1) (Figure no 1). Access is relatively easy by all weather roads from Matagami to the Trans-Taïga gravel road (452 km), then to the East for a distance of 398 km to the intersection with the gravel road leading North to the LA-1 complex. That road crosses the property and at Km 21, a summer-road lead to an old Hydro-Quebec sand pit at about 3.5 km west of LA-1 access road.

The Eastern part of the property is only accessible by seaplane from Cargair LG-4 base (about 100 km West) from mid-June to September or by helicopter from LG-4 Hydro Quebec or Mirage Outfitter Lodge. During Winter, accommodations may be available at the LA-1 Hydro Quebec camps or at Mirage Outfitter.

The property vicinity area is characterized by a very flat topography. Numerous NE oriented swampy areas and shallow lakes with numerous erratic blocks are the cause of a difficult access. Use of Argo-Type amphibian vehicle is necessary to travel across the sparse vegetation composed of black spruces and moss.

The region experiences cold winters and generally warm summers. Temperatures in January are often below -30°C while mid 30°C are common between June and September. Snow accumulation and freeze-up of lakes begin in November and remain into May sometimes early June.

3.0 MINING PROPERTY

The Aquilon property is for the moment owned by SOQUEM (50%) and SIRIOS (50%). Claims are recorded under the two names in the Quebec Department of Natural Resources, Parks and Fauna. The property is composed of 149 mining cellules forming three non-contiguous blocks and totalling 7,537 hectares (75.4 square kilometres),

In 2000, SOQUEM acquired its 50% interest in the property by spending \$ 470 000 in exploration work and following payments to SIRIOS.

In 2003, SIRIOS and SOQUEM signed a letter of agreement with Golden Tag Resources Ltd., whereby Golden Tag may acquire the right to earn a 40% or 60% of the Aquilon property.

Under the terms of the Letter of Agreement, Golden Tag is granted the option to earn up to a 40% working interest in the property over the first three years by expending a total of \$750 000 in exploration expenses and an additional option to earn a 20% additional interest by expending another \$750 000 over the next three years, bringing the total expenditure requirement to \$1.5 million over six years to earn up to a 60% interest.

Following its initial \$750,000 expenditure requirement, Golden Tag shall also issue to SOQUEM \$100,000 in value of its common shares. If Golden Tag decides to earn only a 40% interest then SOQUEM will have 20% in the joint venture and SIRIOS will have 40%. If Golden Tag earns a 60% interest, then Sirios will have 40% and SOQUEM will receive a further allotment of Golden Tag shares valued at \$150 000 plus a 1% Net Smelter Royalty (NSR) on the Property.

The Letter of Agreement is subject to the required approvals and consents from the relevant authorities.

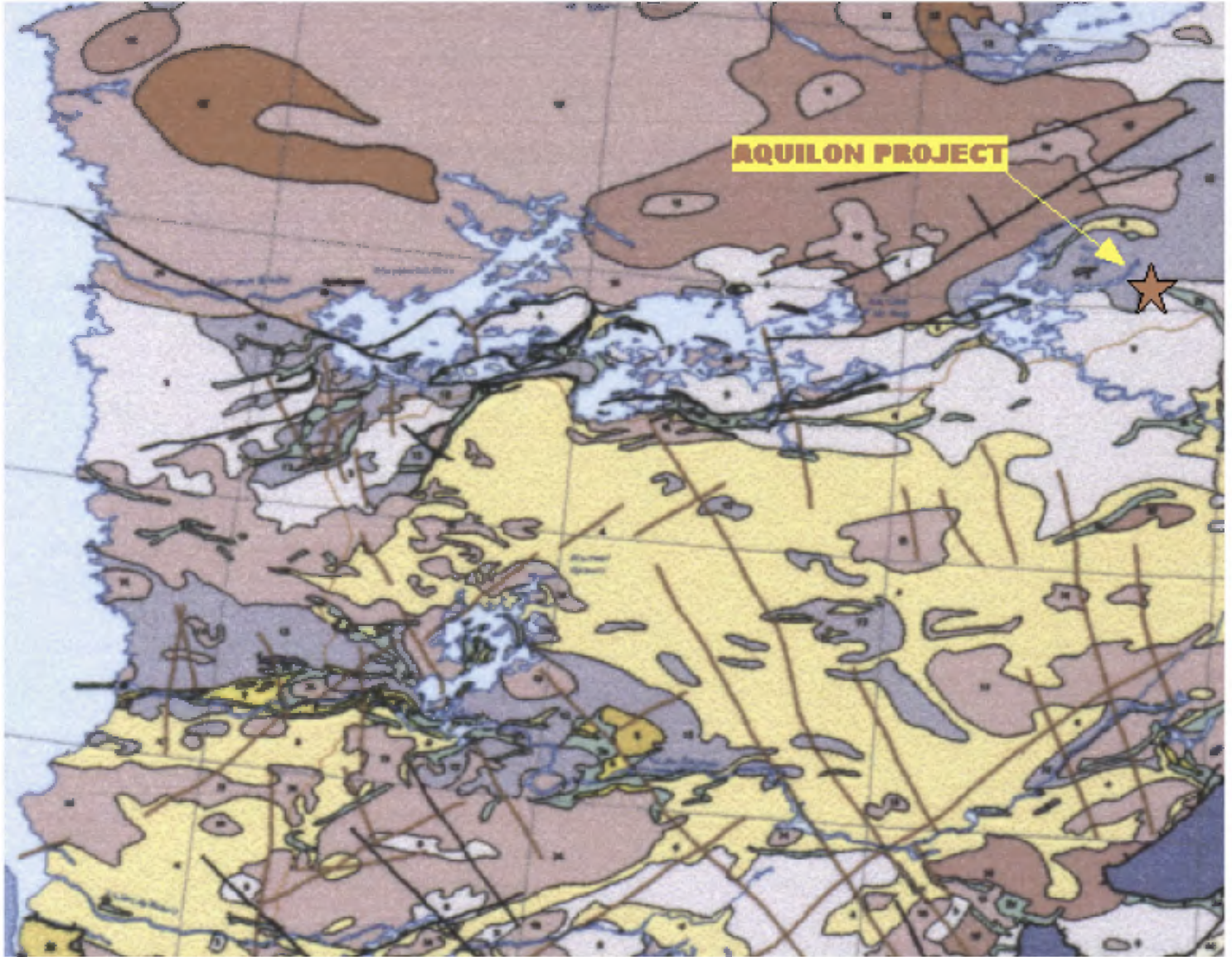
4.0 GENERAL GEOLOGY

The Aquilon property is located within the La Grande Subprovince (2800-3000 By), which is itself a subdivision of the Superior Province of the Canadian Shield. According to K. Sharma (1979), in its northeast portion, the La Grande Subprovince hosts two folded greenstone belts: La Forge and Aquilon (Figure no 5). However, the present review of the Aquilon project permitted to better understand this regional geology. Our interpretation based on the total magnetic field of Quebec permits to tie the two narrow belts in one volcano-sedimentary basin. This interpretation will be demonstrated in Chapter no 7.

The "two" greenstone belts are characterized by positive magnetic lineaments coincidental with the presence of mafic to ultramafic volcanics and iron formations. These greenstone belts vary from 2 to 7 km in thickness and from 50 to 60 km in length. "Aquilon belt" is a north-plunging overturned antiform while the "La Forge greenstone belt" is subvertical to highly dipping to the North folded and faulted band. Metasedimentary rocks are more abundant in the La Forge belt which is reflected by the airborne mag. It is mainly composed of biotite-hornblende paragneiss (metagrauwackes) with minor conglomerates and felsic tuffs. Mafic tuffs and basalts are present in its western and eastern limits. The central part of the wide basin (between La Forge and Aquilon volcanic bands was mapped by K Sharma (1979) as a granitic batholith but according to the regional magnetism, it rather appears as a sedimentary basin with mainly metagrauwackes (para to orthogneisses). The Aquilon segment hosts tholeiitic metabasalts and komatiites, detritic metasediments (grauwackes/pelites), as well as calc-alkaline felsic rocks. Plutonic rocks of different compositions (quartz-rich diorite, granodiorite, diorite and granite) intrude these volcano-sedimentary rocks and they have been affected by the same metamorphism and deformations (Sharma, 1979). Some quartz-rich diorite are apparently younger in that their texture is relatively different and they contain fragments of meta-volcanic and meta-sedimentary rocks. All these rocks are crosscut by quartz veins, mafic, diabases and pegmatites dykes. Stratigraphic succession of these dykes is discussed in the present report. Some dykes did not experienced metamorphism.

Regional metamorphism varies from lower to high amphibolite facies, with mineral assemblages characterized by actinolite-epidote-plagioclase and hornblende in metabasalts and locally by sillimanite-garnet in pelites (Sharma, 1979; Lapointe, 2000).

For the moment, the Aquilon segment is better known than the La Forge segment, in large part due to the exploration campaigns carried out by Sirios and SOQUEM. It is almost certain that after some prospecting and reconnaissance surveys on the La Forge belt, the same rock types will be discovered and hopefully the same gold mineralization.



OLDEN TAG RESOURCES LIMITED.

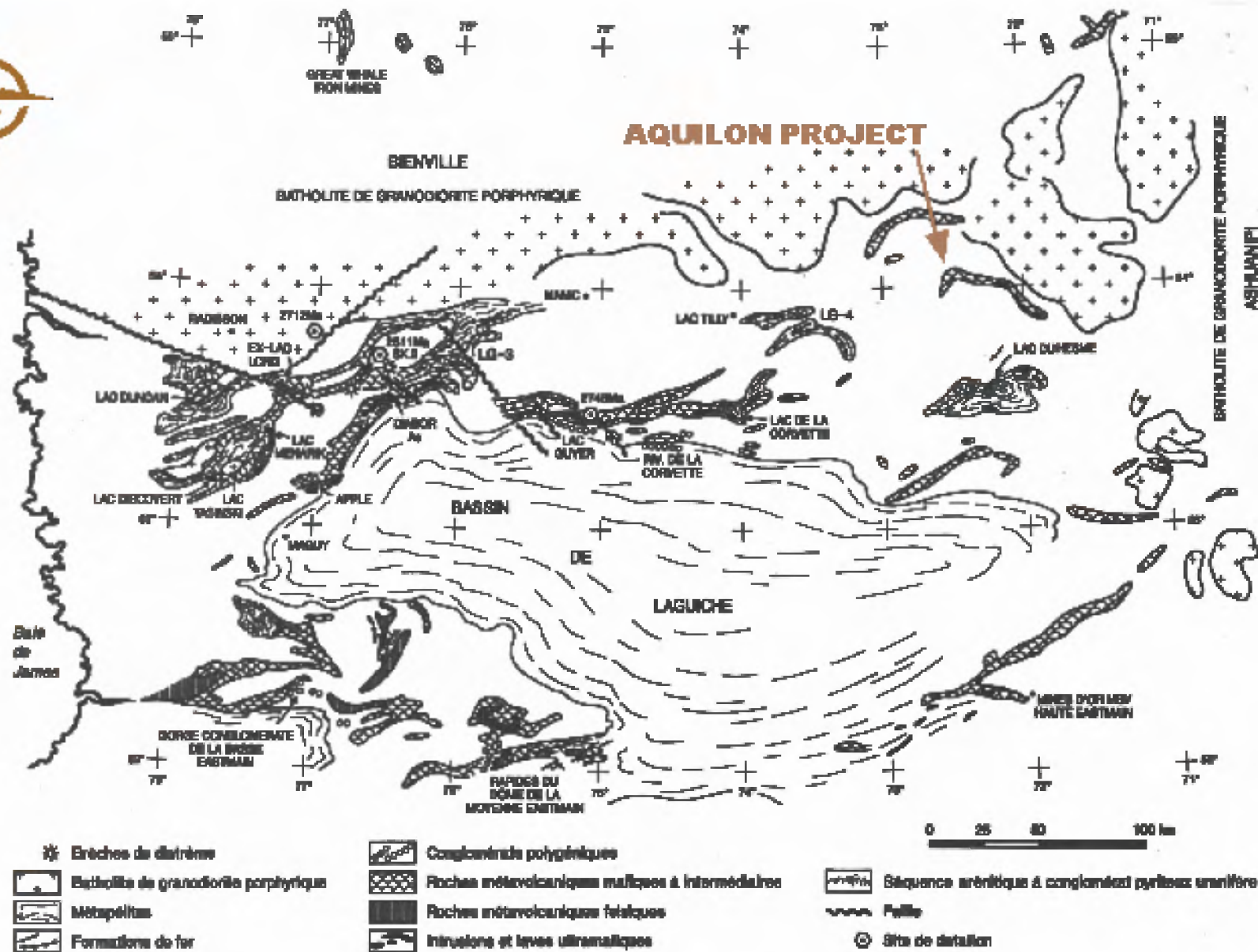
T: AQUILON PROJECT

REGIONAL GEOLOGICAL MAP
 (Source: Carte géologique du Québec; DY 2002-08)

FAIT / MADE : **C. DEROSIER** DATE: **NOV 2004**

APPRO. : ÉCHELLE / SCALE : **1:50,000**

CONTR. : **2004-201** SUBD. :



Source: MRNQ; Chartrand & Gauthier, 1995; PRO-95-06

CLIENT :	GOLDEN TAG RESOURCES LIMITED.	FAIT / MADE :	C. DEROSIER	DATE:	NOVEMBER 2004
PROJET / PROJECT :	AQUILON PROJECT	APPRO. :		ÉCHELLE / SCALE :	As shown
	MAP SHOWING THE REPARTITION OF SEDIMENTARY AND VOLCANIC ROCKS IN THE LA GRANDE RIVIERE BASIN	CONTR. :	2004-201	SUBD. :	
					FIG. No: 5

SIMPLIFIED STRATIGRAPHIC SECTION OF LITHOSTRATIGRAPHIC UNITS OF LA GRANDE RIVIÈRE BASIN

LA GRANDE RIVIÈRE AREA

MIDDLE EASTMAIN AREA

AQUILON AREA

QUATERNARY

Fluvial and marine deposits, fluvio-glacial deposits, sand, gravel, boulders, clay, peat-bog.

PROTEROZOIC

2000 Ma

Diabase-gabbro dykes
Pegmatitic dykes and masses

Diabase-gabbro dykes
Pegmatitic dykes and masses

Diabase-gabbro dykes
Pegmatitic dykes and masses

2125 Ma

Sakami Formation:
sandstones, conglomerate, arkose,
mudstone and silstone

2150 Ma

2175 Ma

OPINACA BASIN
Auclair Formation

—UNCONFORMITY—

ACHEAN

2700 Ma

Granite-Granodiorite, syn to post-tectonic
Tonalite syn to post-tectonic
Ultramafic to mafic intrusions

Granite-Granodiorite, syn to post-tectonic
Tonalite syn to post-tectonic
Ultramafic to mafic intrusions

Quartz-diorite-granodiorite with minor quantities of
diorite and granite syn to post-tectonic.
Migmatite: migmatized sedimentary rocks.

— Rossignol-Laguiche Group

— CLARCK-ANACONDA FORMATION

— AQUILON-LAFORGE FORMATION

2725 Ma

Lithic wacke (biotite paragneiss)
Arkose, arkosic wacke
Felsic volcanics
Polymictitic conglomerate
Iron Formation

Meta sediments
Synvolcanic intrusives

Iron Formation with layers of metavolcanic and
metasedimentary rocks.
Metasedimentary rocks with minor layers of
basalts and amphibolites.
Rhyolitic tuffs interbedded with mafic lavas and
metasediments.

2750 Ma

— EASTMAIN GROUP

Meta sediments
Synvolcanic intrusives
Anatacau-Pivert Formation
Volcanosedimentary layers (Sediments, Rhyolites-dacites,
rhyodacites, basalts.

Intermediary Lavas: andésites, dacites
interlayered with minor basaltic lavas and
metasediments.

2775 Ma

—UNCONFORMITY—

Apple Formation

— Natel Formation

Argillites, rhyolites, tuffs, amphibolitized basalts, komatiitic
andesite

Ultramafic rocks: pyroxenite, peridotites,
serpentinites and their metamorphic equivalents.
Amphibolites and coarse grained gabbroic parts
of mafic lava flows.

2800 Ma

—UNCONFORMITY—

Gneissic tonalite (basement)

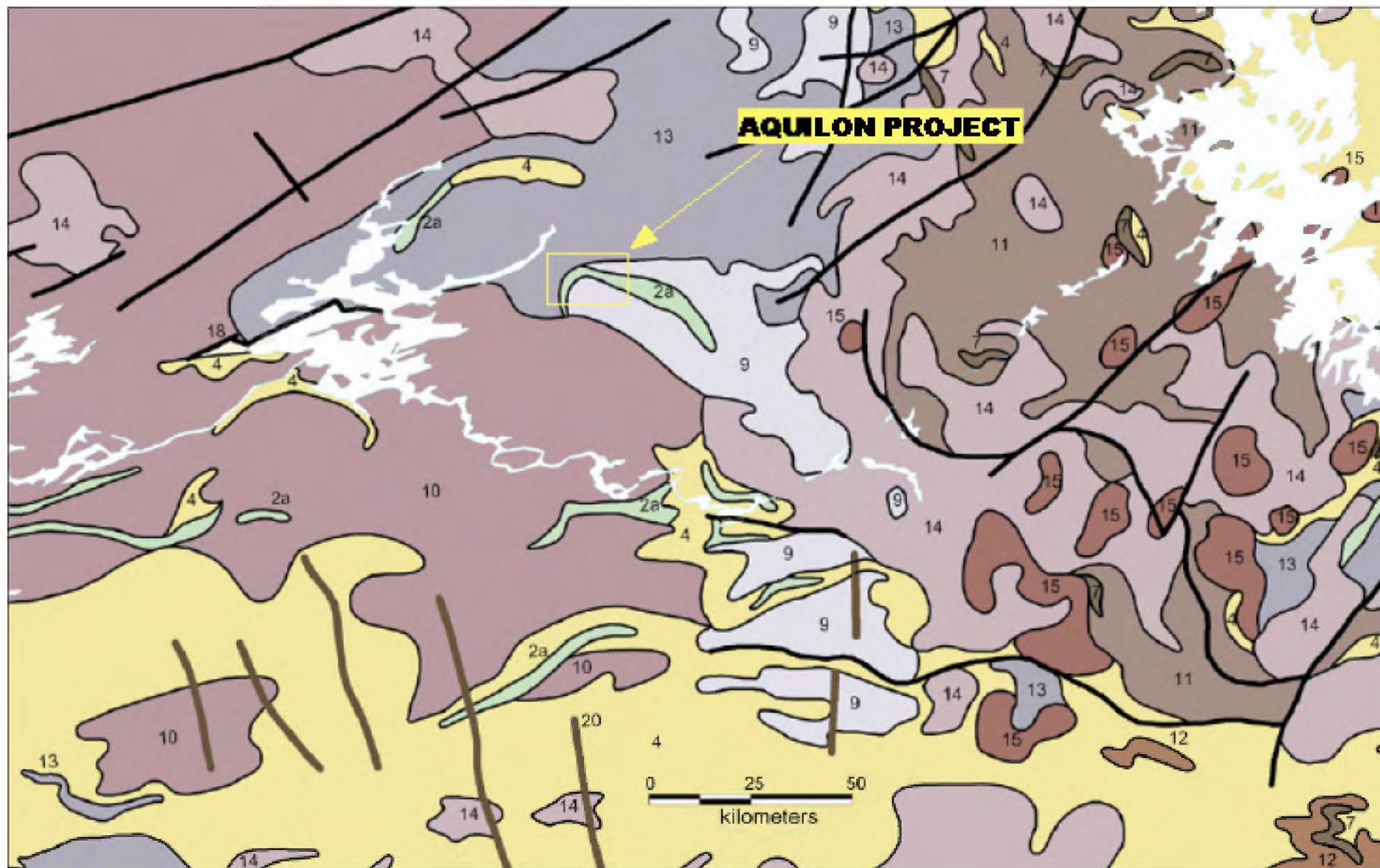
Undifferentiated gneiss , Tonalitic basement.

Mafic lavas: basalts, interbedded with
metasedimentary rocks, tuffs and lavas.

Undifferentiated gneiss , Tonalitic basement.

2825 Ma

CLIENT : GOLDEN TAG RESOURCES LIMITED.	FAIT / MADE : C. DEROSIER	DATE: OCTOBRE 2004
PROJET / PROJECT: PROJET DIANGOUNTÉ-AFRICAN BUSINESS	APPRO. :	ÉCHELLE / SCALE : NO SCALE
 STRATIGRAPHIC COLUMNS OF LA GRANDE RIVIÈRE BASIN (MB 97-30, ET 2002-06 & MB 97-05, QDNR))	CONTR. : 2004-201	TABLE. No: 1
	SUBD.:	



CLIENT : **GOLDEN TAG RESOURCES LIMITED.**

FAIT / MADE : **C. DEROSIER**

DATE : **NOVEMBER 2004**

PROJET / PROJECT : **AQUILON PROJECT**

APPRO. :

ÉCHELLE / SCALE : **As shown**



REGIONAL GEOLOGICAL MAP
(Source: Carte géologique du Québec; DV 2002-08)

CONTR. : **2004-201**

SUBD. :

FIG. No: **6**

5.0 GEOLOGY OF THE PROPERTY

The property is centered on a folded felsic and mafic volcanic complex (10km x 1-2km) that hosts auriferous deformation corridors (Desbiens, 2003). Its northern limb is characterized by a ESE to E-W orientation with a 20-70° dip to the North and its southern limb shows a N-S orientation with a 40-60° dip to the East. The felsic rocks are composed of dacites, rhyodacites, tuffs and synvolcanic tonalites (Lingo and d'Aiguillon). The felsic complex is cut by numerous mafic dikes that are co-magmatic with the tholeiitic basalts. Farther to the East, the felsic volcanics seem to pinch themselves to a 100 metres thick sequence at the southern limit of the greenstones. The volcanic felsic complex has anomalous background gold concentrations and is the host of high grade gold mineralizations. Some sub-economic values of Copper and Zinc have been obtained as well in conductive zones.

5.1 Lithologies (Table no 1)

Geological map of the Aquilon property clearly shows that felsic rocks dominate the outcropping areas. They are essentially made of SiO₂, plagioclase, potassic feldspar, biotite, muscovite, epidote, chlorite, carbonates and pyrite. These minerals are found in both metamorphic facies as greenstones facies and amphibolite facies. The accessory minerals include titanite, apatite and rare rutile and tourmaline. These felsic rocks are generally fine grained, porphyroblastic (Qtz, Feldspars) and completely recrystallized due to the different phases of metamorphism and deformation. Some of them are somewhat coarser grained (average 1.0 mm). Most of the time, felsic rocks have a granoblastic texture masking the deformation history. However, the foliation is sometimes relatively well defined by the preferential orientation of micas (biotite and muscovite) In extreme cases, quartz and feldspar crystals are so deformed that they are well elongated and show undulating extinction.

The second lithology in importance found within the grid limits are meta-basalts (amphibolites). They are characterized by a blue-green color (actinolite) and a good foliation shown by the alignment of amphiboles and biotites. This rock type is also more magnetic. The grain size is usually fine to medium. They are mainly made-up of hornblende, and/or actinolite, plagioclase, chlorite, quartz, epidote, biotite, carbonates, sericite and Fe-oxides. Aggregates of amphibole±epidote±biotite commonly form large porphyroblasts. Metamorphic hornblende often shows a poikiloblastic texture. Some outcrops showed amphibolites composed of hornblende-biotite, Iron oxides and minor talc, giving a mineralogical composition close to the ultramafic rocks. However, they do not seem to contain olivine and serpentinite remnants.

Diorites form another important family of rocks. They have a medium grain-size and are made-up of hornblende, plagioclase, chlorite, quartz, epidote, biotite, carbonates, minor sulfides and iron oxides. They have lower proportions of amphibole compared to the amphibolites and are richer in quartz and biotite. Their grain-size varies from fine to medium and they contain porphyroblasts of biotite and amphibole. Diorites are generally poorly foliated, but the deformation event is still expressed by the undulating extinction of quartz and plagioclase.

Other rocks encountered on the property are:

- Intermediate volcanic rocks (tholeiitic andesites) are particularly rich in Fe and TiO₂;
- Intermediary tuffs: with a calco-alkaline affinity to transitional. Lithogeochemical

5.0 GEOLOGY OF THE PROPERTY (cont.)

- study gives an andesitic composition.;
- Garnet-Hornblende-plagioclase gneiss;- Pelitic rocks are less common.
- Lamprophyre-biotite intrusions: were found after the lithochemical studies as intermediary intrusives (between tonalites and gabbros. Their degree of alteration is highly variable. Some plagioclases may be altered in sericite and the following alteration minerals are observed: epidote, hornblende, chlorite, K-feldspar, carbonate and quartz.
- Ribbon-type rocks described as tuffs have a TiO₂ background relatively high and gives a dacitic composition. The most probable hypothesis is that this marker horizon corresponds to a reshaped tuff with some sedimentary inputs.

5.2 Alterations

On the Aquilon property, a potassic alteration characterizes the gold bearing qtz veins. Sericite, biotite and muscovite systematically go with gold in the quartz veins and veinlets. An increase in the muscovite content is observed toward the main quartz vein. However, the hydrothermal nature of this mineral is not unequivocal. It is more probable that the large broken-up muscovite flakes were formed during prograde metamorphism, while the smallest grains (sericite) would be secondary in origin and caused by the percolation of fluids in the host rock.

Presence of calcite is more significant closer to the mineralized zone.

Alteration around Lingo-3: Alteration around rich free gold mineralization. Alteration is represented by the sericitization of plagioclase and the chloritization of biotite. Some quartz veinlets around the main veins and within the host rocks are crosscut by microfractures filled by epidote. Small opaque phases, probably pyrite and sphalerite are associated with both type of veinlets. These sulfides are found as dissemination in the host rock. In diorite, chlorite partially replaces biotite and hornblende. Its presence is not widely widespread. Brown to greenish-brown biotite seems to be formed by hydrothermal alteration. It is found in aggregates partially replacing amphibole. Presence of Fe+Ti oxides in these aggregates is another good indication of secondary nature of biotite. Normally, secondary biotite is characterized by higher Mg/(Fe+Mg) ratios and lower Ti concentrations.

Alteration in the environment of "Slow Dance": The mineralization at Slow Dance is of type semi-massive to disseminated sulfides in felsic meta-volcanics, giving a conductive zone. Alteration increases toward the mineralization. Principal alteration minerals are : disseminated muscovite and sericite, chlorite and epidote. Porosity in the host rock allows a better diffusion of hydrothermal fluids and the development of the alteration minerals. Microscope observations have shown that there is more than one generation of veinlets. The pseudo-epidote is found inside veinlets but also found inter-fingering with muscovite.

Alteration of intermediary to mafic rocks

Meta-andesites: Plagioclase is moderately sericitized and biotite which is not very abundant, seems to penetrate into the foliation . Small quartz veinlets and stringers are present. Epidote can reach 15% in volume, chlorite (5%) partially replace hornblende and biotite. Secondary epidote is relatively abundant (10%) and is present in small alteration veinlets as flaky crystals

5.0 GEOLOGY OF THE PROPERTY (cont.)

or fibrous aggregates replacing biotite. Two generations of amphiboles may be present in the volcanic rocks. The first one would be represented by highly altered hornblendes, replaced by biotite and chlorite and the second probably younger and represented by blue-green actinolite characterized by a less pronounced pleochroism.

The amphibolites are all altered and present the same alteration for hornblende. Some crystals are totally destroyed into empty spaces surrounded by hornblende relics. The voids are in fact very fine chlorite with a very low birefringence. Some other grains are totally fresh. In most amphibolite, amphibole crystals give the impression of being stable. The first mineral to be altered is the plagioclase which may be extremely sericitized. Biotite is replaced by chlorite. Biotite in amphibolites is most probably of prograde metamorphic origin rather than from hydrothermal action. Most of the time, core of mafic lava flows are well preserved and amphiboles do not show a preferential direction.

5.3 Metallic minerals in quartz veins

Three different Cu-sulfides have been identified in the quartz veins (I. Lapointe, 2002). They are: bornite, chalcocite and chalcopyrite. The two first copper sulfides do not represent a primary phase. They are mostly the result of metamorphism and alteration. They form small aggregates. Chalcopyrite may also be the result of an alteration involving a retrometamorphism. Traces of sphalerite have been observed and pyrite is present with up to 20%. A granular, lead gray mineral, which is soft, is found surrounding a pyrite grain. It is possible that this mineral represents a telluride mineral. It may also be a native silver concentration.

Native gold is very frequent, in association with pyrrhotite and an other possible telluride (dark grey, very soft). Gold is mainly concentrated at the interface between the vein and the host-rock, but can be found disseminated in the vein as well. Pyrrhotite is relatively abundant in the vein. In another sample, pyrite is present in association with magnetite. It seems like if the magnetite was replacing the pyrite., since inclusions of the latter is found in many magnetite grains. It is our opinion, that magnetite and pyrite come from the alteration of pyrrhotite instead, at lower temperature.

Schematic geology of the main grid is shown in Figure no 7. The main foliation is oriented E-W to NE-SW and weakly dip to the northwest. A strong stretching lineation oriented NNE with a low-dip (0-20°) is the most common and constant structural element of the main grid.

Based on Aquilon complex deformation style and its characteristic low-dips, it was proposed that the whole belt had been unroot from the basement by wrench faulting (Daigneault, personal communication, 2002). Two (2) main deformation zones have been observed: 1-The NE-SW Wolf Fault and 2- the N-S Mullion Fault. This change in the orientation of the foliation may correspond to the hinge of a major fold that have a plunge that is coaxial with the stretching lineament (NNE orientation with a weak dip) and may have been faulted within the hinge. The Mullion Fault is characterized by a very strongly stretching lineament: L-tectonites (Quirion, 2000).

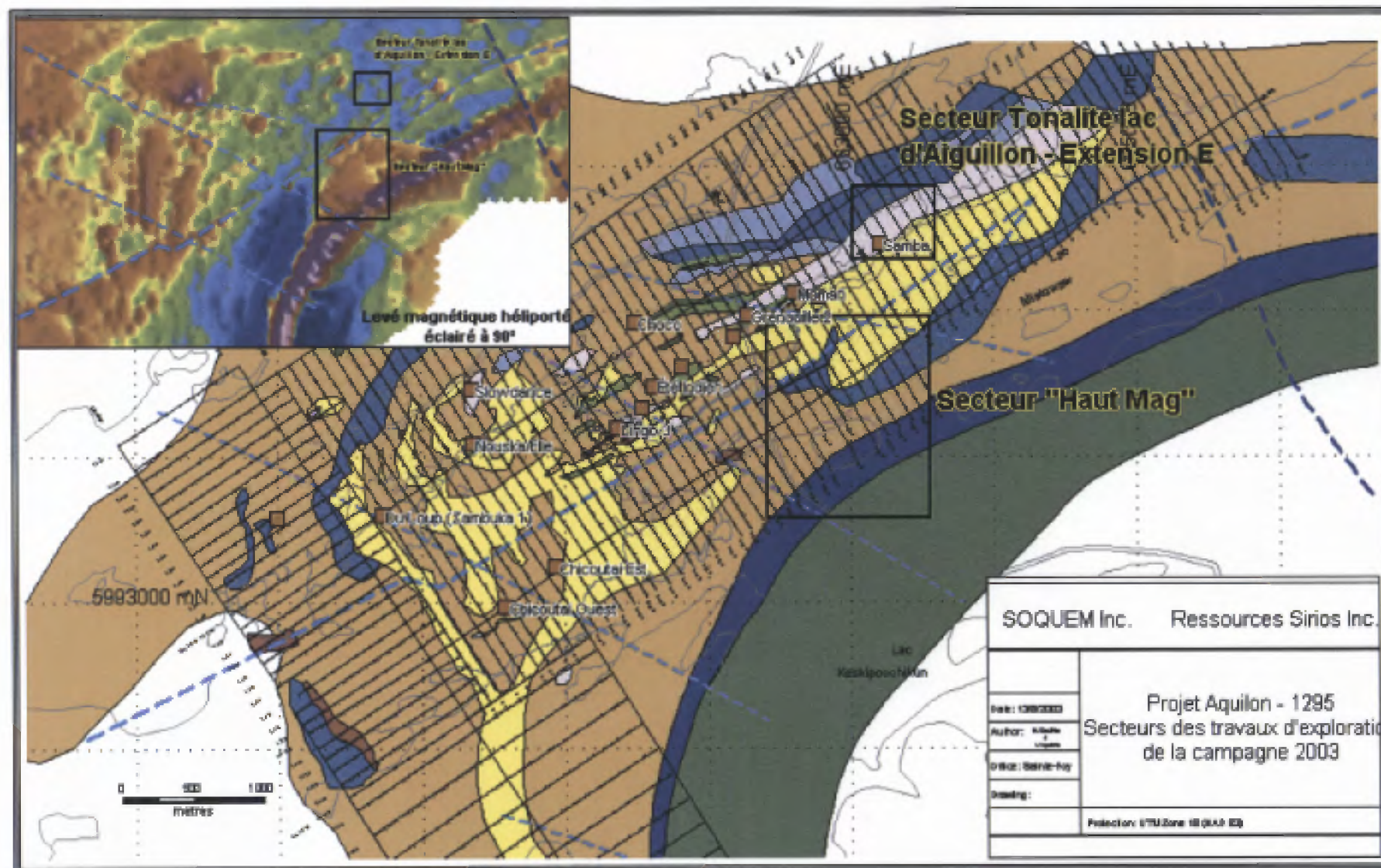



Figure 1. Localisation des secteurs explorés par décapage mécanique lors des travaux de la campagne 2003

CLIENT :	GOLDEN TAG RESOURCES LIMITED.	FAIT / MADE :	C. DEROSIER	DATE:	NOVEMBER 2004
PROJET / PROJECT :	AQUILON PROJECT	APPRO. :		ÉCHELLE / SCALE :	1: 40 000
 LAST GEOLOGICAL MAP PREPARED BY SOQUEM (2003)		CONTR. :	2004-201	SUBD. :	
					FIG. No: 7

6.0 PREVIOUS WORK

6.1 Prior to 2004

Few exploration programs have been carried on the northeastern portion of the La Grande basin. The first reconnaissance geological mapping (1:1 000 000 scale) was completed by the Geological Survey of Canada (Eade, 1965). In 1979, the Quebec Department of Natural Resource mapped (1: 125 000 scale) the area Vincelotte- La Forge area, uncovering two new greenstone belts: La Forge and Aquilon (Sharma, 1979). In the James bay Territory, the 70' s were the object of intensive prospecting for uranium. During this period, the S.D.B.J. (Société de Développement de la Baie James) and its partners (Seru Nucléaire Ltd, Eldorado Nucléaire and Groupe minier SES) have the mining monopoly over all the Quebec James Bay. All the Proterozoic structures and basins (specially the Sakami Formation) were targeted by the S.D.B.J. and the Groupe Minier SES, which completed geophysical, geological, lake sediment geochemical and drilling programs in the 33I and 33H N.T.S. sheets. No mining exploration work was executed on the present claim blocks.

In 1997, during reconnaissance works on both greenstone belts, Sirios uncovered gold mineralization (100 to 2 000 ppb Au) in the NE segment of the Aquilon belt. The auriferous mineralization is associated with disseminated pyrite along an extensive (200m) wide x 2 km long NE-SW lineament (Wolf Fault) within felsic volcanics (H. Desbiens, 1998).

In September 1997, a first PEM (“Mining Exploration Permit”) (#1293) is map-staked by Sirios. Following a second prospecting campaign that yields several assays in the 1 to 23 g/t Au range, a second PEM (#1313) was registered on behalf of Sirios to cover the formational sulfides and felsic volcanics observed in the NW (folded) area of the Aquilon greenstone belt.

During the 1997-98 winter, Sirios carried out a magnetic-electromagnetic helicopter-borne survey totaling 492 km that uncovered several EM- conductors within the Aquilon property (High Sense Geophysics, 1998). Line-cutting (80 km, 200 m spaced), magnetic and Max Min II-EM (carried out by G. Lamothe) followed and were also completed over the auriferous structure and the new conductors (G. Lambert, 1998).

A summer program specially targeting the EM anomalies was executed with Beep-Mat prospecting, mechanical stripping (8), till sampling, geological mapping and sampling. However, the main northern EM-conductor located under an esker was not fully tested. Its footwall was locally stripped and the Small Moose, Blueberry Wolf and Choco showings yield sub-economical results (up to 0.7 g/t Au; 11 g/t Ag; 0.1 % Cu; 0.12 %Zn). Stripping of the main western EM-conductor (Sortilèges Dorés) returned assays up to 2.6 g/t Au; 3,8 g/t Ag; 0.23 % Zn; 0.22 % Cu. Conventional prospecting along the NE Wolf Fault, uncovered high-grade quartz-pyrite (sphalerite) veins that assayed up to 39.7 g/t Au.

During the 1998-99 winter, Sirios completed a ten (10) holes diamond-drilling (BQ) campaign totalling 1 515 meters on the Wolf Fault. Drilling intersected auriferous quartz-carbonate-pyrite (-gold-tellurides) veins/veinlets injected in silicified, sericitized and foliated felsic rocks in the vicinities of Lingo Lake. Hole 99-02 cuts 4.4 g/t Au/ 4.5 m including 12.3 g/t Au/ 0.75m and hole 99-04 (300m W of 99-02) intersected 1.9 g/t Au/ 9.0 m including 10.0 g/t Au/

6.0 PREVIOUS WORK (cont.)

1.5m.

During the summer, a joint ventureship between Sirios and SOQUEM was established, SOQUEM being the operator. A fall campaign (also including regional reconnaissance (mapping and till sampling) focused on the main grid and specially on the Wolf Fault (5 stripings). High-grade gold mineralizations were confirmed at the Lingo, Muscovite, Grenouille-2, Fleur de Lys and Z-1 showings. A rock lithogeochemical program (358 samples) was carried out to characterize alterations associated with the metallic mineralizations.

During the 1999-2000 winter, SOQUEM dug 21 trenches. A second program was undertaken during the summer, including detailed geological mapping of the high-grade gold mineralization, line-cutting (27km), and lithogeochemistry (40 samples). Channel sampling on the Fleur de Lys showing returned high grade gold values. Three new very high grade gold showings were uncovered: Moman, Nouska and Lingo-South. Most of the mineralization consists of strongly folded quartz vein stretched in a low-dipping cylinder geometry (D. Quirion, 2000).

These works were shortly followed by a thirteen (13) hole drilling campaign totaling 1,486 meters along the Wolf Fault (specially targeting the Lingo area). Three of these holes were also drilled on the northern formational EM-conductor (L26-28E). The complex geometry of the veins and the coarse nature of the gold (nugget effect) make difficult the evaluation of the showings by drilling. However, hole 1295-00-05 cuts 1.0 g/t Au / 3.3 m including 8.6 g/t Au / 0.3m on the Muscovite showing and hole 1295-00-12 yielded 4.3 g/t Au / 3.7m incl. 14.6 g/t Au / 1.0m on the Fleur de Lys showing.

During the 2001 summer, a two-months program including line-cutting (129km, 200m-spacing on 2 new grids), 21 new trenches were excavated while 12 old trenches were filled-in, geological mapping, till sampling (45 samples on the eastern reconnaissance and 47 samples on the south grid) was completed. Detailed structural analysis on the main grid showed that the felsic volcanic domain is strongly deformed and a low-dipping NNE stretching lineament controls the other linear elements as well as create parallelism with the fold axis. The auriferous veins were found to be deformed by folding (P1 and P2), however they seem better preserved in the P1 hinge-folds.

Reconnaissance till sampling was conducted over the southern (500m x 200m grid; PEM 1553) and the eastern (500m x 2000 m mesh; PEM 1554) portions of the Aquilon property. No gold anomaly was outlined in poorly outcropped areas. Reconnaissance mapping in the Des Meuniers lake area (PEM 1554) has shown the presence of an important sequence of mafic-ultramafic volcanics flows with potential nickel Kambalda-type mineralization.

In June 2001, a radiometric test was realized by SOQUEM in order to verify the efficiency of this method to detect potassium altered mineralized zones on the property. Results demonstrated the difficulty to delineate the different units.

In 2002, work carried out comprised mainly a 40 km ground geophysical induced-polarization ("I.P.") survey over part of the main area of interest and a 835 meter diamond drilling

TABLE 2
1999 DRILLING CAMPAIGN RESULTS

HOLE	LOCATION (main grid)		(DEPTH metres		WIDTH metres	GOLD GRADE g/t
			From	To		
A99-01	26+50E	1+50S	43.0	46.0	3.0	0.3
			52.5	55.5	3.0	0.3
A99-02	23+00E	0+60S including	117.0	124.5	7.5	2.0
			151.5	156.0	4.5	4.4
			151.5	152.25	0.75	12.3
			166.5	168.0	1.5	1.3
A99-03	22+00E	3+50S	42.0	43.5	1.5	0.5
A99-04	19+90E	2+10S including	28.0	32.5	4.5	0.6
			39.5	41.0	1.5	0.8
			74.0	83.0	9.0	1.9
			74.0	75.5	1.5	10.0
			81.5	83.3	1.5	1.2
A99-05	12+00E	2+00S	117.0	121.5	4.5	0.1
A99-06	32+00E	2+00S	60.5	71.0	9.5	0.2
			90.5	96.5	6.0	0.4
A99-07	21+30E	14+85S	108.6	110.0	1.4	0.01
A99-08	40+75E	7+00S	18.2	19.7	1.5	1.4
A99-09	36+00E	2+60S	39.0	40.5	1.5	0.6
			78.7	79.7	1.5	0.5
A99-10	24+00E	2+60S	33.5	42.5	9.0	0.2
00-01	26+00E	3+45N	78.0	79.0	1.0	0.01
00-02	27+00E	5+15N	70.95	71.45	0.5	0.01
00-03	28+00E	4+25N	106.1	108.4	2.3	0.02
00-04	20+40E	3+00S	6.7	7.5	0.8	0.4
			52.6	53.25	0.65	0.55
			116.5	117.9	1.4	0.56

TABLE 2a
2000 DRILLING CAMPAIGN RESULTS (cont.)

HOLE	LOCATION (main grid)		(DEPTH metres		WIDTH metres	GOLD GRADE g/t	
			From	To			
00-05	21+42E	3+25S including	20.0	23.3	13.3	1.0	
			22.2	22.5	0.3	8.6	
			43.8	44.4	0.6	0.5	
			57.0	58.0	1.0	0.6	
			63.0	64.15	1.15	0.5	
			66.4	67.0	0.6	1.6	
			72.3	73.0	0.7	0.9	
			78.0	80.0	2.0	1.8	
			including	79.65	80.0	0.35	6.1
			00-06	21+23E	1+62S	88.0	89.4
00-07	19+30E	2+40S	13.6	14.9	1.3	0.8	
			70.0	70.33	0.33	0.3	
			112.8	113.2	0.4	0.9	
00-08	18+80E	1+87S	29.0	29.5	0.5	3.9	
			110.0	112.0	2.0	1.6	
00-09	22+41E	2+56S including	81.85	86.0	4.15	0.8	
			81.85	82.3	0.45	2.4	
00-10	25+00E	2+50S	8.05	13.35	6.3	0.4	
			70.35	71.25	0.9	0.4	
00-11	32+75E	2+70S including	7.00	14.76	7.76	0.9	
			9.5	9.9	0.4	10.4	
			20.0	23.2	3.2	1.5	
00-12	32+76E	2+70S including	21.9	26.0	4.1	0.6	
			328.75	29.6	0.85	9.3	
			35.8	39.5	3.7	4.3	
			including		1.0	14.6	
00-13	32+81E	2+72S	29.3	30.1	0.3	2.5	

6.0 PREVIOUS WORK (cont.)

campaign. Four drill holes (# 16 to 19) totalling 609 meters were completed over I.P. anomalies in addition to fifteen very short vertical holes (# 1 to 15) totalling 226 meters and including thirteen holes over a small part (30 x 60 m) of the **Lingo-West** vein. Ten of these thirteen drill holes returned significant results. These shallow drill holes, with depths ranging from 6 to 30 metres, were undertaken to test gold grade variations for a typical lode type ore shoot. Ten of these thirteen drill holes totalling 213 meters returned the following results : **35.99 g/t Au /2.0 m; 77.81 g/t Au /1.0 m; 13.15 g/t Au /2.0 m; 3.85 g/t Au /4.6 m; 6.89 g/t Au /1.5 m; 4.23 g/t Au /1.5 m; 3.5 g/t Au /1.0 m; 3.9 g/t Au /0.75 m; 2.36 g/t Au /3.25 m and 1.54 g/t Au /1 m.**

The I.P. survey outlined numerous anomalies in association with disseminated sulfides. Two drill holes tested two of these anomalies in the vicinity of the **Sortilèges Dorés** showing. Two other I.P. anomalies were checked by drilling in the vicinities of the **Nouska** and **Chicoutai** showings and the first one returned up to 1.54 g/t Au /2.0 m and 1.2 g/t Au /1.6 m while there was no significant result obtained from the second drill hole.

Mechanical stripping, mapping and rock sampling were carried out in two specific areas (“Tonalite” and “High Mag” areas) located outside the main gold bearing corridor (“Wolf Fault” – “Sortilèges Dorés – Lingo – Moman” Axis) in order to locate additional new showings. Thirteen new trenches were dug on these two locations while twenty-four old (2001) stripping areas were replenished elsewhere on the property. Anomalous gold content ranging from 400 ppb up to 4 g/t Au over width of 0.5 m to 3 m were obtained mainly in the “Tonalite” area.

6.2 Work executed in 2004

In fall 2004, Golden Tag conducted a first phase exploration program on the Aquilon project in response to initial positive results obtained during a summer field examination where grab samples returned assays of up to 1 691 g/t Au and 153 g/t Au on the Red Toad Showing approximately 500 metres east of historical work conducted on the property. Exploration work comprised a mechanized stripping, geological mapping, and 11 diamond drill holes totalling 956 m, mostly drilled on the recently discovered Red Toad showing (Figure no 15).

A) Mechanized stripping programme

The mechanized stripping programme included 8 trenches (Table 3 on following page) covering approximately 925 m² over which five trenches were completed to trace the mineralization of the Red Toad showing over a 250 metre strike length.

A total of 34 channel samples, grab samples and chip samples were collected. Surface stripping resulted in the discovery of additional visible gold mineralization located immediately to the west and northeast of the original Red Toad discovery vein. A grab sample collected to the west returned **838 g/t Au**. Systematic channel sampling along the Red Toad discovery vein returned values ranging from **1.19 to 10.45 g/t Au over lengths varying from 0.77 to 1.11 metres** with the most notable being **10.45 g/t Au over 1.11 metres and 9.11 g/t Au over 1.37 metres.**

6.0 PREVIOUS WORK (cont.)

TABLE NO 3 LIST OF TRENCHES EXCAVATED IN 2004

TRENCHES	LOCATION	GEOLOGICAL MAPPING	AREA (m ²)
TR-04-01	Red Toad	1:100	270
TR-04-02	Red Toad	1:100	105
TR-04-03	Red Toad	1:100	140
TR-04-04	Red Toad	1:100	72
TR-04-05	Red Toad	1:100	56
TR-04-06	Grenouille 1 et Grenouille 2	1:100	115
TR-04-07	Grenouille 1 et Grenouille 2	1:100	100
TR-04-08	Grenouille 1 et Grenouille 2	1:100	60
TOTAL			925 m²

Visible gold is contained in quartz-sericite veins located on the contact of a mafic intrusive crosscutting the Aiguillon tonalite. Sketches showing the mapping and sampling of stripings-trenches are provided in Appendix no 1.

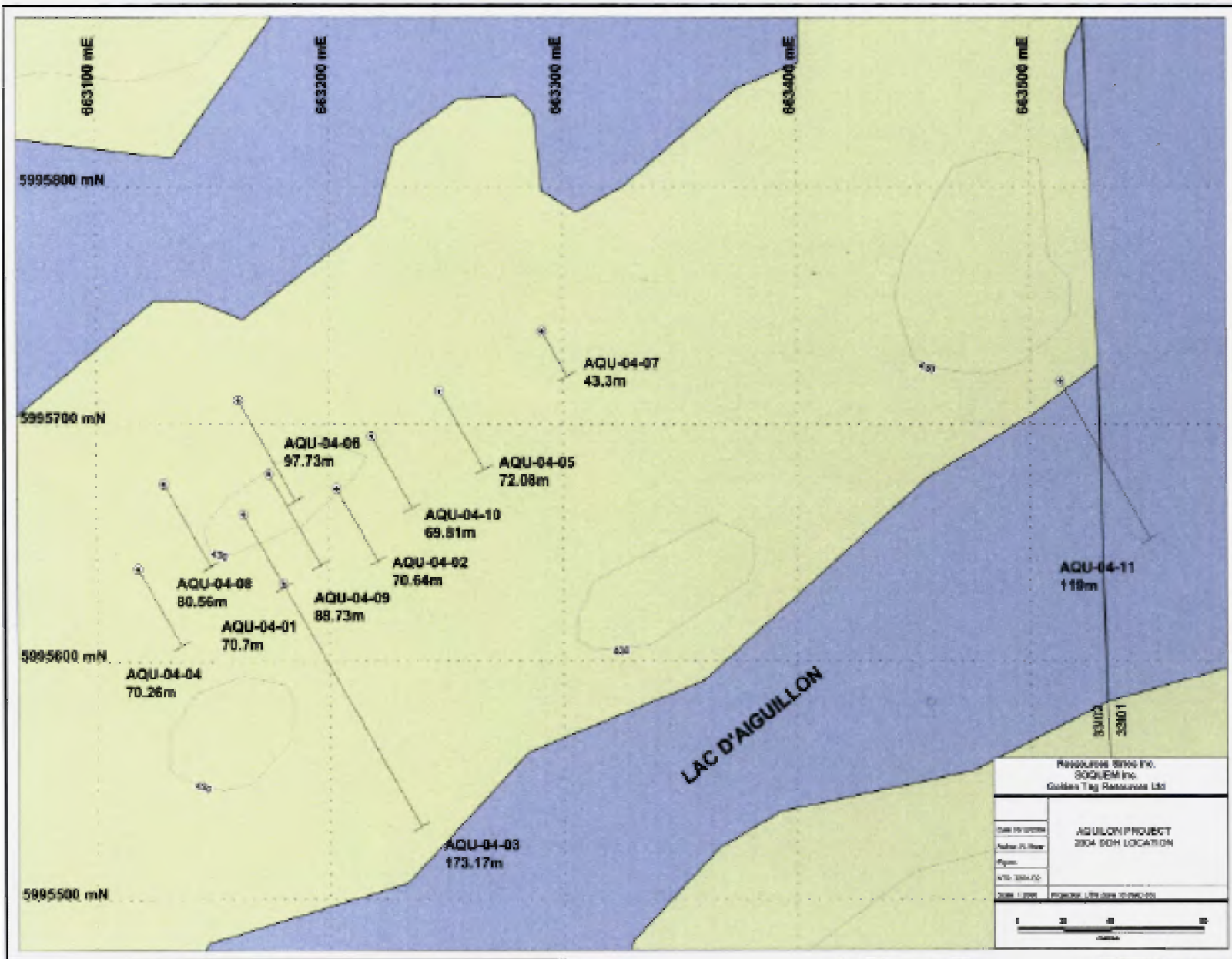
B) Diamond drilling program (Figure no 8)

Diamond drilling consisted of eleven BTW core holes totalling 956 metres (Table no 4). Nine of the holes focused on testing the Red Toad Zone at relatively shallow depths, with the remaining two holes testing structures along the Southern Contact Target of the Aiguillon Tonalite, the host of the Red Toad mineralization.

TABLE NO 4 SUMMARY OF 2004 DIAMOND DRILL HOLES

DDH NO	TARGET	LOCATION		DIP	AZIMUTH	TOTAL LENGTH (m)
		EASTING	NORTHING			
AQU-04-01	Red Toad	663 163	5 995 662	-60°	N150°	70.79
AQU-04-02	Red Toad	663 203	5 995 673	-60°	N150°	70.64
AQU-04-03	Red Toad and Southern Contact	663 180	5 995 633	-47°	N150°	173.17
AQU-04-04	Red Toad	663 118	5 995 639	-60°	N150°	70.26
AQU-04-05	Red Toad	663 247	5 995 714	-58°	N150°	72.08
AQU-04-06	Red Toad	663 161	5 995 710	-60°	N150°	97.73
AQU-04-07	Red Toad	663 291	5 995 739	-60°	N150°	43.30
AQU-04-08	Red Toad	663 129	5 995 675	-60°	N150°	80.56
AQU-04-09	Red Toad	663 174	5 995 679	-60°	N150°	88.73
AQU-04-10	Red Toad	663 218	5 995 695	-60°	N150°	69.81
AQU-04-11	S. Contact	663 513	5 995 718	-58°	N150°	119.00
TOTAL						956.07

Diamond drill logs with assay results are provided in Appendix no 2. Cross-sections of the drill holes are added as Appendix no 3.



CLIENT : **GOLDEN TAG RESOURCES LIMITED.**

FAIT / MADE : **C. DEROSIER**

DATE: **DECEMBER 2004**

PROJET / PROJECT : **AQUILON PROJECT**

APPRO. :

ÉCHELLE / SCALE : **As shown**



**2004 DIAMOND DRILLING PROGRAM
HOLE LOCATIONS**

CONTR. : **2004-201**

SUBD. :

FIG. No: **8**

6.0 PREVIOUS WORK (cont.)

A total of 385 half drill core samples were sent for analysis at ALS-Chemex. Quartz veins and mineralization were assayed by fire assay with atomic absorption spectrometry finish on a 50 gram nominal sample weight. Intersections showing visible gold were analyzed with metallic screen assays. Hole AQU-04-03 intercepted 4.33 metres of mineralization at an average gold grade of 10.03 g/t Au. This intersection contains multiple occurrences of visible gold in tonalite hosted quartz-sericite veins. The significant results of the drill program are summarized in the following table.

TABLE no 5
SIGNIFICANT RESULTS OF THE DIAMOND DRILLING PROGRAM

Hole No.	From (metres)	To (metres)	Length (metres)	Grade (g/t Au)
AQU-04-02	23.80	24.93	1.13	20.99
Including	23.80	24.30	0.50	1.18
Including	24.30	24.60	0.30	2.67
Including	24.73	24.93	0.20	111.50
AQU-04-03	18.82	23.15	4.33	10.03
Including	18.82	19.17	0.35	53.70
Including	19.17	19.67	0.50	2.20
Including	22.11	22.32	0.21	108.00
Including	22.96	23.15	0.19	2.70
AQU-04-03	160.88	161.38	0.50	2.02
AQU-04-05	41.41	41.91	0.50	1.16
AQU-04-06	27.86	28.73	0.87	1.19
AQU-04-08	56.90	57.13	0.23	1.32
AQU-04-09	52.19	52.46	0.27	51.50
AQU-04-10	33.83	34.00	0.17	2.10
AQU-04-11	81.90	82.80	0.90	0.52

Drill results to date indicate the Red Toad Zone is continuous over a minimum strike length of approximately 100 metres and has been confirmed from the surface to a depth of 36 metres. The Zone remains open to depth and along strike.

7.0 REVIEW OF PREVIOUS WORK AND DISCUSSION

We have first studied all the available information provided by Golden Tag and Sirios, then all the data from the Q.D.N.R.F.P. From these documents, we started to study the regional geology in order to well understand the geological context which normally leads to the metallogenical context. In order to discover economical metal deposits, we must identify all the favourable contexts using known metallogenical models. However, each mineral deposit being itself unequalled, models are only examples or guides. Exact replica of a model is almost impossible.

First of all, we can ensure to the Golden Tag's board of direction that all the work and studies executed on the Aquilon project have been directed by very competent and qualified persons and that the work executed is highly professional and impressive. Sirios and SOQUEM have not hesitated to ask the best expert in the mining industry and the universities to study the Aquilon project and make recommendations. The report from SOQUEM dated August 2003 by Nicole Gauthier and Isabelle Lapointe gives a review of all the precedent work and gives a reinterpretation of the whole data with a field verification. The change of project manager at SOQUEM has constrained this review by the new geologist in charge. All the history and hypothesis are well explained and described. This report has been very useful for our own review.

7.1 Regional geology

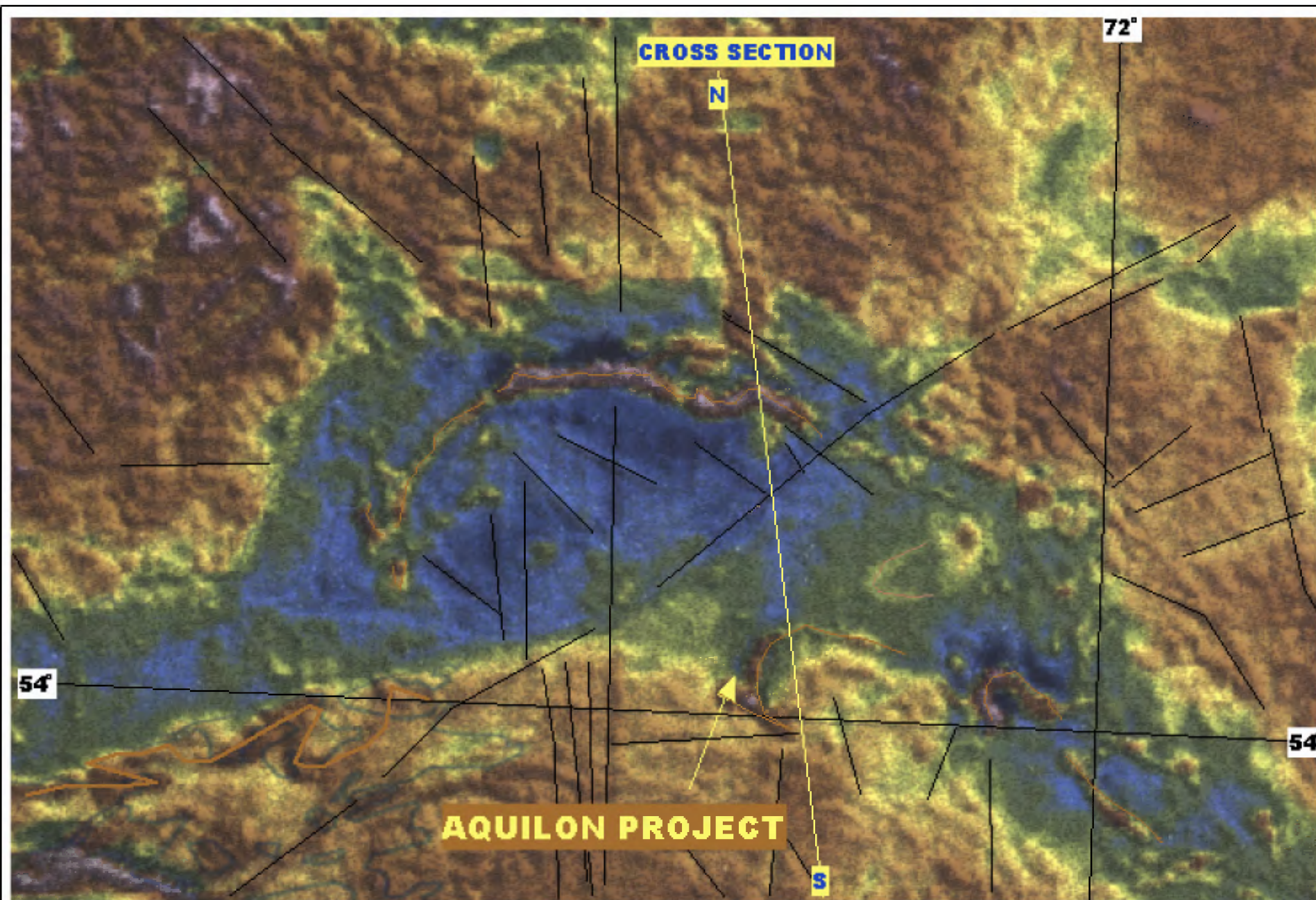
Geological map were obtained from the Ministry. In 1979, K. Sharma mapped two volcano-sedimentary bands. According to his maps, the two arched bands have a rough E-W direction and are distant of about 25 kilometres. Sharma describes the two bands as narrow, arched and forming two inclined anticlines. The area between the two bands is occupied by a granitic intrusion.

First, according to our experience, we never observed or are aware of volcano-sedimentary basin forming only antiforms, squeezed between two granitic intrusions. Checks in the literature did not permitted to find any example similar to the Aquilon and La Forge bands. In the World, volcano-sedimentary basins are mainly formed of synclinorium, synclinal or synforms accompanied by antiforms on their margins. Knowing the government geologist reputation, it was hard to deny his observations, having not visited myself this area. Verifications in SIGEOM and also the geological map of Quebec did not answered to my questions. My hypothesis is that the metamorphosed rocks comprised between the two volcano-sedimentary basin would be coarse grained metasedimentary rocks looking like an orthogneiss which can be confused with a quartz-diorite or a granodiorite (number 10 on the Sharma's maps).

In order to explain the presence of two antiformed volcano-sedimentary basins, it is necessary to insert a regional synform in between. Generally, granitic batholiths or plutons take place in the axis of large anticlines not in synclines. In addition, with the intrusion of such a pluton, the contact metamorphism would be very high and important. This is not the case.

7.2 Aeromagnetic coverage of the Province of Quebec.

This coverage was conducted in the 50-60's by the Federal government at a scale of 1 : 63 360.



CLIENT : **GOLDEN TAG RESOURCES INC.**

FAIT / MADE : **C. DEROSIER**

DATE: **NOVEMBER 2004**

PROJET / PROJECT : **AQUILON PROJECT**

APPRO. :

ÉCHELLE / SCALE : **1: 500 000**



TOTAL FIELD MAGNETIC MAP OF THE AQUILON AREA
(Source: Carte du Champ magnétique total, enlèvement)

CONTR. : **2004-201**

SUBD. :

FIG. No: **10**

7.0 REVIEW OF PREVIOUS WORK AND DISCUSSION (cont.)

Very recently, all aeromagnetic data from the Federal government, S.D.B.J. and M.R.N.Q. have been digitalized by the Quebec government and coloured maps have been published. The Total field magnetic map of Quebec has been obtained. This map was enlarged in order to better see the La Grande Rivière Basin and the Aquilon area. Figure no 9 shows a part of this total field magnetic map. The two bands of mafic volcanic rocks associated to Iron Formations and mafic flows are well visible in dark purple. The Aquilon property lies along the northern flank of a highly magnetic batholith which appears in yellow and red. The northern La Forge volcano-sedimentary band is also well visible, separated from the south band by a large magnetic low similar to the lows observed in the Sakami-Yasinski area (Sakami Formation).

Figure no 10 is an other enlargement of the same map, at a scale of 1 : 500 000 and centred on the Aquilon- La Forge "Basin". The magnetic low in the centre appears in dark blue, while the felsic and intermediary volcanic rocks appears as light blue to light green. Dark green colour corresponds to the mafic volcanics as well as the diabase dykes. Several NW elongated axis as well as N-S axis seem to correspond to these late mafic intrusions. A long NE trending fault is also well visible. It is observed that the two arched high magnetic bands represent "S" shaped folds with an amplitude in the two kilometres range. This is conformable with the presence of a large volcano-sedimentary basin.

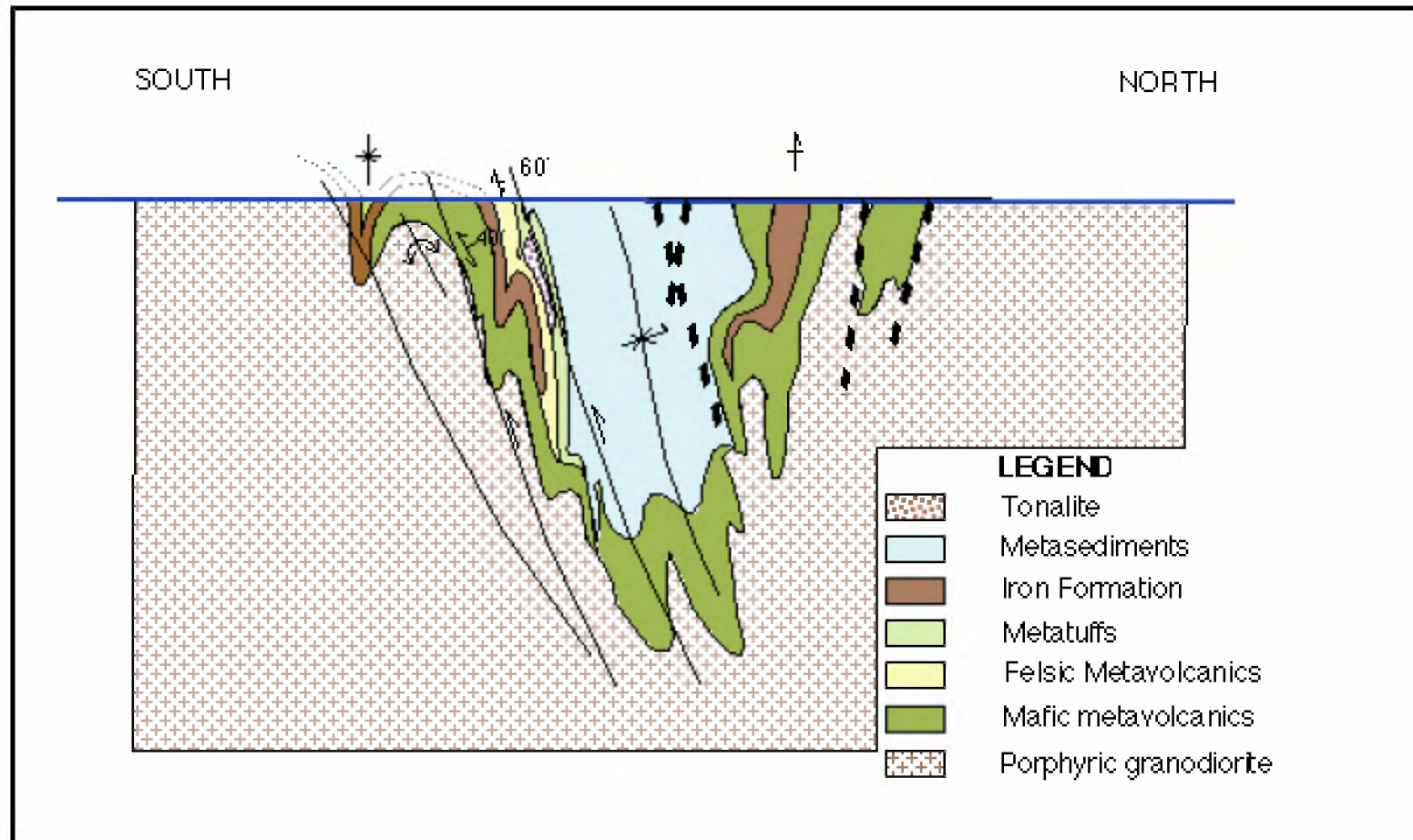
We made a comparison with the other well known greenstone belts of Abitibi such as the Brouillan-Manthet belt, the Casa-Berardi area, the Comtois-Lebel-sur -Quevillon area and the Lac-des-Vents area (Chibougamau). They all look similar to the Aquilon greenstone belt as visible on Figure no 10.

Unfortunately, Sharma does not give the results of his observation and petrographical studies as well as lithochemical assays on the rocks mapped. So, we have a big question mark in regards to this granite located between the two volcano-sedimentary bands.

The lithology assemblage observed on the Aquilon property is very similar to the assemblage described on the Virginia's Auclair property which is located in the Middle-Eastmain basin (Figure no 8). The magnetic signature is very similar. On the Auclair property, gold is associated to Iron Formation with oxide and silicate facies interbedded with highly deformed mudrocks. At this location, two folding phases (P1 and P2) affect the rock formation as well as the gold mineralization. These last are generally found in fold hinges (P2). We can see a strong similitude with Aquilon where gold is also found in fold hinges (P2), except that the Iron Formation has never been mapped and/or prospected.

Figure no 10 also shows that the mafic rocks are more important than though and occupy a larger area, specially to the Southeast, toward the termination of the basin.

Unfortunately, the helicopterborne magnetic and electromagnetic survey flown by Sirios does not cover entirely the Iron Formation and the margins of the South granitic batholith. Figure no 10 also shows that the Iron Formation and the associated mafic rocks form a tight fold having a WNW axis. The south flank of this fold is in contact with the granodiorite. This tight fold is a synclinal, which completes the "S" shape of the Aquilon anticlinal.



CLIENT : GOLDEN TAG RESOURCES LIMITED. PROJET / PROJECT : AQUILON PROJECT	FAIT / MADE : C. DEROSIER APPRO. :	DATE: NOVEMBER 2004 ÉCHELLE / SCALE : 1: 500 000
<p>SCHEMATICAL CROSS SECTION ACROSS THE AQUILON-LAFORGE BASSIN</p>	CONTR. : 2004-201 SUBD. :	FIG. No: 11

7.0 REVIEW OF PREVIOUS WORK AND DISCUSSION (cont.)

Based on the K. Sharma's geological map as well as the Sirios/SOQUEM maps as well as the aeromagnetic maps, a regional geological cross-section was drawn (Figure no 11). This section cross the Aquilon antiform and a long NE trending fault which is crossing the centre of the basin. Dips of schistositys and foliations were respected and reported. Folding at depth has been interpreted. Some overthrust faults can also be interpreted. The tight basin is steeply dipping in the northern half as well as at a certain distance of the South batholite. In the central and eastern parts of the Aquilon property, as reported on the maps, schistositys are dipping at 60-70° to the North or NE. Figure no 12 shows our structural interpretation of the Aquilon Basin with the synclinatorium axis and the folded magnetic horizons as well as some overthrust faults. The Iron Formation seems to disappear to the West, on both side of the basin.

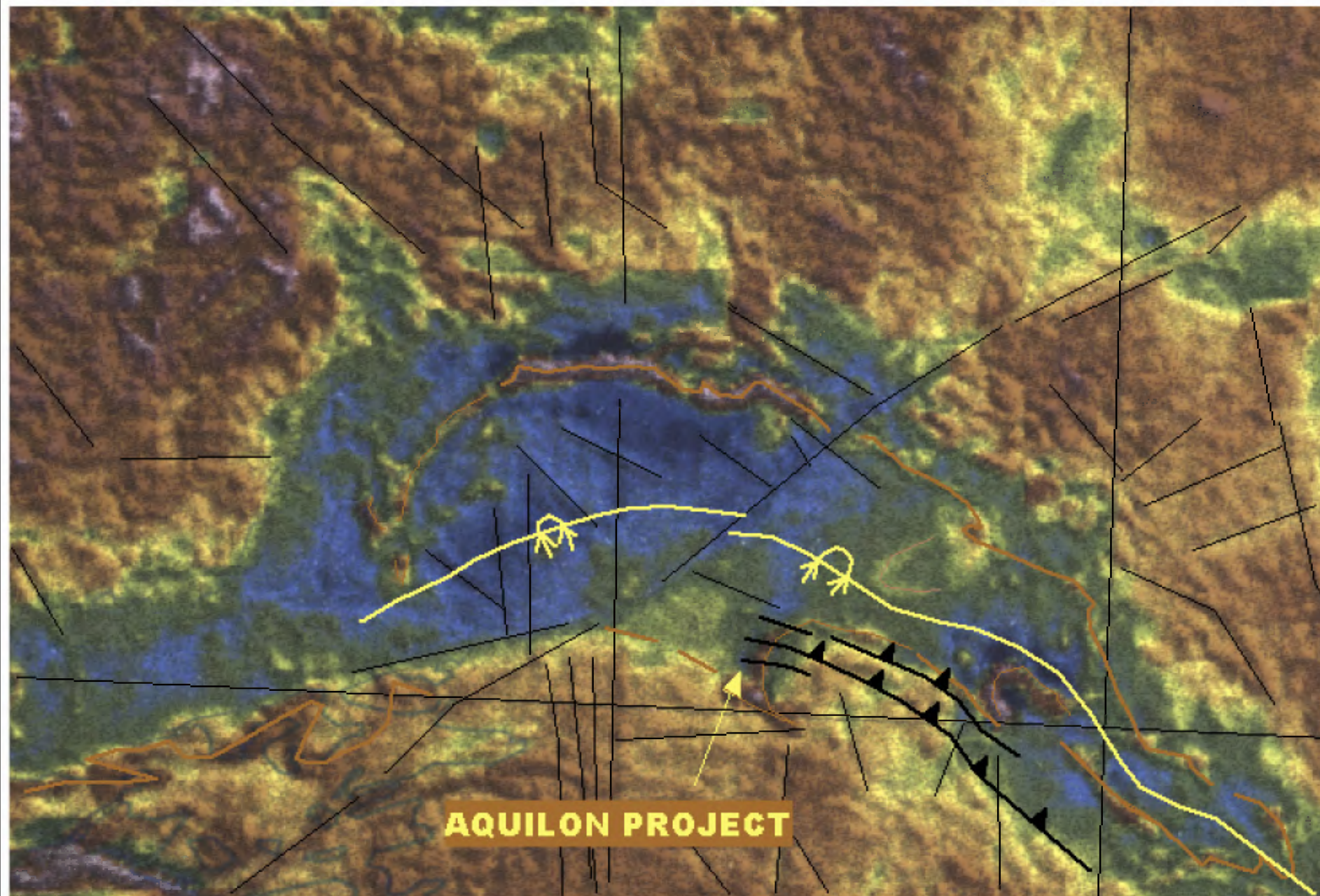
7.3 Magnetic coverage of the Aquilon property (1997)

The exploration permits were covered by a combined helicopterborne magnetic and electromagnetic survey. Two directions of flight lines were followed (N-S and E-W) in order to well cover the large anticline with line perpendicular to beddings and main schistositys.

Unfortunately this survey was not extended farther to the South for covering the second fold. Results of this survey are presented on numerous maps at a scale of 1 : 10 000. Looking at the Total magnetic field results presented on a coloured map with contours, we first are attracted by this strong well curved high magnetic band, which correspond in the field with Mafic to ultramafic? rocks, metasediments and Iron Formation. This horizon which can be considered as a marker horizon does not seem to be highly folded. It is rather broken-up and slightly displaced by faulting and some overthrust faults oriented at 280°.

The Iron Formation is bordered to the South by medium to highly magnetic layers coinciding with mafic lava flows and metagrawackes. To the North and West, The Iron Formation is overlain by fair to weakly magnetic rocks excepted in the area where the gravel road leading to La Forge-1 crosses the magnetic band. On the east side of this road going to Mistowaw lake, we can interpret the presence of a mass of magnetic volcanic flows forming a sort of triangle. This is interpreted as a phenomenon of disharmony due to the difference of competence between lavas and sedimentary rocks. This magnetic mass looks like highly folded layers forming a bourrage near the hinge of a fold. This mass was mapped as rhyodacite with biotite and magnetite. However, Its magnetic intensity is rather in the range of the mafic lavas, which have been mapped at some distance and on strike to the East. Rhyodacite are normally relatively plastic and easy to fold and stretch while mafic lavas are harder and have a tendency to break with considerable tension release joints. These last are the circulation conducts of hydrothermal fluids.

Presence of this mafic mass and of the 280° trending overthrust fault in contact to the North seems to cause a change in the direction of the other layers, specially the conductive layers detected by the Max-Min II survey, to the NNW of the mass. The direction of the conductor is turning from ENE to 280° (SOQUEM's plan no 36-01, L24E). The change of direction is also observed with the schistositys. The magnetic axis clearly show a good concordance with the directions of schistositys as much on the northern limb as the southern limb of the megafold.



CLIENT : **GOLDEN TAG RESOURCES INC.**

FAIT / MADE : **C. DEROSIER**

DATE: **NOVEMBER 2004**

PROJET / PROJECT: **AQUILON PROJECT**

APPRO.:

ÉCHELLE / SCALE: **1: 500 000**

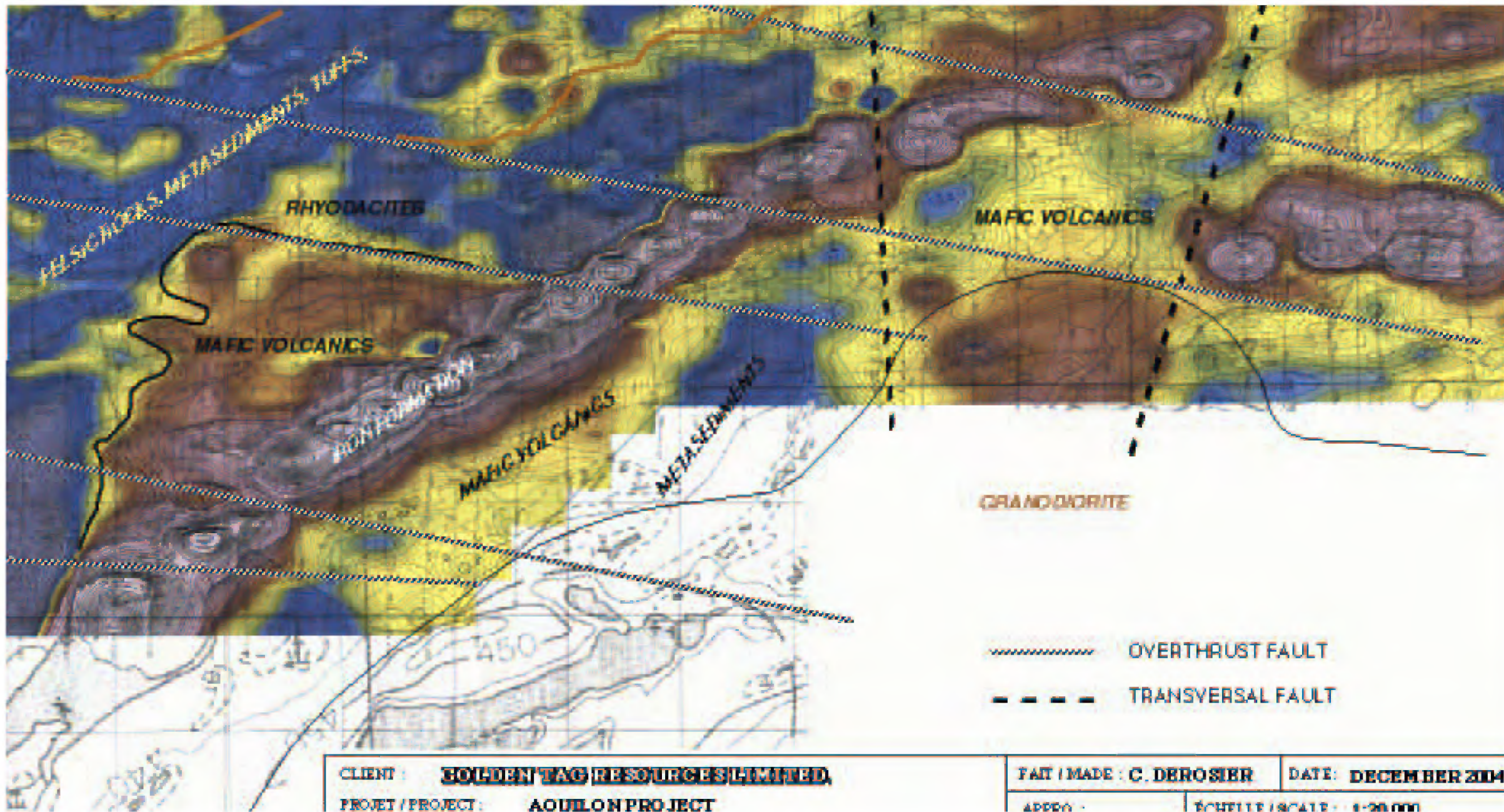


STRUCTURAL INTERPRETATION OF THE AQUILON AREA
(Source: Carte du Champ magnétique total, enlèvement)

CONTR. **2004-201**

SUBD.:

FIG. No: **12**



7.0 REVIEW OF PREVIOUS WORK AND DISCUSSION (cont.)

However, close to the crest, magnetic values are less contrasted and no axis can be determined. This situation may be related to the alteration of magnetic minerals near the fold axis (oxidation of pyrrhotite for example) or a silicification. This phenomenon may also be related to the slight dip of lithologies. However, if it was really the case, the magnetic highs would be spread and uniform. EM axis are parallel to the magnetic axis and very often associated to magnetic highs on the northern and southern limbs of the megafold.

7.4 Discussion on the geology and structures of the property

7.4.1. Stratigraphy

We have seen that five large lithostratigraphic units have been determined in the La Grande and Opinaca Subprovinces. At the base, we find a basement constituted of tonalitic gneisses (orthogneiss), overlain by a volcano-sedimentary platform (arenites, mafic to ultramafic rocks, plains of basalts (Komatiite lavas flows) with interbedded felsic volcanics. This third level is overlain by a sequence of turbidites with polymictic conglomerates, Iron Formation and felsic volcanics at the base. Finally, all these rocks are intruded by tonalitic, granodiorite and granite intrusions (Table no 1).

The Aquilon property is characterized by the presence of a mega recumbent anticline. This anticline is faulted and presents some overthrusting. The property is constituted of a bimodal volcanic sequence of which the core is occupied by a calco-alkaline complex. Under and over this complex, we find komatiites, magnesian basalts and basalts-andesites with a tholeiitic to transitional affinity. Metasedimentary rocks (biotite grauwackes, oxidized and silicated Iron Formations, pelites) are found under and above these complexes.

Rocks on the Aquilon property have been metamorphosed in the upper greenschist facies to the lower to middle amphibolite facies (Lapointe, 2000). According to I. Lapointe, all felsic rocks have been completely recrystallized. In most cases, felsic volcanics show a definite foliation (orientation of micas and quartz crystals) and a granuloblastic texture.

From South to North, the following sequences have been mapped on the property:

- 1) Granodiorite to quartz-diorite with minor amount of diorite and granite (magnetic rock).
- 2) Amphibolitized, coarse grained mafic lavas (mostly basalts) interbedded with ultramafic rocks (serpentinite-olivine or tremolite-actinolite), minor metasedimentary rocks (biotite paragneiss, metagrauwackes and argillites).
- 3) Iron Formation: Oxide and silicates (magnetite, quartz, grünerite, hornblende, biotite). These rocks show a very layering resulting of the alternation of cherty material and magnetite rich bands. Silicated layers are mainly made of grünerite and/or hornblende.
- 4) Amphibolitized mafic volcanics, ultramafic rocks and metasediments,

7.0 REVIEW OF PREVIOUS WORK AND DISCUSSION (cont.)

similar to the horizons found South of the Iron Formation.

- 5) Felsic volcanic complex, host of the Wolf Corridor and target of most of the recent exploration work. Felsites include rhyodacites, dacites, andesites, tuffs and synvolcanic tonalite intrusions. Some pillowed lavas have been observed in the Small Moose area, as well as amygdalae and fragmentary facies.
- 6) To the North, mapping indicated the presence of metasedimentary rocks comprising grauwackes, arenites and cherts. These rocks are interbedded with altered rhyodacite, andesite and basalts .
- 7) Most of these rocks have been intruded by a pattern of comagmatic gabbro dikes (Quirion, 2001) and diorite, quartz-diorite and lamprophyre ? dikes.

Felsic rocks with a brecciated texture are found on the northern border of Wolf Lake Shear (Lingo and Nouska-North). Carapace breccias formed during the chilling phase of felsic lavas are observed in the Lingo lake area.

It was found (N. Gauthier, 2002) that it was difficult to discriminate the metasediments, metafelsites and felsic intrusions. The most problematic was the difference between the tonalite and the porphyritic rhyodacite (Lapointe, 2002).

On Table no 6, we have tabulated nine gold showings with their location, the rock types observed, structures, veins and the intrusions. This table was mounted in order to obtain an accurate stratigraphic column and a datation of structural features and intrusions. The main objective was to replace in the time, the hydrothermal event which brought or remobilized gold mineralization

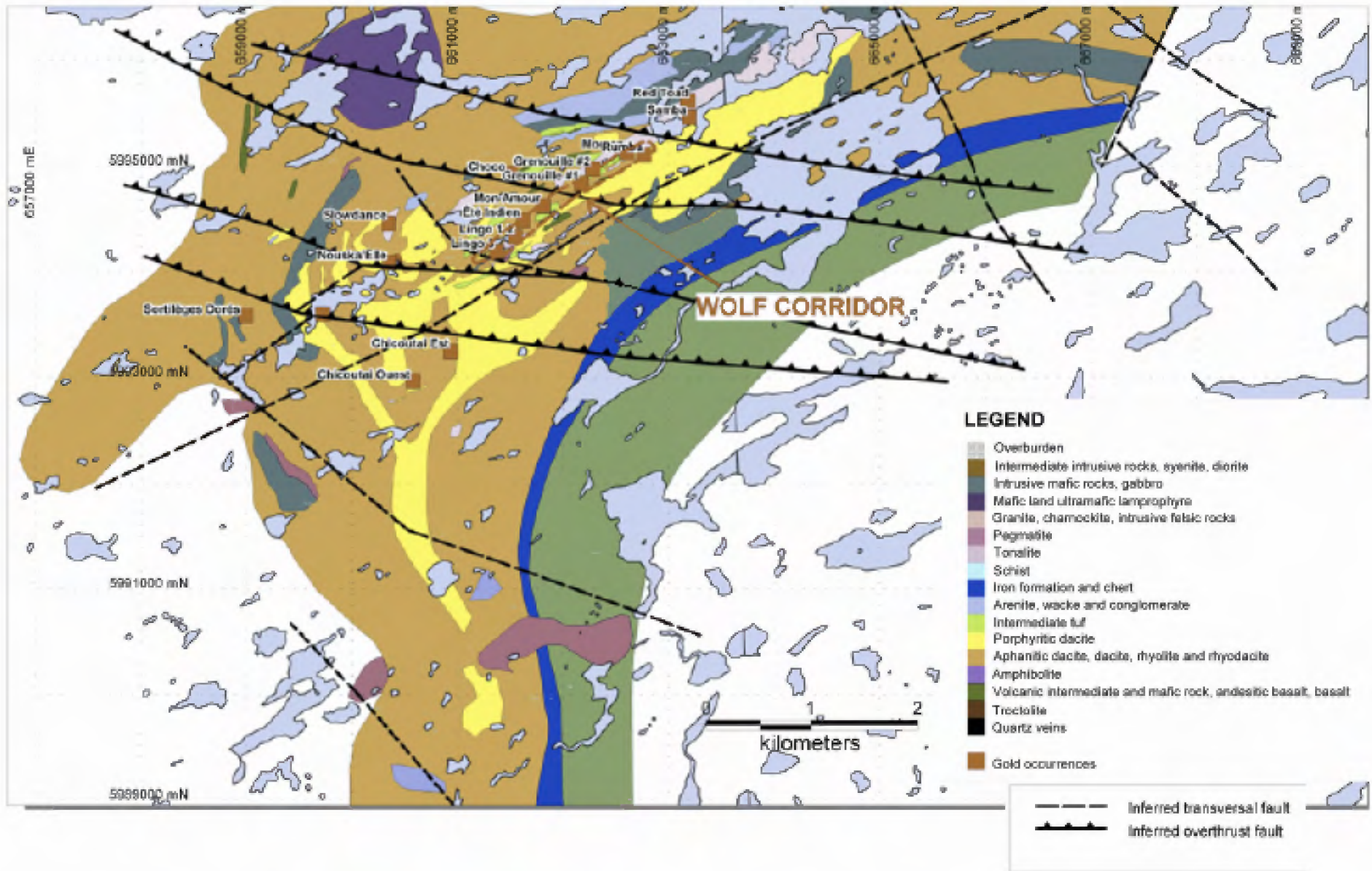
From this table, we can understand that quartz±carbonates veins which carry or not gold mineralization are the second and third intrusions. Gabbro dikes being apparently the first injections, probably synvolcanic in origin and contemporaneous to the mafic lava flows (basalts). Two generations of quartz-carbonate veins have been described. The second set of veins cutting the first one does not seem to be gold bearing. It is less folded too. Quartz veins have been folded and stretched by a major tectonic phase. Bourrage and stretching affect these veins depending if they are close to a fold axis or on a limb. They are affected by numerous secondary and tertiary folds.

A post-tectonic event permitted the intermediate to felsic intrusions to take place. Some of these were mapped as tonalite with gabbroic margins. At other places, the intrusions were mapped as gabbroic diorite, brecciated diorite, biotite diorite, mafic intrusives (I3) or gabbro. This entire dikes family comes certainly from the same mafic or ultramafic magma and suffered differentiation phases. Thus the magma may be more felsic if it is injected in quartz rich metasedimentary rocks, or more mafic if it cuts mafic lava flows. The same dyke may have mafic margins and a more felsic

TABLE NO 6

CHRONOLOGY OF INTRUSIONS AND INJECTIONS AS OBSERVED ON STRIPPED AREA AND IN TRENCHES

Décapage et Indice	Location	Chronology of intrusions (Most recent to older)	Intruded rocks	Direction	Size	Comments
Lingo Est- TR-99-03	L21+00E/4+25S	I2J- Brecciated Diorite Ondulating and elongated Qtz veins Gabbro (West half)	Tonalite with Biotite Porphyroblastic Dacite/Schists	NW and NE	Narrow to 2m	Cut the shear zones
Indice S.D.	L13+00E/3+60N	Ultramafic? Intrusive I1D Biotite-Porphyric Intermediate Intrusive I2 Gabbro	Tonalite Gneiss	N-S NNE NNE to E-W NNE	1.5-2m 0.3m 0.10 to 2m	Could be an old recemented shear zone (Chlorite-Hornblend) Same direction than Gabbro dykes. Folded Cut by Intermediate Intrusive Sulfides zones are folded and appear as remobilization
Fleur de Lys- TR-00-01	L32-33+00E/ 3+00S	I2J Biotite diorite (folded) Folded Qtz Veins	Tonalite in contact with sediments	N-S N-S, E-W	0.05 to 0.75m Up to 2 m	The margins of tonalite are more mafic and were mapped as gabbro, presence of a S fold. Cut the Gabbroic margins , are E-W in sediments
Veine Elle, TR-00-21	BL 0+00/L12+00E	Diorite, sometimes gabbroic diorite Qtz veins Tonalite Sills with gabbroic margins	Dacite	NNE/N-S NNE NE	Up to 5m	Folded Folded Intimately microfolded
Lingo-West; TR-99-01	L20+00E/4+00S	Diorite Gabbro Tonalite I1D Biotite Qz Vein	Dacite Dacite Dacite Dacite	NW NE and NW NE // to S2	Up to 1m Up to 0.50m 0.10 to 0.45m	Cut both the tonalite and the dacite Strongly associated to the tonalite sill, present on the margins Cut by late diorite dyke.
Sortilèges Dorés Ouest-TR-01-10	L4+35W/ 2+60N	Qz Veins	V3 Am amphibolitized basalt Sheared zone gives Se+ schists	NNW	0.10 to 1m	Folded and stretched Qz vein
Moman-TR-001-12 and 13	L35+00E/3+25S	Lamprophyre (often between Sed and Tonalite) Gabbro-diorite dykes Qzt Vein	Tonalite/sediments/dacite Tonalite/sediments Tonlite/Dacite	N-S, NE N-S, NE (folded) NE	Up to 2 m 0.3m 0.1m	Dyles and sills, Look like an amphibolitized gabbro or cornean? Cut the three lithologies (NE, NW, NS) Highly folded (Moman) Ptygmatic folds, or // to S2.
Small Moose- TR-98-01	L32+00E/ 1+75N	Pegmatitic dykes I2J, Diorite Mafic dykes	Schists and Basalts Basalts Basalts	NW WNW NE, E-W, NW	0.10-0.30m 0.10-5m	Almost straight (NW) NW or follow the layering Cut Basalts and Rhyolite?
Cheveu de Grenouille	L32E/3+10S	Pegmatite (I1P) I3 Intrusions mafiques Qz vein	Rhyodacite/ I3 (V3?) Tonalite/dacite	NNE, N-S N-S, NNE//S2, //S2, NW, folded	0.10-1m 0.10-0.3m	Cut the tonalite, There are some basalt flows interbedded /V1 Cut the tonalite and may be folded
GENERAL COMMENT	THERE IS A LACK OF STANDARDIZATION IN THE LITHOLOGICAL DESCRIPTION OF THE DIFFERENT TRENCHES. THE SAME ROCK MAY HAVE DIFFERENT CODE AND DIFFERENT COLORS					



Drawn by R. MOAR, Dec. 2004

CLIENT : **GOLDEN TAG RESOURCES LIMITED.**

FAIT / MADE : **C. DEROSIER**

DATE : **DECEMBER 2004**

PROJET / PROJECT : **AQUILON PROJECT**

APPRO :

ÉCHELLE / SCALE : **AS SHOWN**



GEOLOGY OF THE AQUILON PROJECT
 (Modified from N. Gauthier, 2003)

CONTR. : **2004-201**

SUBD. :

FIG. No : **14**

7.0 REVIEW OF PREVIOUS WORK AND DISCUSSION (cont.)

core.

Ultramafic intrusive and lamprophyre dikes have been described at some locations. Often, they are observed at the contact between metasediments and tonalite. They may be contemporaneous of the gabbro dikes.

The youngest intrusions are pegmatitic in composition.

TABLE NO 7

CHRONOLOGY OF INTRUSIONS	
Diabase dikes (WNW and NE)	
Pegmatitic dikes	
----- Tectonic phase (folding and faulting) --(P3?)-----	
Lamprophyres, mafic intrusives, gabbro, gabbroic diorite, diorite dikes	
----- Tectonic phase (overthrust faults, faulting, shearing) -(P2)-----	
Quartz-carbonate veins	
----- Small tectonic movements -----	
Gold bearing quartz-carbonate veins	
----- Tectonic phase (folding and faulting) (P1) -----	
Tonalite? Porphyric diorite	Sediments
Intermediate volcanics	Sediments
Mafic volcanics	Sediments

7.4.2. Structures

Two main tectonic phases have been recognized:

- 1) The first phase would be associated to folding, overthrusting and imbrication of the supracrustal sequence and basement toward SE (Goutier and al., 1996). Recumbent to the SE and South isoclinal NE-SW and E-W folds are associated to this first phase. This main foliation is very penetrative with slight dips to the NW. Closely associated to this foliation, a stretching lineation with a slight dip of 20°, of which the orientation is constant to the North-North-East, constitutes the most unchanging and outstanding structural element.
- 2) The second one (P2) is mostly identified along the long E-W to ENE deformation corridors. It has subvertical axial plans. H. Desbiens (1997) had recognized these folds and considered them as secondary decimetric dislocated folds. They are mainly observed near the axis of the main anticline.

The important change in direction of the structural grain from E-W to N-S in the

7.0 REVIEW OF PREVIOUS WORK AND DISCUSSION (cont.)

Slow Dance and Nouska area would correspond to the hinge of a secondary fold of which the plunge would be coaxial with the stretching lineation (orientation NNE, slight plunge).

The important change in direction of the structural grain from E-W to N-S in the Slow Dance and Nouska area would correspond to the hinge of a secondary fold of which the plunge would be coaxial with the stretching lineation (orientation NNE, slight plunge).

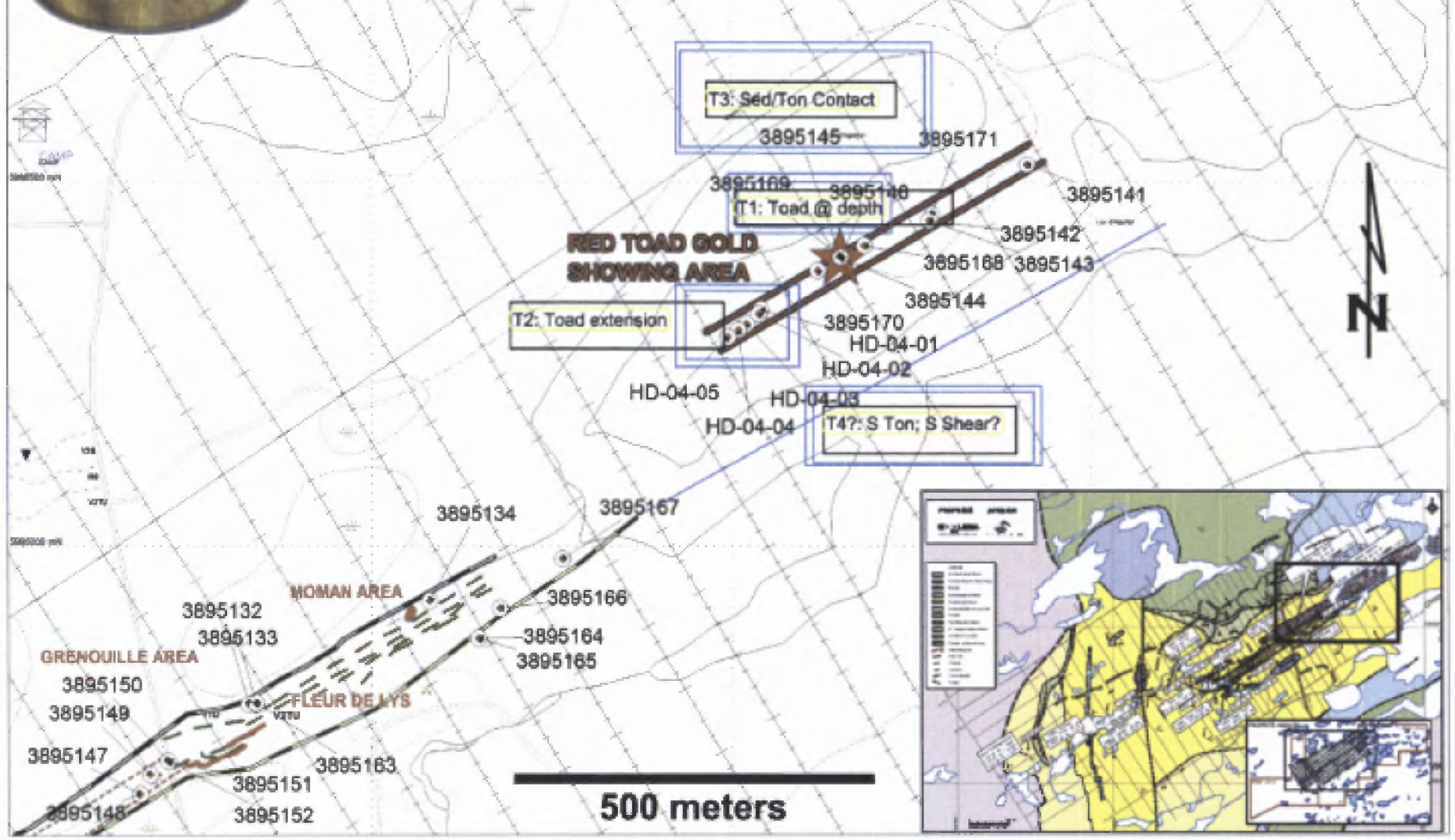
The Mullion Fault which has been extrapolated from only one outcrop and extended across the west part of the property rather has a limited extension. This fault does not appear on the geophysical surveys. The mullions are materialized by an extremely well developed stretched lineation but the extension is certainly limited to the outcrop. In the area of the "Mullion Fault", the major change of direction of the main foliation is due to the presence of a large hinge of a P1 fold (Quirion, 2002). This codification to the interpretation is in accordance with our interpretation of a strong disharmony occurring on both side of the megafold hinge and bordered by two WNW overthrust faults (Figure no 14).

Figure no 14 shows our interpretation of the geology and structural geology at the property scale. This interpretation is based on the airborne and ground geophysical surveys, mapping by Sirios and SOQUEM as well the mapping by government geologists. This Figure shows the homogeneous horizons formed by the mafic volcanics and sediments, the Iron Formation forming the regular mega-recumbent anticline.

On the northern or western side of this regular shape, we find an area of disharmony, specially in the area of the megafold hinge where we observe a thickening toward the hinge, a tighter secondary folding resulting in the crescent-shaped bourrage of the mafic volcanics. On both side of this bourrage, bordered by overthrust faults, the mafic volcanic horizons are thinned and stretched. There is a major slipping along the bedding planes of the upper part of the Iron Formation bands. The necessary thinning and thickening is mainly achieved by weak, incompetent rocks, like rhyodacite, rhyolite and felsic tuffs. For these reasons, all the area between Lingo and Chicoutai East is highly folded, sheared, brecciated and folded. It is the area where all stresses have converged during the folding and overthrusting phase.

The area NE of Lingo, including the Wolf Corridor is better preserved and only minor secondary fold affect the volcano-sedimentary formations (Figure no 15). This is also the reason why the gold occurrences are more homogeneous and well on strike with the stratigraphy. This is also the reason why gold bearing quartz veins and younger intrusions are not so deformed.

AQUILON PROJECT: RED TOAD GOLD AREA



CLIENT : GOLDEN TAG RESOURCES LIMITED.		FAIT / MADE : C. DEROSIER	DATE : NOVEMBER 2004
PROJET / PROJECT : AQUILON PROJECT		APPRO. :	ÉCHELLE / SCALE : As shown
	RED TOAD GOLD AREA Location and Surface sampling (2004)		CONTR. : 2004-201
			SUBD. :

7.0 REVIEW OF PREVIOUS WORK AND DISCUSSION (cont.)

7.4.3. Gold mineralizations

Two types of gold mineralization have been uncovered:

- 1) One vein-type gold mineralization with very high grade, associated to felsites and observed within a disseminated pyrite halo. This mineralization is mostly found along a strong lineament named the Wolfe Corridor which cut felsite rocks such as rhyolite and tonalite.

This type of mineralization with very high grade is observed in three main areas. The Wolf Corridor, the Mullion Fault and the Lingo Lake area. This last can be related to the Wolfe Corridor.

Gold is untimely associated to quartz± carbonate veins emplaced in the felsic rocks. Very high Au/Ag ratios are characteristic of this type of mineralization and of the three areas.

Accessory minerals are as follows: pyrite, pyrrhotite, sphalerite, galena, chalcopyrite, magnetite, tellurides of silver. In the veins, sulfide quantities are rather low (1-2%). Gold is very often found as native gold. Values may be very high (>1000 g/t Au).

Alteration of the gang comprises sericite ± carbonate± biotite± epidote. The K metasomatism, represented by the muscovite, is observed in the margin of the gold bearing veins. The mineralogical study conducted on the main gold occurrences has shown that gold contained in quartz vein is mainly associated to altered fragments of the host rock (quartz-muscovite).

Veins and veinlets are generally injected in the rhyodacite and mostly at the contact between this last with amphibolites (basalts) or volcanoclastites. They are emplaced parallelly to the layers. They are highly folded, boudined, stretched, transposed in the direction of layers but also in the direction of plunge of folds parallelly to the stretching lineation.

- 2) A gold mineralization with a weaker grade, associated to bands of disseminated sulfides (Py-Po) with some anomalous values of copper and zinc. These sulfide bands are conductive and well located by the I.P. method. In addition to sulfides and silicification, the other alterations associated to the mineralization are : sericitization, chloritization, carbonatization, epidotization, biotitization and amphibolitization. Some albization has also been recognized.

Lithogeochemical anomalies are mostly present in the Wolfe Corridor, the North conductor area, the Mullion Fault area as well as the extension of Lingo lake.

7.0 REVIEW OF PREVIOUS WORK AND DISCUSSION (cont.)

Most of these mineralizations are found in the Sortilège Dorés area, with the main EM conductor. Gold is associated with disseminated sulfides spread in mafic lava flows (Quirion, 2002). E.M. conductors have a kilometric extension which suggests an important exhalative activity. This conductor could be the west extension of the northern conductor, separated from it by several overthrust faults and intense stretching due to the diapiric effect created during the folding and shearing event. The 2002 I.P. survey confirms in great part this extension over a distance of eight (8) kilometres.

Detailed study of vein-type gold mineralization by I. Lapointe suggests that the development of the main foliation slightly dipping to the Northwest is associated to the regional overthrusting, of supracrustal rocks to the South. The direction of transportation corresponds to the one of the stretching lineation. This lineation controls the other linear elements, creating a parallelism with the fold axis. The principal foliation is parallel to the axial plan of P1 folds. Attitude of P1 folds suggests a N-S direction with a subvertical dip of S0 layering. Certain sectors are characterized by a predominant stretching lineation suggesting a type "L" deformation.

Some veins seem to present good lateral and at depth extensions (> 100 m). The best case is the Lingo West vein. Thickness variations are foreseen at depth since the structural context is valuable in the three dimensions. On surface, veins have variable thicknesses (from few centimetres to several metres). However, the actual drilling pattern is too wide (100m) to appreciate the possible variations of thickness at depth.

The best preserved veins are located in the hinges of fold (P1). These veins show a pronounced thinning on the limbs while they are much thicker in the hinges where a remobilization of gold is observed. Boudinage is frequent in the area of the hinges.

On the Grenouille2 gold occurrence, open folds with a N-S subvertical axial plan have been noted. The stretched lineation follows the fold axis. Mafic dikes considered as late own a lineation parallel to the stretched lineation. These observation suggest that the late deformation phase is not totally stranger to the one associated to the main deformation. On Grenouille -1, some disharmony was observed (isoclinal folding between two more competent layers).

In the Fleur de Lys trench, large overturned folds following an isoclinal folding style affect the layers. They are characterized by parallel axis to the stretched lineation while Sp is of axial plan. Some evidences of flattening of veins were observed on this showing as well as the Grenouille -1 showing. They are expressed by the folding and boudinage of the veins. These last would cut the lithological layers. The alignment of consecutive hinges where veins were observed, suggests a NNW orientation of veins prior to the folding phase. Veins must be at slight angle with the lithological contacts.

7.0 REVIEW OF PREVIOUS WORK AND DISCUSSION (cont.)

On Lingo-East, the quartz vein is bordered by a chlorite-sericite rich schistosed band. According to I. Lapointe (2002), there is no correlation or genetic association between the vein and the shearings. However, these shearings do not seem to cross the lithological contacts but are rather following these last. Their development would be contemporaneous of the regional overthrusting.

Lingo-South gold occurrence: This showing shows a stockwerk of gold bearing veins suggesting a filling of tension release joints. This context is different of the other showings where the gold mineralization is contained in major quartz-carbonates veins. This context offers a better economic potential compare to the other showings because it can develop a more important volume of gold resources, than the highly folded, boudined, broken and stretched veins.

South of Wolf Corridor and East of Lingo, the crusty breccias which contain 2-3% Py-Po with good gold values could have an economic potential but they are highly deformed and difficult to follow.

7.4.4 Geological models

According to H. Desbiens (1997-2003), the two types of mineralization encountered on the Aquilon project have been compared to the Doyon-Bousquet gold deposits for the veins and veinlets of quartz-disseminated pyrite, emplaced in schistosed metafelsites, and to the Troilus gold deposit for the veins cutting the porphyric tonalite (Red Toad, Samba, Grenouille). The disseminated to semi-massive sulfides within the metafelsites would be comparable to Bousquet-Dumagami.

For D. Quirion (2001), the Aquilon mineralizations present a great analogy with those of Hemlo and Madsen. However, there is no enrichment in V, As, Mo and Sb elements on Aquilon. The petrographic study by Birkett and Quirion (2001) puts forward the replacement textures which are typical of epithermal deposits.

For N. Gauthier (2003), the K (biotite, muscovite) and Al (garnet, andalousite) alterations of silicified and sulphidic schists, allied to the presence of Cu and Zn associated with the gold values, the frequent localisation of mineralized schists at the contact between mafic and felsic layers, are all similar elements to the mineralizations of 1-2 Zones of Doyon Mine or Bousquet #2. The #2 Bousquet deposit is located at the contact between an andalousite schist and a muscovite-garnet schist.

In Canada, models for gold associated to vein and shear zones in volcanic rocks are numerous. Almost 25% of the canadian gold production comes from mines having almost the same geological context. Campbell Mine at Red Lake is may be the best known model. The geological settings are: archean greenstone belt terrane. Many are associated with highly schistose zones of intense rock alteration (shear zones) interpreted as major structural breaks and are in areas that also contain intrusion-associated gold deposits. Veins occur mainly in greenschist metamorphic domains. The

7.0 REVIEW OF PREVIOUS WORK AND DISCUSSION (cont.)

host rocks are tholeiitic pillowed basalts, thin units of komatitic volcanics, pyroclastic rocks of either of these types, greywackes, conglomerates, associated rocks may be volcanoclastic rocks, greywacke and conglomerate and less commonly iron formation, other chemical sedimentary rocks, felsic porphyric intrusive bodies and mafic or ultramafic intrusive rocks. The forms of these deposits are veins and irregular bodies of quartz along fractures and faults or along zones of slightly to highly altered schistose rock. Gold is associated with sulfides, disseminated or as small irregular patches in quartz. The principal ore minerals are: native gold, tellurides and associated minerals: pyrite, arsenopyrite, minor amount of other sulfides; quartz, minor sericite, carbonates and fuchsite.

The genetic model : gold and associated elements may be scavenged from large volumes of rocks, possibly by fluids derived from the greenschist-amphibolite metamorphic transition, and deposited in fractures, faults and shear zones. Associated hydrothermal alteration, commonly including silicification or carbonatization, is in some cases extensive and pervasive, possibly indicating long-lived CO₂-rich, major hydrothermal systems.

Research in the Canadian geoscientific literature and in the Q.D.N.R.F.P.'s library has led us to contemplate first the possibilities to find gold mineralization associated to Iron-formations with an oxide-silicates facies. The Aquilon Iron Formation is described by Sharma (1979) as a quartz-magnetite-grünerite Iron Formation. It is interesting to note that the Aquilon Iron Formation appears, according to the airborne magnetic surveys as less tectonised than the volcano-sedimentary formations which overlain this last and which are highly folded and faulted. Consequently, if this Iron Formation is gold bearing, it will be the best formation for developing the biggest volume of mineral resources, more homogeneous and easier to mine with an open-pit operation.

In the World, models are numerous but are mostly referring to gold associated to carbonate-iron-formations. The principal features of gold deposits in iron-formations can be summarized briefly. They all almost have an epigenetic aspect, that is the gold-bearing quartz veins, stringers and irregular pods, the gold-bearing sulphide stringers and the massive sulfide lenses are clearly in dilatant zones such as fractures, small faults, drag folds and contorted parts of iron-formations. In some deposits, there is considerable evidence for the replacement of the carbonate facies (siderite and dolomite) of the iron-formations by quartz-silicates, sulfides, etc.... Most deposits are characterized by relatively marked amounts of pyrrhotite rather than pyrite, although the latter is present in the ores. Gold is intimately associated with the sulfides and rarely visible to the naked eye.

Au/Ag ratio in nearly all deposits is greater than 1. The grade of the deposits and occurrences range all the way from <0.01 to 15 g/t Au. The source of gold, silver and other elements such as arsenic and sulphur is probably the sedimentary beds comprising the iron-formations, particularly the graphitic-sulfides facies and the pyriti-

7.0 REVIEW OF PREVIOUS WORK AND DISCUSSION (cont.)

ferrous-chlorite facies. During metamorphism and injection of granite bodies, dilatant zones appeared in competent beds of iron-formations and they were filled with quartz, sulfides, gold, etc... extracted from the pile of sediments comprising the iron-formations and in place also from andesites, pyritiferous shales, pyritic tuffs, etc. Where carbonate facies constituted the bulk of the iron-formations replacement of the carbonates by diffusing constituent such as quartz, As, S, etc. predominated.

Models of gold-sulfides-silicates iron-formation comprise the Algoma type, Homestake in South Dakota or the Lupin Mine in North-West Territory in Canada.

In the James Bay area, the Auclair property own by Virginia Gold Mines located in the Greenstone Belt of the Middle Eastmain River . Gold mineralizations are associated to iron-formations with an oxide facies interbedded with highly deformed mudrocks. Only gold and arsenic are generally enriched in this type of mineralization ((ET 2002-06). locally, Sb is highly enriched in the Frank occurrence with values up to 120 ppm. Two phases of folding (P1 and P2) affect the sector and the gold mineralization are generally found in the hinge of the P2 folds. Best values are associated to the slipping plans in the hinges of anticlines (Chapdelaine and Huot, 1997).

The unaltered iron-formations are composed of magnetite, quartz, hornblende or actinolite and rare brown biotite while the paraschistes are made of biotite, muscovite, feldspar, quartz and garnet. These rocks form garnet amphibolite in the fair metasomatized zones and garnet biotites in highly metasomatized zones. These biotites are associated to quartz veins, sulfides and gold. Garnet amphibolite represent a metasomatic replacement between the paraschists and the iron-formations. In the cases where the deformation is stronger, silicates are almost the same but with the addition of K feldspar. In addition, sulfidization is more intense. Po is intimately associated to actinolite and arsenopyrite is found in masses of pyrrhotite. The garnet biotite represent the ultimate phase of metasomatic alteration and is mainly made of biotite, quartz, garnet, pyrrhotite, chalcopyrite, arsenopyrite. Gold is intimately associated to chalcopyrite and Po which is replaced by arsenopyrite.. Rock received an addition of potassium and suffers a lixiviation of calcium and sodium. Gauthier (2002) compares the Auclair project to Lupin Mine (Nunavut) and to Musselwhite in Ontario. We can also associate to these models the Desjardins Twp Iron formation in Abitibi, which is also gold bearing and the Ashuanipi Sub-province where Quebec government geologist have identified Algoma type iron-formations (Moritz and Chevé, 1992) with gold occurrences of silicate-pyrrhotite or magnetite types.

Consequently, the long Aquilon Iron Formation presents a good potential and must be prospected with a good attention.

8.0 CONCLUSION AND RECOMMENDATIONS

8.1 Conclusions

The Aquilon project presents a considerable number of high grade gold occurrences. More than fifteen (15) gold showings have gold values higher than 30 g/T Au (>1 ounce/t). They are found within an area of more than 5 square kilometres.

The megafold clearly set it again a prior regional schistosity S1, subparallel to the lithological contacts. This fold appears as a recumbent fold to the South. This model is compatible with the geophysical mag and E.M. axis which show a change in the direction compatible with schistosity. Overthrust faults and transversal faults displace the lithological horizons and have created narrow and long shear zones most of the time parallel to the main schistosity.

The strong stretching lineation does not seem to have been set it again by the S2 folding. The observed lineation, specially on the Northern Limb is interpreted as related to the P2 phase, with the S2 schistosity and a good indicator of the direction of movement of the P2 phase.

The sharp change of the structural directions in the area of the hinge of the large P2 fold, associated to a diapiric effect and the flattening of the S1-S2 dip permits to infer, at the hinge level, an overthrusting from North to South. The strong stretching lineation indicates the direction of this movement.

Each exploration programme carried out since 1997 has systematically permitted the discovery of new significant gold occurrences. This fact is an excellent indicator for the economic potential of the property and for the expectation to find additional gold bearing zones on surface and at depth.

Most of the gold occurrences are found on the northern limb of a mega fold, within a corridor of about 5 km in length with widths varying from 500 m to 200 m to the East. Other gold showings are found on the hinge and South limb of the fold regrouped in two distinct bands running parallelly to the lithology and schistosity. The west band was followed over 400 m and comprises the Sortilèges Dorés, Sortilèges Dorés West 1 and 2. The east band followed over 250 m comprises the Wolf and Z-1 occurrences.

Gold mineralizations are mainly associated to felsic volcanic rocks and to tonalitic? (porphyric diorite) and sometimes to mafic volcanic or intrusive rocks. For the moment, no preferential lithologic association is thrown into relief.

To date, only the northern limb is well prospected, stripped and drilled over a distance of at least 2 km. The drilling pattern is too far apart for the type of structures and mineralization shapes (more than 100 m) which are present. On a similar gold project, the interval between drilled section can be as short as 5 m (Taurus-Fairstar's Fenelon Project).

No diamond drilling has be made on gold occurrence of the South Limb.

The Central part (Hinge) is highly folded, sheared and faulted, which contribute to the lack of

8.0 CONCLUSION AND RECOMMENDATIONS (cont.)

continuity or extension of the mineralized zones, to their cylindrical type shape and the difficulty to well delineate some resources.

Two types of gold mineralization have been distinguished:

- 1) One vein-type gold mineralization with very high grade, associated to felsites and observed within a disseminated pyrite halo. This mineralization is mostly found along a strong lineament named the Wolf Corridor which cut felsite rocks such as rhyolite and tonalite (Doyon-Bousquet type).

This gold mineralization clearly appears as prior to the S2 schistosity. Along the Northern and Southern Limbs, the distribution of occurrences appears controlled by the main S1 schistosity.

On the Northern Limb, the apparent thickness variation, observed from West to East, along the auriferous corridor is interpreted as resulting from the variation of dipping of the S1-S2 schistosity. The real thickness of the mineralized corridor is in the range of 150 m.

On the Northern Limb, the stretching lineation seems to play a major role in the geometric arrangement of mineralized zones. Quartz veins seem to have a geometry in sheath fold, subparallel to the lineation. P2 phase with the stretching lineation could together play an important role in the remobilization of gold values.

- 2) A gold mineralization with a weaker grade, associated to bands of disseminated sulfides (Py-Po) with some anomalous values of copper and zinc. These sulfide bands are conductive and well located by the I.P. method. In addition to sulfides and silicification, the other alterations associated to the mineralization are : sericitization, chloritization, carbonatization, epidotization, biotitization and amphibolitization. Some albitization has also been recognized.

On the Northern Limb, certain veins show a good lateral continuity (>100 m) and along the dip and more particularly the Lingo Vein. However, important variations in thickness can be foreseen due to the structural context. A closer drilling pattern will give a better picture of the possible variations of thickness at depth.

Gold values present very erratic variations which does not indicate an easy or regular continuity between the present observed values on surface and those cut at depth by the drilling campaigns.

8.2 Proposed exploration programmes

The proposed exploration programme can be divided in three distinct parts.

The first part comprising two phases would cover the east and west extensions of the Red

8.0 CONCLUSION AND RECOMMENDATIONS (cont.)

Toad area in order to be able to well understand the continuity of the gold mineralization and evaluate the possibility to delineate some resources. The displacement interpreted between the Moman showing and Red Toad must be verified by stripping and drilling (under the small pond). It is recommended to extend the grid to the East in order to cover the extension of the tonalite sill. All known showings as well as the new to be discovered will be stripped over an area of 600 square metres each (20 m by 30 m). We estimate at 10 the number of stripping to make. Each stripped area will be washed and detail mapped. Over each stripping, three surveyed lines will be traced at a 10 m interval and picketed at a 5 m interval. Each line will be sampled by a channel sampling programme with samples averaging 1.50 m in length.

Based on our experience on the Taurus-Fairstar's Fenelon project, a wide and long stripping is the best manner to follow the mineralization on surface. Detailed mapping using a grid of lines at 10 m interval, accompanied by a systematic channel sampling along the lines will prepare the ground for a detailed systematic drilling campaign. On Fenelon, for example, each highly folded dike was mapped as well as veins and silicified zones. The intense folding, the brecciation and the shearing were well understood after this campaign and permitted to better correlate the rocks observed in the core with those mapped on surface and later in the underground work. It would be important to correlate together several known gold occurrences in view to be able to estimate some resources.

If results are positive, a systematic drill hole programme will be undertaken (5 000 m) along the Wolf Corridor, the Red Toad area and the East extension.

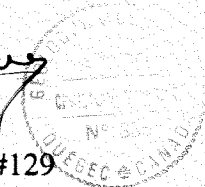
The second part would consist of prospecting and exploration work on the Iron Formation. Some lines of the present grid will be extended toward the granodiorite intrusion for a better localisation of outcrops. The compass being not accurate in the Iron Formation area, GPS readings and line cutting will give a good topographic base. Some large stripping will be made on favourable area. We estimate a number of ten (10) strippings covering 600 m³ each for checking the iron formation, the mafic lavas and the contact zone between the lavas and the granodiorite. Each stripping will be surveyed and three to four lines will be traced with stations located at a 5 m interval. Channel sampling will cover the entire lines traced on surface. Depending of the thickness of the horizons uncovered, samples will be taken over a 2 m length. If results are satisfying, a drilling programme will be executed.

The third part will cover the Southern Limb starting from Sortilèges Dorés to the South. We have good chances to find there a symmetrical situation to the Wolf Corridor with a North-South orientation. The interpreted syncline structure to the South have to be prospected. If funds are available, the helicopterborne survey could be extended to the South and to the West in order to cover this structure. With the equipment on the spot, it would be interesting to cover the other anticline to the ESE before to do some reconnaissance.

Yours very truly



Christian Derosier
M.Sc., D.Sc. P. Geo #129



Saint-Lazare, December 22, 2004

9.0 BIBLIOGRAPHY

- Birtkett, T. and Quirion D. Étude pétrographique des indices minéralisés, Projet Aquilon (1295), SOQUEM internal report, 12 pages, 2001.
- Eade, K.E. Fort George River and Kaniapiscaw River (west Half) Map Areas, New Quebec, GSC Memoir 339, 82 pages, 1965.
- Ross, M. Levé géochimique du till de la propriété Aquilon, Baie James, Québec (33I/01-02), Sirios Resources internal report, 1998.
- Sharma, K.M. Région du lac Vincelotte, Territoire du Nouveau-Québec, Q.E.E.M., DPV-730, 29 pages, 1979.
- Sharma, K.M. Géologie du lac Vincelotte, Territoire du Nouveau-Québec, Q.R.E.M., MB-97-05, 3 pages, 1997.
- Chartrand F. & Gauthier M. Cadre géologique et potentiel minéral des roches archéennes du Bassin de la Grande Rivière, Baie-James, M.E.R.Q. ; PRO-95-06, 10 pages, 1995.
- Chartrand F. & al. Vers une meilleure connaissance du potentiel minéral du Moyen-Nord québécois, M.E.R.Q., PRO-95-02, (1995).
- Gauthier M., Larocque M. & Chartrand F. Cadre géologique, style et répartition des minéralisations métalliques du bassin de La Grande Rivière, Territoire de la Baie James, M.E.R.Q., MB-97-30, 65 pages, (1997).
- Girard R. Description pétrographiques de quatre échantillons de felsite minéralisée, Projet aquilon, Rapport interne pour Sirios resources, 15 pages, (1998).
- S.D.B.J. Cartes du champ magnétique total résiduel, 1 :50 000, feuillets 33I/01-02, M.E.R.Q., SI-33101-MT3-95F et SI-33102-MT3-95F.
- Moukhsil A. & al Synthèse géologique et métallogénique de la ceinture de roches vertes de la Moyenne et de la Basse-Eastmain (Baie-James); Quebec, ET 2002-06; 2003.
- Q.D.N.R.F.P. Carte du champ total magnétique du Québec; 2004,
- Gauthier M. Styles et répartitions des gîtes métallifères du Territoire de la Baie-James, Chronique de la Recherche minière No 539; pages 17-61, 2000.
- Lapointe I. A petrological study of the different lithologies and alterations on the gold prospect of Aquilon, La Grande Subprovince, Quebec, Canada, Honours Research Project, Earth and Planetary Sciences, McGill University, Montreal, Quebec, Canada, 44 pages, 2000.

9.0 BIBLIOGRAPHY (cont.)

- H. Desbiens Aquilon Project, James Bay, Qc (33I/01-02) Qualifying report; 2003.
- I. Lapointe Rapport sur les travaux de décapage mécanique de 2003 ; Projet Aquilon (1295) ; Soquem Inc/ Ressources Sirios Inc.; 2003.
- N. Gauthier-I. Lapointe Rapport sur les travaux d'exploration réalisés en 2002-2003 ; Projet Aquilon ; Soquem Inc/Ressources Sirios Inc.; 2003.
- N. Gauthier Projet Aquilon (1285) ; Soquem Inc./Ressources Sirios Inc.; Rapport sur les travaux d'exploration en 2002 et recommandations pour 2003; 2003.
- D. Quirion Rapport sur les travaux de décapage mécanique, cartographie, Prospection et géochimie de till ; Projet Aquilon (1295), Été 2001; 2002.
- D. Quirion Rapport sur les travaux d'exploration réalisés à l'automne 1999. Sur le Projet Aquilon (1295), Baie James; 2000.
- D. Quirion Rapport sur les travaux de décapage, de cartographie et de Forages réalisés pendant l'année 2000 sur la propriété Aquilon, La Forge -1, Baie James; 2000.
- H. Desbiens Projet Aquilon; Rapport sur le Programme de forages, février et mars 1999 sur la Propriété Aquilon, Rivière La Forge (LA-1), Baie James, Québec (33I/1-2); 1999.
- Geosig Inc. Levé de Polarisation provoquée, Propriété Aquilon, La Forge-1, Baie James, S.N.R.C. 33I/02; 2002.
- Géos Sciences Inc. Rapport de Terrain et de Laboratoire, Soquem Inc. ; Comptage de grains d'or et description minéralogique de till de base, Projet Aquilon (1295), Baie James; 1999.
- G. Lambert Rapport sommaire sur des travaux de géophysique au sol, Levés magnétiques et E.M.H. MaxMin II ; Propriété Aquilon ; Ressources Sirios Inc.; 1998.
- High-Sense Geophysics Ltd Combined Helicopterborne Magnetic and Electromagnetic survey of the Aquilon Project, NTS 33I/01-02, Quebec, Canada; carried out on behalf of Sirios Resources Inc.; 1998.
- D. Quirion Rapport complémentaire sur les travaux d'exploration, Projet Aquilon (1295), Baie James.; 2001.

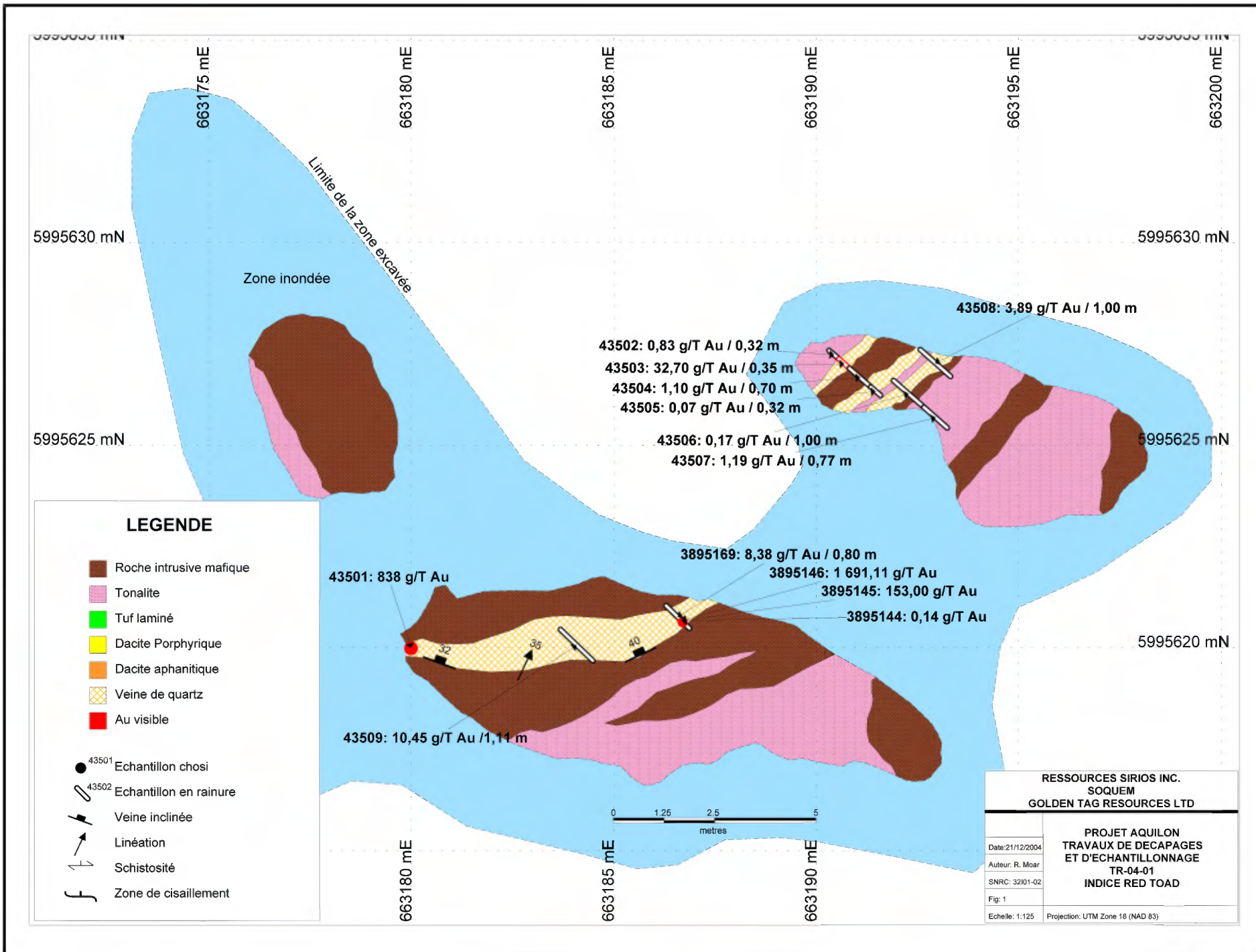
9.0 BIBLIOGRAPHY (cont.)

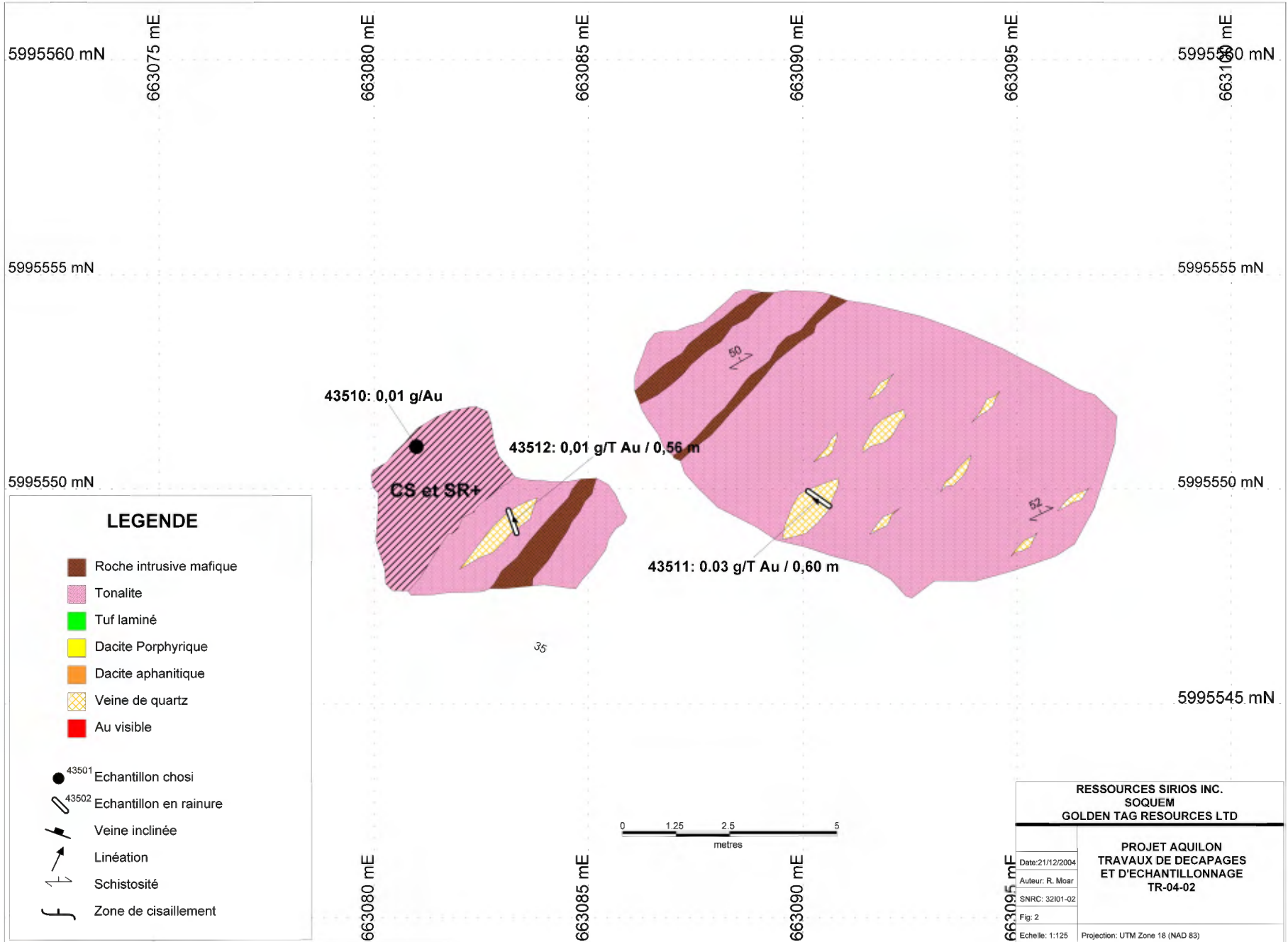
- Wheeler J.O. & Palmer A.R. Geology of Canada no 8; Géologie des types de gîtes minéraux du Canada; Commission Géologique du Canada; in Geology of North America, Volume P-1; 1995.
- Boyle R.W. The geochemistry of gold and its deposits , Bulletin 280, Geological Survey of Canada, Energy , Mines and Resources Canada, 1979.
- Eckstrand O.R. Canadian Mineral deposits types, A geological synopsis,Economic geology, Report 36, Geological Survey of Canada, 1984.
- Choinière J., Lamothe D. & Clark T. Cibles d'exploration géochimiques dans le Moyen -Nord québécois, secteur de Caniapiscau-Ashuanipi, Pro 95-05, Q.D.N.R., 1995.

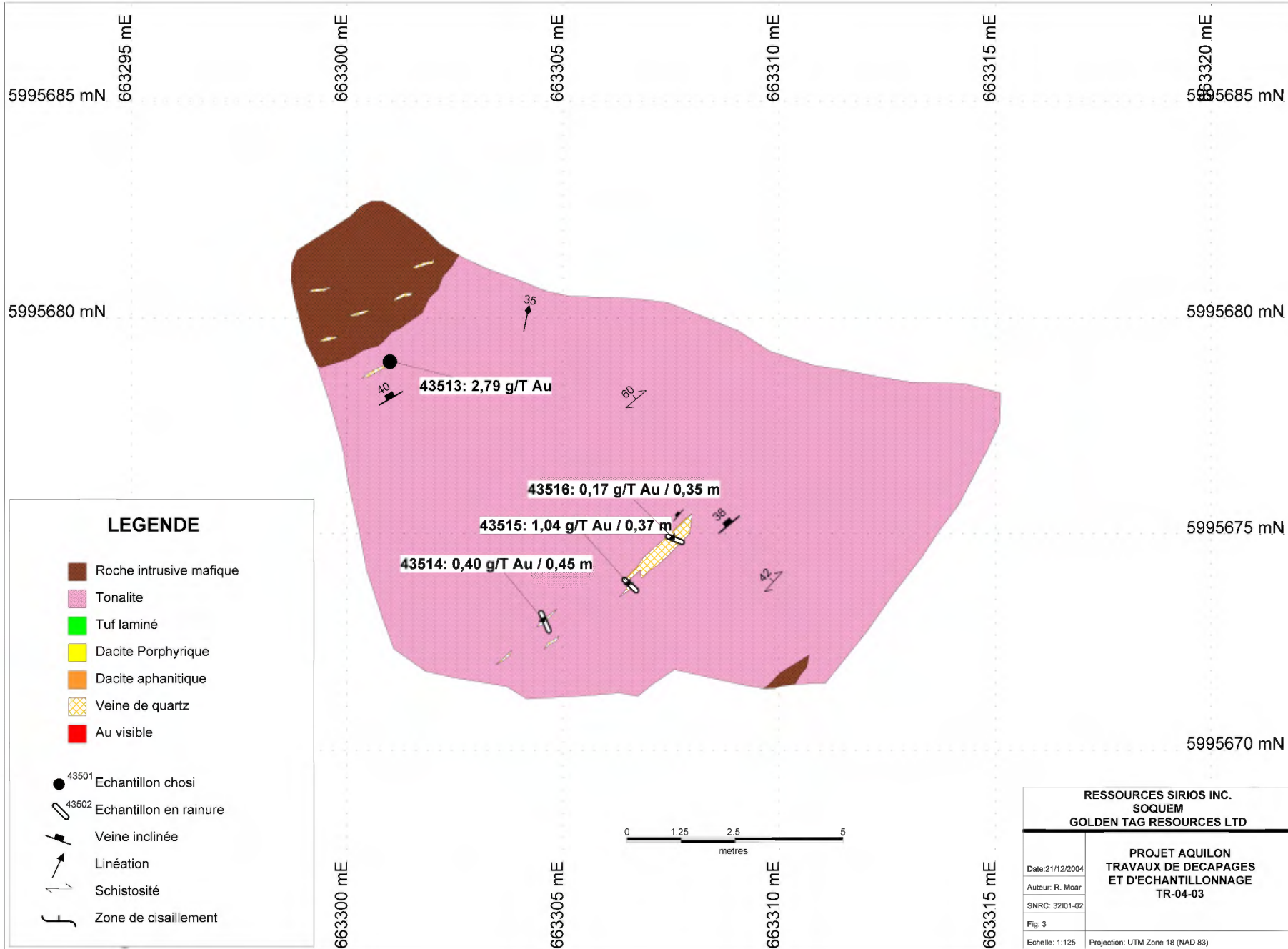
APPENDICES

APPENDIX NO 1

2004 TRENCHING PROGRAMME





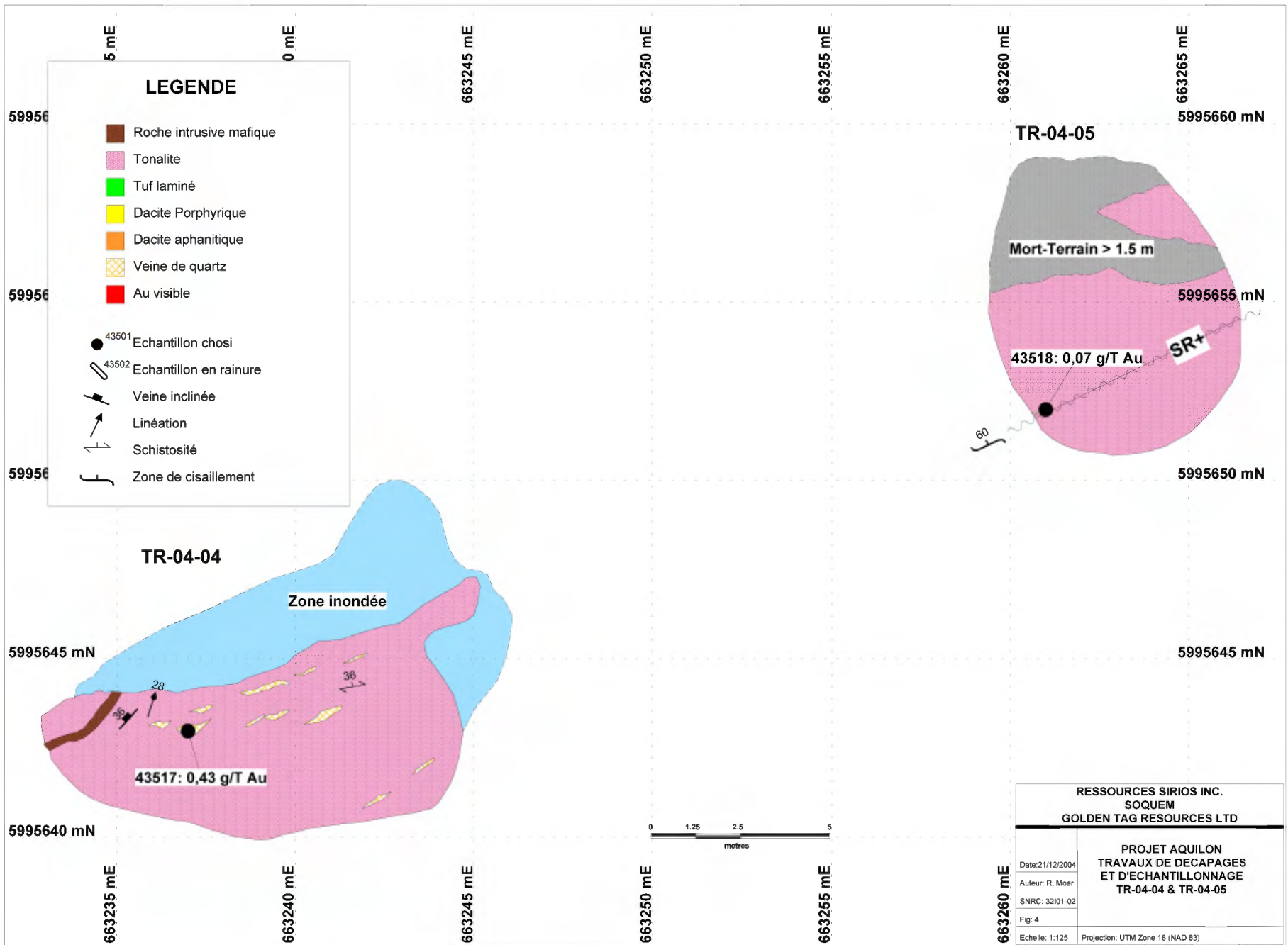


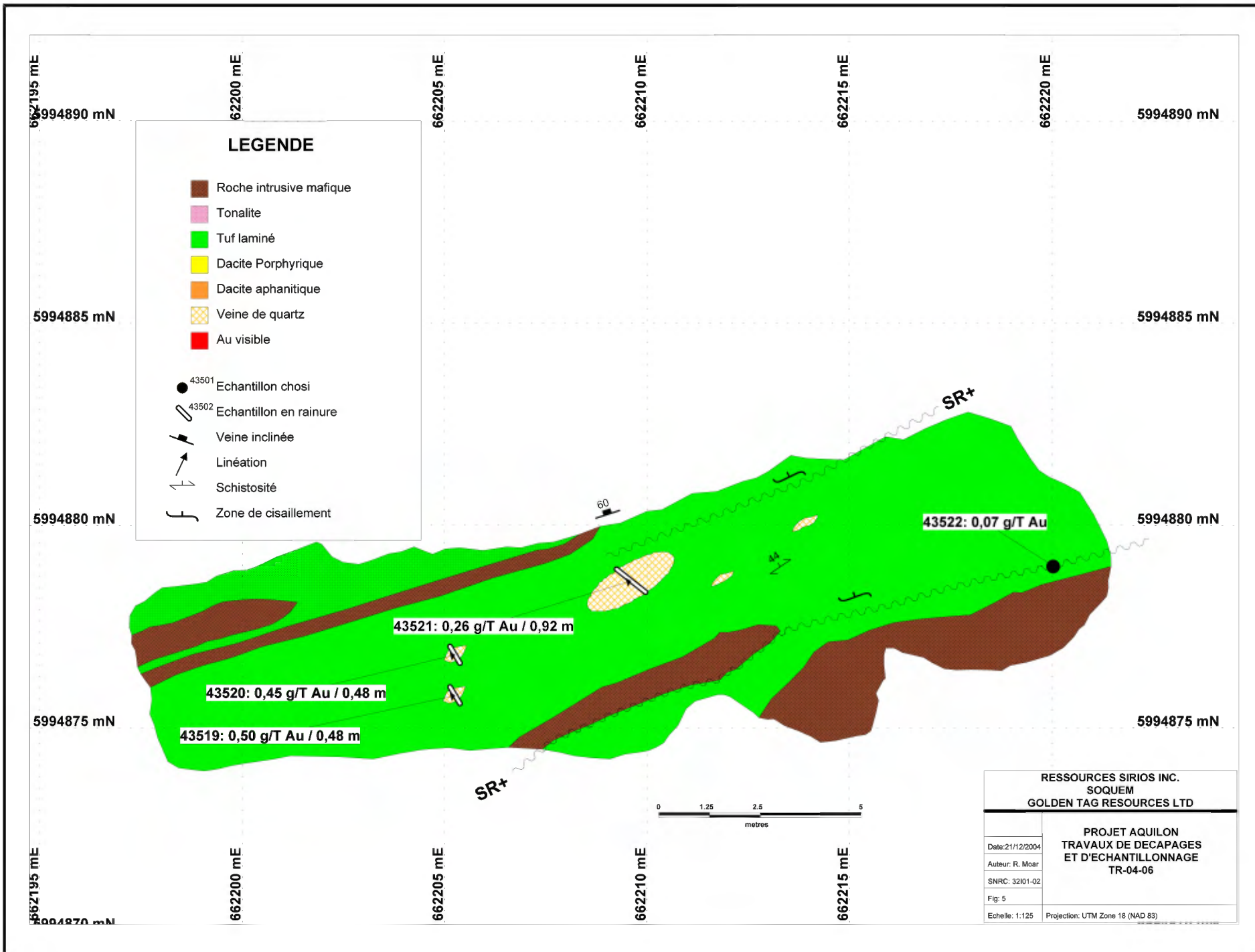
LEGENDE

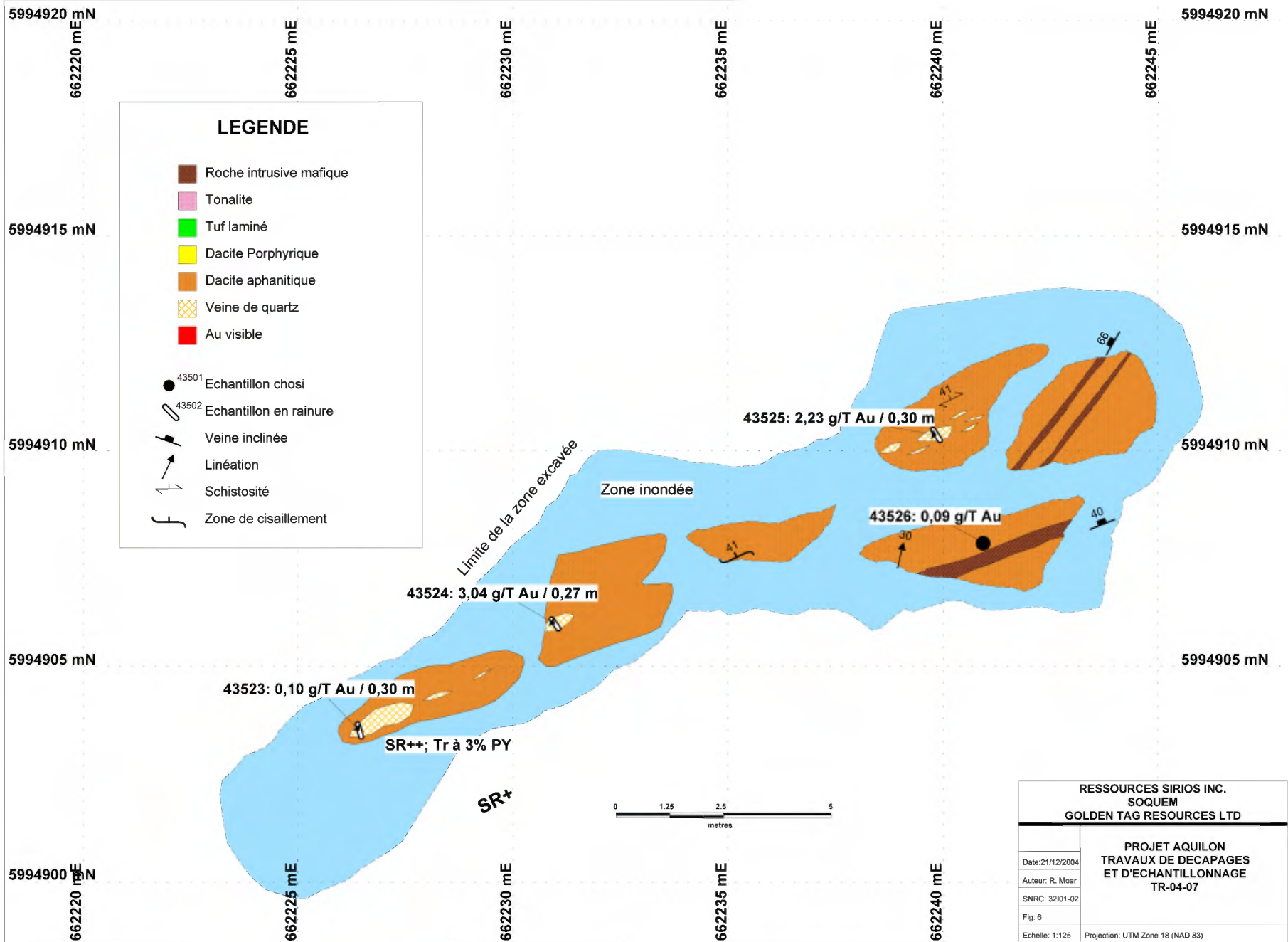
- Roche intrusive mafique
- Tonalite
- Tuf laminié
- Dacite Porphyrique
- Dacite aphanitique
- Veine de quartz
- Au visible

- 43501 Echantillon choisi
- 43502 Echantillon en rainure
- Veine inclinée
- Linéation
- Schistosité
- Zone de cisaillement

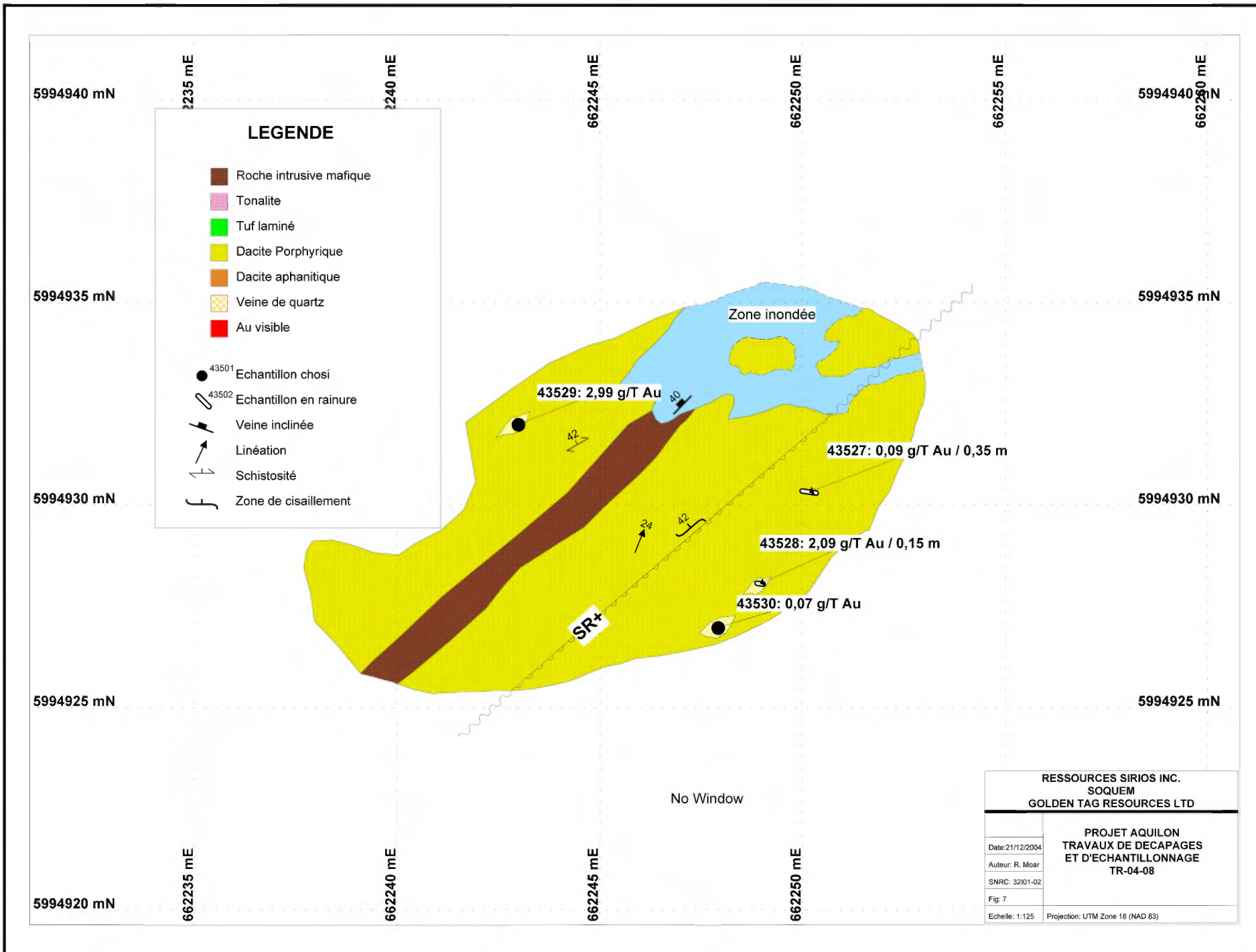
RESSOURCES SIRIOS INC. SOQUEM GOLDEN TAG RESOURCES LTD	
PROJET AQUILON TRAVAUX DE DECAPAGES ET D'ECHANTILLONNAGE TR-04-03	
Date: 21/12/2004	
Auteur: R. Moar	
SNRC: 32101-02	
Fig: 3	
Echelle: 1:125	Projection: UTM Zone 18 (NAD 83)







RESSOURCES SIRIOS INC. SOQUEM GOLDEN TAG RESOURCES LTD	
PROJET AQUILON TRAVAUX DE DECAPAGES ET D'ECHANTILLONNAGE TR-04-07	
Date: 21/12/2004	
Auteur: R. Moar	
SNRC: 32101-02	
Fig: 6	
Echelle: 1:125	Projection: UTM Zone 18 (NAD 83)



APPENDIX NO 2

2004 DIAMOND DRILL LOGS



JOURNAL DE SONDAGE AU DIAMANT

PROPRIÉTÉ: AQUILON

No du sondage: AQU-04-01

Grille:

Station:

Ligne:

Coord. UTM (NAD 83)

Estant: 663 163

Nordant: 5 995 662

Élévation: 429 m

Titre minier: 3937

Plongée: -60°

Azimuth: N150°

Profondeur: 70.70 m

Calibre: BTW

Entreposage: Propriété

Foré par: Forage Utika Inc.

Journal par: Roger Moar, géo

Débuté le: 11 septembre 2004

Terminé le: 12 septembre 2004

TESTS D'ORIENTATION (HCI)

PROFONDEUR	PLONGÉE	AZIMUTH
-------------------	----------------	----------------

70.70 m	-57°	
---------	------	--

JOURNAL DE SONDAGE AU DIAMANT

DE (m)	À (m)	DESCRIPTION LITHOLOGIQUE	ÉCHANTILLONNAGE ET ANALYSES						
			NO ÉCHAN.	DE (m)	À (m)	LARGEUR (m)	SULF. (%)	Au (ppm)	
								Au AA24	Au SCR21
0.00	0.61	TUBAGE							
0.00	4.77	ROCHE MAFIQUE Roche mafique de couleur verte foncée; massive à grossièrement foliée; phanéritique à grain fin à très fin (<0.5mm); composée d'environ 35-45% de PG et de 55-65% de minéraux mafiques (HB-BO) ; foliation orientée à 60° AC; Tr de MT (très légèrement magnétique); faiblement CB+.							
		0.00-0.12: Roche mafique.							
		0.12-0.23: Veine de QZ laiteux.	43551	0,12	0,73	0,61		0,016	
		0.23-0.26: Roche mafique.							
		0.26-0.32: Veine de QZ laiteux.							
		0.32-0.40: Roche mafique.							
		0.40-0.43: Veine de QZ laiteux.							
		0.43-0.46: Roche mafique							
		0.46-0.48: Veine de QZ; 1% de PY-PO près des épontes.					1		
		0.48-0.52: Roche mafique.							
		0.52-0.54: Veine de QZ; 1% de PY-PO près des épontes.					1		
		0.54-0.66: Roche mafique.							
		0.66-0.73: Veine de QZ; 1% sulfures (PO-PY-CP) près des épontes; épontes faiblement CB+ et CL+; contact inf. et sup. orienté à 80° AC (parallèle à la foliation)					1		
		0.73-1.94: Roche mafique							
		1.94-1.95: Veine de QZ avec Tr de PY près des épontes orientée selon la foliation.	43552	1,90	2,40	0,50	Tr	0,752	

JOURNAL DE SONDAGE AU DIAMANT

DE (m)	À (m)	DESCRIPTION LITHOLOGIQUE	ÉCHANTILLONNAGE ET ANALYSES						
			NO ÉCHAN.	DE (m)	À (m)	LARGEUR (m)	SULF. (%)	Au (ppm)	
								Au AA24	Au SCR21
		1.95-2.29: Roche mafique.							
		2.29-2.37: Veine de QZ avec Tr de PO-PY.							
		2.37-3.27: Roche mafique à grain fin recoupé par quelques veinules (1mm) de QZ orientées selon la foliation.							
		3.27-3.30: Veinule de QZ avec épontes SI+, CB+ et CL+; Tr de PO-PY.	43553	3,27	3,77	0,50	Tr	0,022	
		3.30-3.48: Roche mafique à grain fin.							
		3.48-3.52: Veinule de QZ; idem à 3.27-3.30; 1% PO-PY					1		
		3.52-3.66: Roche mafique à grain fin.							
		3.66-3.67: Veine (1cm) de QZ de forme lenticulaire orientée selon la foliation (80° AC)							
		3.67-4.20: Roche mafique à grain moyen (2mm).							
		4.20-4.24: Veine de QZ translucide et laiteux orientée à 45° AC.	43554	4,00	4,50	0,50		0,009	
		4.24-4.52: Roche mafique à grain moyen.							
		4.52-4.77: Roche mafique à grain fin.							
4.77	70.70	<p>TONALITE</p> <p>Roche de couleur gris clair à blanchâtre; grossièrement foliée; holocristalline; phanéritique à grain moyen (2mm); très homogène; composée de 25-30% de QZ anédrique; 10% de fine BO grossièrement alignée selon la foliation et de 60-65% de PG gris clair; très légèrement SR+; moyennement fracturée (17-20-38° AC) à intervalle variant de 40 à 80cm; recoupée par des intrusifs mafiques et des veines de QZ d'épaisseur centimétrique à décimétrique.</p>							

JOURNAL DE SONDAGE AU DIAMANT

DE (m)	À (m)	DESCRIPTION LITHOLOGIQUE	ÉCHANTILLONNAGE ET ANALYSES						
			NO ÉCHAN.	DE (m)	À (m)	LARGEUR (m)	SULF. (%)	Au (ppm)	
								Au AA24	Au SCR21
		4.77-5.45: Tonalite							
		5.45-5.83: Roche mafique à grain moyen (2mm) grossièrement foliée (82° AC); Tr PY finement disséminée; légèrement CB+; contact sup./inf. à 45° AC.					TR		
		5.83-6.22: Tonalite à grain moyen; foliation à 80° AC.							
		6.22-6.24: Veine de QZ orientée à 80° AC avec épontes altération des épontes en BO.	43555	6,00	6,50	0,50		0,007	
		6.24-6.29: Roche mafique à grain fin orientée à 75° AC.							
		6.29-6.99: Tonalite.							
		6.99-7.34: Roche mafique à grain moyen; foliation orientée à 55° AC; contact inf./sup. à 45° AC; 1% PY disséminée.					1		
		7.34-9.55: Tonalite.							
		9.55-9.63: Roche mafique à grain moyen; idem à 6.99-7.34; contact inf./sup. à 38° AC.							
		9.63-10.42: Tonalite.							
		10.42-10.49: Roche mafique à grain moyen; idem à 6.99-7.34; contact inf./sup. à 38° AC.							
		10.49-10.62: Tonalite.							
		10.62-10.63: Roche mafique à grain moyen; idem à 6.99-7.34.							
		10.63-10.70: Tonalite							
		10.70-10.71: Veine de QZ orientée à 45° AC (opposé à foliation).							
		10.71-11.46: Tonalite							
		11.46-11.59: Roche mafique à grain fin; massif; contact inf./sup. net à 78° AC (parallèlement à foliation de la tonalite).							
		11.59-13.55: Tonalite							

JOURNAL DE SONDAGE AU DIAMANT

DE (m)	À (m)	DESCRIPTION LITHOLOGIQUE	ÉCHANTILLONNAGE ET ANALYSES						
			NO ÉCHAN.	DE (m)	À (m)	LARGEUR (m)	SULF. (%)	Au (ppm)	
								Au AA24	Au SCR21
		13.55-14.04: Roche mafique à grain moyen grossièrement folié (70° AC); contact sup. à 75° AC; contact inf. fracturé; minéraux mafiques BO+.							
		14.04-14.17: Tonalite							
		14.17-15.38: Roche mafique à grain très fin (0.5mm); CB+; grossièrement foliée à 72° AC; Tr de PY disséminée.					TR		
		15.38-15.96: Tonalite à grain moyen.	43556	15,50	16,00	0,50	TR	0,058	
		15.90: Veinule (0.5mm) de QZ avec Tr PY-PO; orientée à 20° AC.					TR		
		15.96-16.72: Roche mafique à grain très fin (0.5mm); idem à 14.17-15.38.							
		16.72-16.80: Tonalite.							
		16.80-16.95: Roche mafique à grain fin; idem à 14.17-15.38							
		16.95-18.55: Tonalite							
		18.55-19.07: Intrusif mafique à grain très fin; massif à très grossièrement; légèrement CB+.							
		19.07-22.38: Tonalite.							
		22.38-23.55: Intrusif mafique à grain fin; légèrement CB+.							
		23.55-23.66: Intrusif mafique fortement CL+ et BO+							
		23.66-24.10: Tonalite à grain moyen							
		23.73-23.75: Veine de QZ±CL	43557	23,73	24,23	0,50		0,005	
		24.10-24.35: Intrusif mafique BO+ et légèrement SI+; 1% PY.					1		
		24.35-24.62: Intrusif mafique à grain fin; finement foliée.							
		24.62-24.67: Zone d'altération en EP+.							
		24.67-24.91: Intrusif mafique à grain fin; idem à 24.35-24.62							
		24.91-24.96: Veine de QZ-CL±BO.	43558	24,70	25,20	0,50		0,016	

JOURNAL DE SONDAGE AU DIAMANT

DE (m)	À (m)	DESCRIPTION LITHOLOGIQUE	ÉCHANTILLONNAGE ET ANALYSES						
			NO ÉCHAN.	DE (m)	À (m)	LARGEUR (m)	SULF. (%)	Au (ppm)	
								Au AA24	Au SCR21
		24.96-26.03: Intrusif mafique à grain très fin; 1% PY finement dispersée.					1		
		25.68-26.03: Zone d'altération en BO.							
		26.03-26.10: Intrusif mafique à grain très fin.							
		26.10-26.30: Tonalite à grain fin à moyen.							
		26.30-26.48: Intrusif mafique à grain très fin.							
		26.38: Veinule (0,5mm) de QZ avec 3% PO-PY; épontes CL+; orientée à 80° AC (parallèlement à la foliation).	43005	26,39	27,14	0,75	3	0,009	
		26.48-27.00: Tonalite à grain fin; BO+ (10-15% BO)							
		27.00-28.52: Intrusif mafique à grain très fin; BO+ et légèrement CB+.	43004	27,14	27,64	0,50		0,006	
		27.70-27.72: Veine de QZ de forme lenticulaire orientée selon la foliation	43559	27,64	28,14	0,50		0,025	
		27.82-27.93: Veine de QZ avec Tr de PY-PO près des épontes.	43560	28,14	28,52	0,38		0,039	
		27.93-27.96: Zone SI+.							
		28.52-31.39: Section principalement composée de tonalite intersectée de veines de QZ (1-10cm) et de roches (<3cm) mafiques à grain fin CL+ et BO+.							
		28.52-28.89: Tonalite SI+ recoupée de dykes mafiques (0.5-2cm) CL+ et fortement BO+ ainsi que par des veinules de QZ orientées selon la foliation (80° AC).	43561	28,52	29,02	0,50		0,038	
		28.89-28.99: Roche mafique à grain fin CL+ et BO+.							
		28.99-29.02: Veine de QZ orientée à 80° AC.							
		29.02-29.08: Tonalite recoupé par une veinule	43562	29,02	29,52	0,50		0,039	

JOURNAL DE SONDAGE AU DIAMANT

DE (m)	À (m)	DESCRIPTION LITHOLOGIQUE	ÉCHANTILLONNAGE ET ANALYSES						
			NO ÉCHAN.	DE (m)	À (m)	LARGEUR (m)	SULF. (%)	Au (ppm)	
								Au AA24	Au SCR21
		(0.5mm) de QZ.							
		29.08-29.22: Veine de QZ avec altération des épontes en SR; Tr de PY.							
		29.22-29.47: Tonalite fortement SI+; 1% sulfure; SR+.					1		
		29.47-29.48: Zone d'altération EP-CL-QZ-CB; 1% PY.					1		
		29.48-29.67: Tonalite SI+ et SR+ recoupée de nombreuses veines de QZ avec 1% PO.	43563	29,52	30,02	0,50	2	0,045	
		29.67-29.70: Intrusif mafique cisailé.							
		29.70-29.80: Tonalite SI+ et SR+; 2% sulfures (PY).					2		
		29.80-29.87: Veine de QZ orientée à 80° AC.							
		29.87-30.04: Tonalite SR+ et SI+; 2% sulfures (PY).					2		
		30.04-30.06: Zone d'altération EP-CL-QZ-CB; idem à 29.47-29.48.	43564	30,02	30,52	0,50	1	0,075	
		30.06-30.25: Veine de QZ translucide gris avec enveloppe de SR; zone d'altération; 2% PO-PY.					2		
		30.25-30.43: Tonalite à grain moyen; SI+ et SR+.							
		30.43-30.45: Veine de QZ±CL.							
		30.45-30.52: Tonalite à grain moyen.							
		30.52-30.55: Intrusif mafique CL+ et BO+.	43565	30,52	31,02	0,50		0,070	
		30.55-30.87: Tonalite à grain moyen	43006	31,02	31,52	0,50		0,142	
		30.87-30.99: Veine de QZ translucide; épontes SI+ et SR+; contact inf./sup. à environ 90° AC.	43007	31,52	32,02	0,50		0,033	
		30.99-31.39: Tonalite à grain moyen SI+.	43008	32,02	32,52	0,50		0,015	
		31.39-33.04: Roche mafique à grain fin à très fin; légèrement CB+; recoupé de fines veinules de QZ; foliation à 56° AC.	43009	32,52	33,02	0,50		0,010	
		33.04-36.74: Tonalite à grain moyen intersectée de dykes	43010	33,02	33,41	0,39		0,008	

JOURNAL DE SONDAGE AU DIAMANT

DE (m)	À (m)	DESCRIPTION LITHOLOGIQUE	ÉCHANTILLONNAGE ET ANALYSES						
			NO ÉCHAN.	DE (m)	À (m)	LARGEUR (m)	SULF. (%)	Au (ppm)	
								Au AA24	Au SCR21
		(<2cm) mafiques à grain fin CL+ et BO+ et de quelques veines (<15cm) de QZ.							
		33.51-33.73: Veine de QZ±CL orientée à 90° AC; <1% PY.	43566	33,41	33,77	0,36	<1	0,018	
		33.73-33.82: Zone SI+ et SR+.	43567	33,77	34,45	0,68		0,012	
		33.82-34.60: Tonalite à grain moyen; légèrement SI+ et SR+.							
		34.00: Veine (1.0cm) de QZ orientée à 20° AC.							
		34.30: Veine (0.5cm) de QZ orientée à 20° AC.							
		34.60-34.72: Veine de QZ±CL±PY orientée à 45° AC.	43568	34,45	34,81	0,36	TR	0,010	
		36,74-41.18: Intrusif mafique vert foncé; aphanitique à grain très fin; généralement massif; légèrement CB+; Tr de sulfures disséminés.	43011 43012	34,81 35,56	35,56 36,31	0,75 0,75		-0,005 -0,005	
		38.97: Veine (2 cm) de QZ; épontes BO+; Tr de sulfures.					TR		
		41.18-45.32: Tonalite à grain moyen; grossière foliation à 82° AC; légèrement SI+ et SR+.							
		41.18-41.25: Section plus SI+ et SR+; 1% PY dispersée selon la foliation					1		
		45.32-45.49: Intrusif mafique vert foncé à grain fin; légèrement CB+.							
		45.49-46.23: Tonalite à grain moyen; idem à 41.18-45.32.	43013	44,98	45,73	0,75		0,007	
		46.23-46.26: Veine de QZ orientée à 85° AC; épontes SI+ et SR; 1% PO-PY.	43569	45,73	46,23	0,50	1	0,141	
		46.26-46.34: Intrusif mafique vert foncé à grain fin;							

JOURNAL DE SONDAGE AU DIAMANT

DE (m)	À (m)	DESCRIPTION LITHOLOGIQUE	ÉCHANTILLONNAGE ET ANALYSES						
			NO ÉCHAN.	DE (m)	À (m)	LARGEUR (m)	SULF. (%)	Au (ppm)	
								Au AA24	Au SCR21
		légèrement CB+.							
		46.34-46.72: Veine de QZ±BO±CL avec 2% PY-PO; épontes SI+ et SR+; contacts inf./sup. à 85° AC.	43570	46,23	46,72	0,49	2	0,656	
		46.72-46.79: Tonalite SI+ et SR+.	43571	46,72	47,17	0,45		0,367	
		46.79-46.80: Veine de QZ.	43572 BLANC	*	*	*		<0.005	
		46.80-47.00: Tonalite SI+ et SR+; < 1% PO-PY.	43014	47,17	47,67	0,50	<1	0,019	
		47.00-47.04: Veine de QZ; épontes SI+ et SR+; 3% PY près de l'éponte inférieure.					3		
		47.04-47.17: Zone SI+ et SR+; 2-3% PY-PO.					2-3		
		47.17-57.98: Tonalite à grain moyen; légèrement SR+.							
		57.98-58.32: Roche mafique folié (70° AC) à grain très fin; contact sup. à 80° AC; contact inf. à 70° AC; moyennement CB+.							
		58.32-70.70: Tonalite à grain moyen; légèrement SI+; et localement EP+; foliation moyenne à grossière marquée par l'alignement des grains de BO à 70° AC;							
		59.80: Veine de QZ orientée à 32° AC.							
		58.43-63.44: GR localement présent et associé aux sections plus EP+.	43573	62,57	63,07	0,50		0,019	
		63.71-63.82: Roche mafique; présence de GR; 3% PO-PY; contacts selon la foliation (80° AC) de la tonalite.					3		
		66.93-67.10: Roche mafique à grain très fin; BO+ et CB+.							
		67.12-67.76: Roche mafique à grain très fin; BO+ et CB+.							
		68.50: Fracture orientée à 12° AC avec remplissage							



JOURNAL DE SONDAGE AU DIAMANT

DE (m)	À (m)	DESCRIPTION LITHOLOGIQUE	ÉCHANTILLONNAGE ET ANALYSES						
			NO ÉCHAN.	DE (m)	À (m)	LARGEUR (m)	SULF. (%)	Au (ppm)	
								Au AA24	Au SCR21
		de QZ-EP							
		Fin du sondage à 70.70. Tubage retiré.							



JOURNAL DE SONDAGE AU DIAMANT

PROPRIÉTÉ: AQUILON**No du sondage: AQU-04-02****Grille:****Station:****Ligne:****Coord. UTM (NAD 83)****Estant: 663 203****Nordant: 5 995 673****Élévation: 427 m****Titre minier: 3937 & 3948****Plongée: -60°****Azimuth: N150°****Profondeur: 70.64 m****Calibre: BTW****Entreposage: Propriété****Foré par: Forage Utika Inc.****Journal par: Roger Moar, géo****Débuté le: 13 septembre 2004****Terminé le: 14 septembre 2004****TESTS D'ORIENTATION (HCI)****PROFONDEUR PLONGÉE AZIMUTH**

JOURNAL DE SONDAGE AU DIAMANT

DE (m)	À (m)	DESCRIPTION LITHOLOGIQUE	ÉCHANTILLONNAGE ET ANALYSES						
			NO ÉCHAN.	DE (m)	À (m)	LARGEUR (m)	SULF. (%)	Au (ppm)	
								Au AA24	Au- SCR21
0.00	0.61	TUBAGE							
0.00	70.64	<p>TONALITE</p> <p>Roche de couleur gris clair et blanchâtre; holocristalline; grossièrement foliée (60° AC); phanéritique à grain moyen (2mm); très homogène; composée de 10-12 % de fine BO; roche moyennement fracturée avec débit variant de 40 à 120 cm; fractures orientées à 40° (opposé) et à 72° AC (// foliation). Intersectée par roches intrusives mafiques, à grain très fin à moyen, et des veines de QZ d'épaisseur variable (centimétrique et décimétrique).</p> <p>0.00- 4.56: Tonalite à grain moyen.</p> <p>4.56-5.39: Roche mafique à grain moyen composé d'AM altéré en CL et de PG. Foliation à 58° AC</p> <p style="padding-left: 40px;">4.56-4.75: Zone de cisaillement; Roche fortement roche CL+ et BO+. Foliation à 50° AC.</p> <p style="padding-left: 40px;">5.15-5.39: idem à 4.56-4.75.</p> <p>5.39-5.99: Tonalite à grain moyen; idem à précédent.</p> <p>5.99-6.53: Roche mafique à grain très fin de couleur vert foncé; très légèrement CB+; finement foliée; Tr PY.</p> <p>6.53-6.61: Roche mafique à grain moyen; Tr PO; idem à</p>							



JOURNAL DE SONDAGE AU DIAMANT

DE (m)	À (m)	DESCRIPTION LITHOLOGIQUE	ÉCHANTILLONNAGE ET ANALYSES						
			NO ÉCHAN.	DE (m)	À (m)	LARGEUR (m)	SULF. (%)	Au (ppm)	
								Au AA24	Au- SCR21
		<p>4.56-5.39.</p> <p>6.61-6.69: Roche mafique à grain très fin (0.5mm); idem à 5.99-6.53; contact inf. à 50° AC.</p> <p>6.69-6.80: Veine de QZ; contact sup. à 50° AC; contact inf. à 45° AC.</p> <p>6.80-8.70: Roche mafique à grain très fin (0.5mm); idem à 5.99-6.53.</p> <p style="padding-left: 20px;">8.26-8.70: Zone de cisaillement; roche broyée et fortement CL+.</p> <p>8.70-9.39: Tonalite à grain moyen; idem à précédent.</p> <p>9.39-9.52: Roche mafique à grain très fin; massif; idem à 5.99-6.53; contact sup. à 90° AC; contact inf. à 70° AC.</p> <p>9.52-10.19: Tonalite à grain moyen; idem à précédent.</p> <p>10.19-10.31: Roche mafique gris très foncé, à grain fin, composé de PG et minéraux mafique partiellement BO+; contacts inf./sup. à 75° AC.</p> <p>10.31-11.97: Tonalite à grain moyen avec enrichissement en FP K et altération des PG en EP.</p> <p>11.97-12.02: Roche mafique à grain fin ; CL+ et BO+.</p>							

JOURNAL DE SONDAGE AU DIAMANT

DE (m)	À (m)	DESCRIPTION LITHOLOGIQUE	ÉCHANTILLONNAGE ET ANALYSES						
			NO ÉCHAN.	DE (m)	À (m)	LARGEUR (m)	SULF. (%)	Au (ppm)	
								Au AA24	Au- SCR21
		12.02-12.05: Tonalite à grain moyen.							
		12.05-12.10: Roche mafique à grain fin CL+ et BO+.							
		12.10-12.41: Tonalite à grain moyen.							
		12.41-12.72: Roche mafique à grain très fin; contact sup. à 60° AC, contact inf. à 60° AC.							
		12.72-12.76: Tonalite à grain moyen.							
		12.76-13.81: Roche mafique à grain très fin; intersecté de nombreuses veinules (<3mm) de QZ-CB orientées à 75° AC. Présence de quelques phénocristaux (0.5-1cm) de QZ.	43574	12,93	13,43	0,50		0,021	
		13.14-13.21: Zone d'altération en QZ-CB-CL; 5% PO-PY-CP.							
		13.81-14.18: Roche mafique à grain moyen; CL+ et BO+.							
		14.18-14.29: Roche mafique à grain très fin; transition avec l'unité supérieur; présence de fluorite? (minéral verdâtre, cubique, clivage à 90°, dureté < 5.5) près du contact inf.							
		14.29-14.78: Tonalite à grain moyen.							
		14.78-15.29: Roche mafique à grain fin dont les minéraux mafiques sont altérés en BO; contact sup./inf. net à 60° AC; fractures à 18° AC.							

JOURNAL DE SONDAGE AU DIAMANT

DE (m)	À (m)	DESCRIPTION LITHOLOGIQUE	ÉCHANTILLONNAGE ET ANALYSES						
			NO ÉCHAN.	DE (m)	À (m)	LARGEUR (m)	SULF. (%)	Au (ppm)	
								Au AA24	Au- SCR21
		15.29-16.15: Tonalite à grain moyen localement SR+; schistosité orientée à 80° AC.							
		16.15-16.28: Veine de QZ ; BO en bordure des épontes.							
		16.28-16.35: Roche mafique verdâtre à grain fin; BO+.							
		16.35-16.68: Tonalite à grain moyen.							
		16.68-16.79: Roche mafique à grain très fin ; contact sup./inf. net à 48° AC.							
		16.79-17.34: Tonalite à grain moyen partiellement SI+.							
		17.34-17.66: Roche mafique à grain très fin; CL+ et BO+.	43575	17,32	18,02	0,70		0,023	
		17.34-17.42: Veine de QZ enfumé; CL±CB; 1% PO-PY-CP.							
		17.61-17.66: Idem à 17.34-17.42; 2% PO-PY-CP.							
		17.66-18.02: Tonalite à grain moyen recoupée par des dykes (<0.5cm) mafiques à grain très fin avec PY-PO dispersées.							
		18.02-20.47: Roche mafique à grain très fin; localement BO+ et intersectée de veines/veinules de QZ avec CB sous forme de remplissage de fissures.	43576	18,02	18,52	0,50		0,025	
		18.17: Veine (1cm) de QZ enfumé ±CL orientée à 76° AC.	43577	18,52	19,22	0,70		0,005	

JOURNAL DE SONDAGE AU DIAMANT

DE (m)	À (m)	DESCRIPTION LITHOLOGIQUE	ÉCHANTILLONNAGE ET ANALYSES						
			NO ÉCHAN.	DE (m)	À (m)	LARGEUR (m)	SULF. (%)	Au (ppm)	
								Au AA24	Au- SCR21
		<p>18.20: Veine (1.5cm) de QZ±CL orientée à 76° AC.</p> <p>18.24-18.33: Veine de QZ-CL avec altération des épontes en SR-CL; Tr PY disséminée près des épontes.</p> <p>18.40: Veine (1cm) de QZ avec Tr de PY-PO.</p> <p>19.20: Veinule (0.5cm) de QZ avec Tr de sulfures dispersée près des épontes.</p> <p>19.85: Veinule de QZ orientée 90° AC avec Tr de PY-PO.</p> <p>20.19-20.47: Veinules (<3mm) de QZ orientées // foliation des roches mafiques (85° AC).</p> <p>20.47-21.07: Tonalite à grain moyen; Tr de sulfures disséminés.</p> <p>21.07-21.09: Roche mafique à grain fin; contact inf./sup. net à 75° AC.</p> <p>21.09-21.38: Tonalite à grain moyen avec Tr de sulfures disséminés.</p> <p>21.38-21.68: Roche mafique à grain très fin; ±BO+; contact inf./sup. net à 80° AC.</p> <p>21.68-23.75: Tonalite à grain moyen recoupée par de rares veinules (<5mm) de QZ orientées // à la foliation.</p> <p>23.30: Fracture à 5° AC.</p> <p>23.75-25.11: Zone altération avec veines de QZ aurifère. Section caractérisée par une altération importante en SR, QZ</p>							
			43016	21,80	22,30	0,50		0,015	
			43015	22,30	22,80	0,50		0,021	
			43578	22,80	23,30	0,50		0,039	
			43579	23,30	23,80	0,50		0,080	

JOURNAL DE SONDAGE AU DIAMANT

DE (m)	À (m)	DESCRIPTION LITHOLOGIQUE	ÉCHANTILLONNAGE ET ANALYSES						
			NO ÉCHAN.	DE (m)	À (m)	LARGEUR (m)	SULF. (%)	Au (ppm)	
								Au AA24	Au- SCR21
		et BO ferrifère (teinte rougeâtre) ; cette section présente un aspect rubané avec foliation orienté à 85° AC; 2-3 % de sulfures (PY-PO) dispersés ; intersecté de plusieurs veines d'épaisseur centimétrique à pluricentimétrique de QZ.							
		23.79-23.84: Veine de QZ±BO±CL±EP orientée à 57° AC ; <1% PO-PY.							
		24.03: Veinule (5mm) de QZ orientée à 85° AC.							
		24.13-24.14: Veine de QZ orientée à 85° AC.							
		24.20-24.25: Veine (1cm) de QZ avec <1% PO-PY et orientée à 80° AC; recoupée par une seconde veine de QZ orientée à 30° AC ; <1% PO±PY.	43581	23,80	24,30	0,50		1,180	
		24.30-24.60: Veines de QZ avec environ 1% de PO-PY séparée par des niveaux (1-2 cm) fortement SR+ et BO+ et présentant 1% PO-PY. Ces veines de QZ présentent un aspect lenticulaire dont le grand axe est orienté perpendiculaire à AC.	43582	24,30	24,60	0,30		*	2,67
		24.60-24.73: Roche de roche mafique à grain fin (0.5mm); altération en BO. Contact sup. net à - 90° AC; contact inf. net à 50° AC; Tr de sulfures disséminés.	43583	24,60	24,73	0,13		0,197	
		24.73-24.76: Veine de QZ-SR orientée à 65° AC avec Tr de sulfures dispersés.	43584	24,73	24,93	0,20		*	111,5
		24.76-24.81: Zone d'altération en SR-QZ-BO ; 2% PO-PY.							
		24.81-24.93: Veine de QZ translucide à gris très clair avec 3% PO±CP près du contact supérieur de la veine. Or visible sous forme de points d'environ 0.25mm et de points plus grossiers dont la taille varie de 1X1mm à 2mmX1mm; 8 points (0.25mm)							

JOURNAL DE SONDAGE AU DIAMANT

DE (m)	À (m)	DESCRIPTION LITHOLOGIQUE	ÉCHANTILLONNAGE ET ANALYSES						
			NO ÉCHAN.	DE (m)	À (m)	LARGEUR (m)	SULF. (%)	Au (ppm)	
								Au AA24	Au- SCR21
		d'or visible ont été compté sur la surface de la carotte ; contact sup. variant de 45° à 70° AC; contact inf. net à 70° AC.							
		24.93-24.98: Zone SI+ et BO+; environ 1% PO.	43585	24,93	25,43	0,50			0,3
		24.93-25.00: Veine de QZ blanchâtre et enfumée ±BO orientée à 80° AC ; Tr de PO.	43586	25,43	25,93	0,50		0,058	
		25.00-25.11: Zone SI+ et BO+.	43017	25,93	26,43	0,50		0,01	
		25.11-25.55: Roche mafique vert foncé à grain très fin, localement altéré.	43018	26,43	26,93	0,50		-0,005	
		25.11-25.12: Section intensément SR+							
		25.12-25.55: Roche mafique à grain très fin avec quelques sections (<1cm) BO+.							
		25.55-25.66: Tonalite SI+ et ±BO+ (BO rougeâtre) avec schistosité principale à 80° AC; schistosité secondaire à 50° AC.							
		25.66-25.82: Roche mafique à grain très fin BO+; foliation finement développée à 77° AC.							
		25.82-27.63: Tonalite à grain moyen (2mm) avec grossière foliation orientée à 65° AC ; très homogène et très peu fracturée.							
		26.21-26.23: Roche mafique à grain très fin en contact avec une veine de QZ (1cm) orientée à 82° AC.							
		27.63-27.70: Roche mafique à grain très fin; BO+; contact							



JOURNAL DE SONDAGE AU DIAMANT

DE (m)	À (m)	DESCRIPTION LITHOLOGIQUE	ÉCHANTILLONNAGE ET ANALYSES						
			NO ÉCHAN.	DE (m)	À (m)	LARGEUR (m)	SULF. (%)	Au (ppm)	
								Au AA24	Au- SCR21
		<p>sup./inf. à 88° AC.</p> <p>27.70-27.95: Tonalite à grain moyen.</p> <p>27.95-28.00: Roche mafique à grain fin ; contacts fracturés.</p> <p>28.00-28.88: Tonalite à grain moyen; grossière foliation à 68° AC.</p> <p>28.88-28.92: Roche mafique à grain fin; contacts sup./inf. à 70° AC orientés // foliation de la tonalite.</p> <p>28.92-29.31: Tonalite SI+, de teinte blanchâtre recoupée par des dykes (<1cm) mafiques orientés // foliation et par quelques veines (<1 cm) de QZ allongées selon la schistosité; Tr de PY associé aux dykes mafiques.</p> <p>29.31-31.38: Tonalite à grain moyen grossièrement foliée.</p> <p>31.38-31.56: Roche mafique à grain très fin, partiellement BO+; contact sup./inf. à 82° AC.</p> <p>31.56-32.67: Tonalite à grain moyen grossière ; foliation à 80° AC.</p> <p>32.67-32.93: Roche mafique à grain très fin; contact inf./sup. à 87° AC; ±BO; ±CB+; composé de 55% AM et de 45% de PG.</p>							



JOURNAL DE SONDAGE AU DIAMANT

DE (m)	À (m)	DESCRIPTION LITHOLOGIQUE	ÉCHANTILLONNAGE ET ANALYSES						
			NO ÉCHAN.	DE (m)	À (m)	LARGEUR (m)	SULF. (%)	Au (ppm)	
								Au AA24	Au- SCR21
		<p>32.93-38.30: Tonalite à grain moyen grossièrement foliée. SR+. 37 m: foliation orientée à 82° AC.</p> <p>38.30-43.27: Roche mafique à grain moyen; vert foncé à noir; composé à 45% de PG de couleur claire partiellement CB+, SR+ et EP+, et de minéraux mafiques (55%) très fortement BO+ et CL+ ; très fracturée avec débit variant de 10-25 cm ; fractures orientées à 49° AC ; contact sup.à 78° AC; contact inf. à 52° AC avec CB+ sur environ 20cm.</p> <p>42.73-42.89: Roche mafique tardif à grain fin; idem à précédent.</p> <p>43.25-43.27: Tonalite à grain moyen.</p> <p>43.27-44.25: Roche mafique; idem à 38.30-43.27; contact sup. à 63° AC; contact inf. ondulant mais généralement orienté à 5° AC.</p> <p>44.25-45.42: Tonalite à grain moyen.</p> <p>44.62-44.64: Présence de filonnets (0.5mm) de PO-PY orientés // foliation (70° AC).</p> <p>45.42-45.64: Roche mafique à grain fin (0.5mm) BO+; contacts inf./sup. à 27° AC.</p> <p>45.64-46.58: Tonalite à grain moyen.</p> <p>46.58-46.60: Roche mafique à grain moyen BO+; contact replissés mais généralement orienté à 48° AC.</p>							
			43587	44,38	44,88	0,50		0,008	



JOURNAL DE SONDAGE AU DIAMANT

DE (m)	À (m)	DESCRIPTION LITHOLOGIQUE	ÉCHANTILLONNAGE ET ANALYSES						
			NO ÉCHAN.	DE (m)	À (m)	LARGEUR (m)	SULF. (%)	Au (ppm)	
								Au AA24	Au- SCR21
		<p>46.60-55.46: Tonalite à grain moyen; Tr PO dispersé. 50.00 : Foliation orientée à 75° AC. 55.00 : Foliation orientée à 75° AC.</p> <p>55.46-55.88: Roche mafique à grain fin vert foncé; localement BO+; présence de FP K.</p> <p>55.58-57.06: Tonalite à grain moyen avec schistosité orientée à 75° AC.</p> <p>57.06-57.60: Roche mafique à grain fin; BO+ et légèrement CB+; contacts net à 30° AC (opposé à schistosité de la tonalite).</p> <p>57.60-58.80: Tonalite à grain moyen. 57.90: Fracture (2mm) orientée à 35° AC (opposé foliation) avec remplissage de QZ-CL 58.00: Fracture orientée à 35° AC avec placage de CL.</p> <p>58.80-59.00: Roche mafique à grain fin vert foncé; BO+ et légèrement CB+; contact sup. ondulant à 8° AC; contact inf. ondulant à 30° AC; contacts opposé à la foliation.</p> <p>59.00-59.11: Tonalite à grain moyen partiellement SI+.</p> <p>59.11-59.15: Tonalite SI+.</p> <p>59.15-59.17: Veine de QZ-CL orientée selon la foliation (75°</p>							

JOURNAL DE SONDAGE AU DIAMANT

DE (m)	À (m)	DESCRIPTION LITHOLOGIQUE	ÉCHANTILLONNAGE ET ANALYSES						
			NO ÉCHAN.	DE (m)	À (m)	LARGEUR (m)	SULF. (%)	Au (ppm)	
								Au AA24	Au- SCR21
		AC); Tr PO-PY. 59.17-59.18: Tonalite SI+. 59.18-59.34: Tonalite à grain moyen. 59.34-59.35: Roche mafique à grain fin orienté // foliation; tonalite ; légèrement CB+. 59.35-59.75: Tonalite à grain moyen. 59.75-59.77: Roche mafique ; idem à 59.34-59.35. 59.77-60.45: Tonalite à grain moyen. 60.00 : foliation orientée à 75° AC. 60.45-60.47: Roche mafique ; idem à 59.34-59.35. 60.47-64.54: Tonalite à grain moyen localement SI+ et epidotisée; <1% de FP K de couleur rose foncé à rougeâtre pâle. 64.54-64.58: Roche mafique ; idem à 59.34-59.35; contacts BO+ et orientés // foliation de la tonalite. 64.58-65.37: Tonalite à grain moyen ; idem à 60.47-64.54. 43588 64,71 65,21 0,50 0,027 65.00 : Foliation orientée à 75° AC. 65.37-65.45: Veine de QZ±EP±CL; épontes fortement SI+, 43589 65,21 65,71 0,50 0,033 SR+ et ±CL+; 5% PO-PY concentrée près de l'éponte sup.							



JOURNAL DE SONDAGE AU DIAMANT

DE (m)	À (m)	DESCRIPTION LITHOLOGIQUE	ÉCHANTILLONNAGE ET ANALYSES						
			NO ÉCHAN.	DE (m)	À (m)	LARGEUR (m)	SULF. (%)	Au (ppm)	
								Au AA24	Au- SCR21
		sous forme de remplissage de fractures et d'amas de 15mm x 15mm; contact sup. à 75° AC // foliation; contact inf. à 85° AC // foliation.							
		65.45-68.21: Tonalite à grain moyen; localement plus SI+ et EP+; présence de filonnets de sulfures orientés // foliation. 68.16-68.21: Veine de QZ-EP orientée à 60° AC.	43591	65,71	66,21	0,50		0,012	
		68.21-68.31: Roche mafique à grain fin; BO+ et très faiblement CB+; contacts orientés à 65° AC (opposé foliation).							
		68.31-69.15: Tonalite à grain moyen; Tr de PY dispersée.							
		69.15-69.18: Roche mafique; idem à 68.21-69.31; contacts orientés à 55° AC.							
		69.18-70.64: Tonalite à grain moyen; Tr de PY dispersée. 70.00: Foliation orientée à 75° AC.							
		70.64: Fin du sondage. Tubage retiré.							



JOURNAL DE SONDAGE AU DIAMANT

PROPRIÉTÉ: AQUILON

No du sondage: AQU-04-03

Grille:

Station:

Ligne:

Coord. UTM (NAD 83)

Estant: 663 180

Nordant: 5 995 633

Élévation: 424 m

Titre minier: 3937

Plongée: -47°

Azimuth: N150°

Profondeur: 173.17 m

Calibre: BTW

Entreposage: Propriété

Foré par: Forage Utika Inc.

Journal par: Roger Moar, géo

Débuté le: 14 septembre 2004

Terminé le: 17 septembre 2004

TESTS D'ORIENTATION (HCI)

PROFONDEUR	PLONGÉE	AZIMUTH
-------------------	----------------	----------------

173.17 m	-41°	
----------	------	--

JOURNAL DE SONDAGE AU DIAMANT

DE (m)	À (m)	DESCRIPTION LITHOLOGIQUE	ÉCHANTILLONNAGE ET ANALYSES						
			NO ÉCHAN.	DE (m)	À (m)	LARGEUR (m)	SULF. (%)	Au (ppm)	
								Au AA24	Au SCR21
0.00	3.00	Tubage							
3.00	92.81	<p>TONALITE</p> <p>Roche de couleur gris clair à gris moyen; grossièrement foliée; à grain moyen; texture équigranulaire; très homogène; composé de 75-80% de PG suédrique, 15-20 % de QZ anédrique de 3-5% de fines BO alignée selon la foliation; roche moyennement fracturée avec débit variant de 25-90 cm; fractures orientées à 47°AC (opposé foliation) et 35° (opposé foliation); intersecté de nombreux dykes et/ou filon-couches mafiques à grain très fin à moyen, AM+, BO+ et légèrement CB+; Tr de PY finement dispersée.</p>							
		3.00-3.08: Roche mafique vert foncé à grain très fin; minéraux mafiques BO+; contact inf. net orienté à 85° AC.							
		3.08-3.14: Tonalite à grain moyen.							
		3.14-3.42: Roche mafique; idem à 3.00-3.08; contact inf. net orienté à 60° AC (opposé foliation de la tonalite).							
		3.42-4.14: Tonalite; foliation orientée à 80° AC.							
		4.14-4.44: Roche mafique à grain très fin; CL+, BO+ et très légèrement CB+; contact sup./inf. orienté à 55° AC.							
		4.44-5.42: Tonalite à grain moyen.							

JOURNAL DE SONDAGE AU DIAMANT

DE (m)	À (m)	DESCRIPTION LITHOLOGIQUE	ÉCHANTILLONNAGE ET ANALYSES						
			NO ÉCHAN.	DE (m)	À (m)	LARGEUR (m)	SULF. (%)	Au (ppm)	
								Au AA24	Au SCR21
		4.78: Veine (1 cm) de QZ gris clair orientée à 30° AC (opposé) avec amas de PO (3mm X 4 mm).							
		5.42-5.66: Roche mafique à grain très fin; CL+, BO+ et CB+; contact sup. ondulant; contact inf. orienté à 85° AC.	43592	5,48	6,08	0,60		0,062	
		5.66-5.83: Tonalite recoupée par une veinule (5mm) de QZ gris orientée orienté à 40° AC (opposé).							
		5.83-6.09: Roche mafique; idem à précédent.							
		6.09-6.26: Zone de cisaillement avec SR, BO rougeâtre (ferrifère) et QZ; 1% PY.	43593	6,08	7,01	0,93	1	0,307	
		6.26-6.38: Roche mafique à grain très fin; CL+ et BO+.					1		
		6.38-6.50: Veine de QZ séparée par 2 bandes (1cm) riche en SR±CL±BO; 1% PY.					1		
		6.50-6.56: Roche mafique altéré (SR-BO) Tr sulfures dispersés selon foliation (78° AC).					TR		
		6.56-6.62: 6 veinules de QZ (3mm-10 mm) séparées par des enveloppes de BO-SR; Tr de sulfure; orientées 80° AC.							
		6.62-6.69: Roche mafique fortement BO+ et CL+.							
		6.69-6.87: Veines de QZ (<7mm) cisillées et intercalées entre des niveaux fortement BO+, CL+ et CB+.							

JOURNAL DE SONDAGE AU DIAMANT

DE (m)	À (m)	DESCRIPTION LITHOLOGIQUE	ÉCHANTILLONNAGE ET ANALYSES							
			NO ÉCHAN.	DE (m)	À (m)	LARGEUR (m)	SULF. (%)	Au (ppm)		
								Au AA24	Au SCR21	
		6.87-6.92: Veine de QZ-CL orientée à 85° AC; Tr de CB; PY sous forme d'amas millimétriques près des épontes.						TR		
		6.92-7.00: Roche mafique CL+ et fortement BO+; contact inf. net orienté à 80° AC; 1% PY disséminée.						1		
		7.00-7.93: Tonalite à grain moyen; foliation orientée à 58° AC.	43594	7,01	7,61	0,60			0,033	
		7.93-10.46: Roche mafique vert foncé à grain fin; moyennement fracturé; fractures orientées orienté à 20° et 40° AC; aspect massif. Quelques rares veines (0.5cm) de QZ orienté à 50° AC; contact inf. net orienté à 80° AC.								
		10.46-11.80: Tonalite à grain moyen; fractures orientées à 20° AC avec remplissage d'EP.								
		11.80-13.00: Roche mafique à grain fin (1mm).								
		13.00-13.70: Tonalite; idem à 10.46-11.80.								
		13.70-14.12: Roche mafique à grain très fin; contact orientés à 60° AC.								
		14.12-14.35: Tonalite à grain moyen; idem orienté à 10.46-11.80.								
		14.35-14.41: Roche mafique à grain fin; contact sup./inf. orienté à 67° AC.								

JOURNAL DE SONDAGE AU DIAMANT

DE (m)	À (m)	DESCRIPTION LITHOLOGIQUE	ÉCHANTILLONNAGE ET ANALYSES						
			NO ÉCHAN.	DE (m)	À (m)	LARGEUR (m)	SULF. (%)	Au (ppm)	
								Au AA24	Au SCR21
		14.41-18.56: Tonalite à grain moyen; grossière foliation orientée à 80° AC							
		17.04-17.08: Veine de QZ±CL orientée à 80° AC; épontes fortement SI+ et SR+; Tr de PY.	43595	16,82	17,32	0,50	TR	0,197	
		18.18: Veine (5mm) de QZ gris orientée à 45° AC.	43596	17,32	17,82	0,50		0,017	
		18.56-18.69: Roche mafique à grain fin; BO+ et très faiblement CB+; contacts orienté à 80° AC.	43597	17,82	18,32	0,50		0,038	
		18.69-18.73: Tonalite à grain moyen.							
		18.73-18.82: Zone d'altération en SR et QZ; Tr sulfure disséminée.	43598	18,32	18,82	0,50	TR	0,067	
		18.82-19.17: Veine de QZ translucide et gris clair; Tr de PO; présence de SR; contact sup. fracturé.; contact inf. orienté à 65° AC; PO formant des amas plurimillimétriques; 9 points or visible dont 2 mesurant de 1 mm X 1mm et 2 mm X 1mm.	43599	18,82	19,17	0,35	TR Au visible	*	53,7
		19.17-19.22: Zone altération QZ-SR; idem à 18.73-18.82;	43600	19,17	19,67	0,50		2,200	
		19.22-19.40: Tonalite; idem à 18.69-18.73.							
		19.40-19.51: Zone altération; idem à 18.73-18.82.							
		19.51-19.58: Veine de QZ translucide et blanchâtre; Tr de PY; contacts orientés à 65° AC.							

JOURNAL DE SONDAGE AU DIAMANT

DE (m)	À (m)	DESCRIPTION LITHOLOGIQUE	ÉCHANTILLONNAGE ET ANALYSES						
			NO ÉCHAN.	DE (m)	À (m)	LARGEUR (m)	SULF. (%)	Au (ppm)	
								Au AA24	Au SCR21
		19.58-19.70: Tonalite à grain moyen intersectée par trois veines de QZ (3-5mm) orientées $\pm 90^\circ$ AC.							
		19.70-22.11: Tonalite à grain moyen.	43601	19,67	20,17	0,50		0,113	
		21.67: Veinule (0.5cm) de QZ gris orientée à 80° AC; Tr de PO.	43602	20,17	20,67	0,50		0,330	
		21.58-21.68: Zone SI+ avec altération en EP; veinules de QZ de forme lenticulaire.	43603	20,67	21,17	0,50		0,034	
		22.07-22.11: Zone SI+ avec altération en SR.	43604	21,17	22,11	0,94		0,093	
		22.11-22.32: Veine de QZ translucide et gris clair; séparé par 2 niveaux (0.5-1cm) SI+ et fortement SR+; sulfures (PO-PY) sous forme de disséminations ou de filonnets allongés selon la foliation ($\pm 90^\circ$ AC); Tr de fine PY orientée le long des plans de fractures de la veine; contact sup. orienté à 85° AC; contact inf. orienté à 75° AC	43605	22,11	22,32	0,21	TR Au visible	*	108
		22.17: 10 points d'or visible et un plus grossier (1.5 X 0.5 mm) sur la surface de la carotte.							
		22.32-22.32: Zone SI+ avec altération en SR.	43606	22,32	22,96	0,64		0,014	
		22.32-22.96: Tonalite à grain moyen.							
		22.96-23.15: Veine de QZ gris clair et blanchâtre; pas d'altération significative près des épontes; pas de minéralisation apparente; contact sup. orienté à 35° AC; contact inf. orienté à 37° AC.	43607	22,96	23,15	0,19		*	2,7
		23.15-24.37: Tonalite à grain moyen.	43608	23,15	23,65	0,50		0,034	

JOURNAL DE SONDAGE AU DIAMANT

DE (m)	À (m)	DESCRIPTION LITHOLOGIQUE	ÉCHANTILLONNAGE ET ANALYSES						
			NO ÉCHAN.	DE (m)	À (m)	LARGEUR (m)	SULF. (%)	Au (ppm)	
								Au AA24	Au SCR21
			43609 43610 Blanc 43611 Standard	23,65	24,15	0,50		0,008 -0,005 1,320	
		24.37-24.39: Veine de QZ-CL orienté selon la foliation (80° AC)	43612	24,15	24,65	0,50	TR	0,025	
		24.39-24.47: Tonalite à grain moyen.	43613	24,65	25,15	0,50		0,020	
		24.47-24.49: Veine de QZ-CL; Tr de PY près des épontes.	43614	25,15	25,65	0,50		0,038	
		24.49-26.49: Tonalite à grain moyen; localement EP+.	43615	25,65	26,49	0,84		0,005	
		26.49-28.14: Roche mafique à grain très fin; contact sup. BO+, CL+ et très faiblement CB+; Tr de sulfures finement disséminés; contact sup. net orienté à 85° AC; contact inf. net orienté à 87° AC.	43616 43617 43618	26,49 26,99 27,49	26,99 27,49 28,14	0,50 0,50 0,65	TR TR TR	0,104 0,032 0,040	
		26.84-26.88: Zone d'altération en CL-EP-CB avec Veine de QZ orientée ±90° AC; Tr de PY							
		28.14-35.50: Tonalite à grain moyen; très peu fracturé (35° AC) (opposé foliation), 65° (opposé foliation) et 45° AC (opposé); grossièrement foliée.							
		30.00: Foliation orientée à 70° AC.							
		28.27-28.32: Veine de QZ avec enveloppe de SR (1cm); 1% PO-PY-CP sous forme d'amas plurimillimétriques ou de remplissage de fractures.	43619 43620	28,14 28,64	28,64 29,14	0,50 0,50	1	0,005 0,008	
		33.19-33.28: Veine de QZ gris clair formant une lentille dont le grand axe est allongé perpendiculairement à AC.	43621 43622 43623	32,49 32,99 33,49	32,99 33,49 33,99	0,50 0,50 0,50		0,009 0,043 0,005	



JOURNAL DE SONDAGE AU DIAMANT

DE (m)	À (m)	DESCRIPTION LITHOLOGIQUE	ÉCHANTILLONNAGE ET ANALYSES						
			NO ÉCHAN.	DE (m)	À (m)	LARGEUR (m)	SULF. (%)	Au (ppm)	
								Au AA24	Au SCR21
		35.50-35.57: Roche mafique à grain moyen (1mm) orienté à 82° AC (parallèlement à la foliation de la tonalite).							
		37.59-37.71: Roche mafique à grain moyen (1mm) orienté à 80° AC; légèrement BO+.							
		37.71-41.48: Tonalite à grain moyen; peu fracturée avec débit variant de 50 à 100m; fractures orientées à 58° AC (opposé foliation); Tr de sulfures disséminés; intersecté de quelques veines de QZ translucide et gris sans altération significative des épontes; présence de bandes centimétriques à pluricentimétriques de couleur plus claires avec présence de PG de couleur blanchâtre.							
		38.30: Veine (1-2cm) de QZ gris orientée à 30° AC.							
		38.46: Veinule (0.5 cm) de QZ gris orientée à 50° AC.							
		41.48-41.56: Veine de QZ de forme lenticulaire dont le grand axe est allongé ±90° AC; encaissant fortement CL+ et BO+ et CB+; 1% PY.	43624	41,30	41,80	0,50	1	0,006	
		41.56-42.05: Roche dioritique à grain très fin de couleur gris verdâtre (peu de QZ).							
		42.05-43.29: Tonalite à grain moyen.							
		43.29-43.48: Veine de QZ gris clair et enfumé ±CL avec Tr de PY.	43625	43,16	43,56	0,40	TR	0,005	

JOURNAL DE SONDAGE AU DIAMANT

DE (m)	À (m)	DESCRIPTION LITHOLOGIQUE	ÉCHANTILLONNAGE ET ANALYSES						
			NO ÉCHAN.	DE (m)	À (m)	LARGEUR (m)	SULF. (%)	Au (ppm)	
								Au AA24	Au SCR21
		43.48-47.75: Tonalite à grain moyen avec bandes plus blanchâtres enrichies en FP (PG).							
		45.00: foliation orientée à 80° AC.							
		47.75-49.30: Présence de GR sous forme de grain (1 mm) individuel ou formant des amas millimétriques à plurimillimétriques.							
		49.30-49.92: Tonalite à grain moyen.							
		49.92-49.99: Veine de QZ-CB±CL avec altération des épontes en SR.	43626	49,71	50,21	0,50		0,022	
		49.99-56.63: Tonalite à grain moyen.							
		50.00: Foliation orientée à 75° AC.							
		53.78: Veine (1cm) de QZ orienté à 80° AC.							
		53.85: Veine (5mm) de QZ orienté à 55° AC.							
		54.95: Veine (2cm) de QZ de forme lenticulaire orientée selon la foliation (88° AC).							
		55.67: Idem à 54.95.							
		56.63-61.70: Tonalite à grain moyen; SI+.							
		61.70-64.20: Zone d'altération; SI+ importante accompagnée d'une EP+; présence de filonnets de sulfure (PO-PY).	43627	61,70	62,70	1,00		0,007	
			43628	62,70	63,70	1,00		0,801	
			43629	63,70	64,20	0,50		0,060	
			43630 Blanc	*	*	*		-0,005	
		64.20-65.10: Tonalite à grain moyen; SI+.	43631	64,20	65,10	0,90		0,051	

JOURNAL DE SONDAGE AU DIAMANT

DE (m)	À (m)	DESCRIPTION LITHOLOGIQUE	ÉCHANTILLONNAGE ET ANALYSES						
			NO ÉCHAN.	DE (m)	À (m)	LARGEUR (m)	SULF. (%)	Au (ppm)	
								Au AA24	Au SCR21
		65.10-65.65: Roche mafique à grain fin légèrement CB+.							
		65.65-67.25: Tonalite à grain moyen; SI+.							
		67.25-71.63: Tonalite à grain moyen; localement SI+ et épidotisée							
		71.63-71.75: Aplite (FP K-EP-CL); présence de filonnets de sulfures.							
		71.75-72.75: Roche mafique à grain très fin localement BO+ et CB+.							
		72.75-74.11: Tonalite à grain moyen; SI+ avec allongement des grains de QZ-FP selon la foliation (85° AC).	43632	73,90	74,40	0,50		0,015	
		74.11-74.83: Roche mafique vert foncé, à grain très fin; composé d'AM-PG; AM+; Tr de PY; localement BO+.					TR		
		74.63-74.65: Veine de QZ orientée orienté à 40° AC; épontes BO+; 74.82: Veine (5mm) orientée à 30° AC.	43633	74,40	74,90	0,50		0,016	
		74.83-75.17: Tonalite à grain moyen; idem à 72.75-74.11.	43634	74,90	75,40	0,50		0,005	
		75.17-75.39: Roche mafique à grain très fin; schistosité orientée à ± 90° AC; contact sup. orienté à 50°AC (opposé) contact inf. orienté à 50° AC (opposé).							
		75.39-75.46: Tonalite à grain moyen SI+.	43635	75,40	75,90	0,50		0,007	

JOURNAL DE SONDAGE AU DIAMANT

DE (m)	À (m)	DESCRIPTION LITHOLOGIQUE	ÉCHANTILLONNAGE ET ANALYSES						
			NO ÉCHAN.	DE (m)	À (m)	LARGEUR (m)	SULF. (%)	Au (ppm)	
								Au AA24	Au SCR21
		75.46-75.55: Roche mafique à grain très fin; contact sup. orienté à 50° AC; contact inf. orienté à 73° AC (opposé).							
		75.55-75.74: Tonalite à grain moyen SI+.							
		75.74-75.78: Roche mafique à grain fin; contact sup./inf. orienté à 43° AC (opposé).							
		75.78-75.80: Tonalite à grain moyen SI+.							
		75.80-76.35: Roche mafique à grain très fin passant graduellement à une roche dioritique à grain moyen (PG-AM-BO) et de couleur gris et brun verdâtre.							
		76.35-79.83: Diorite à grain moyen; gris et brun verdâtre; massive; très grossièrement rubanée (67° AC) recoupée par des niveaux pluricentimétriques à décimétriques à grain très fin; intersectée de veines (2-10 mm) de QZ gris±AM-±BO±EP±PY orientées parallèlement au rubanement.	43636 43637 43638	78,94 79,44 79,94	79,44 79,94 80,44	0,50 0,50 0,50		0,018 0,045 0,020	
		79.83-84.33: Diorite de couleur gris clair à brun verdâtre; holocristalline; massive; phanéritique à grain moyen (3mm) composé de 50-60% de PG gris clair et blanchâtre subédrique à euédrique et de 40-50% de minéraux mafiques (AM-BO); PG localement EP+; AM+; présence de (0,5mm).							
		84.28-84.33: Zone d'altération; QZ-EP-BO-CB; 1 % PY.					1		
		84.33-86.83: Roche mafique vert foncé à grain très fin de							

JOURNAL DE SONDAGE AU DIAMANT

DE (m)	À (m)	DESCRIPTION LITHOLOGIQUE	ÉCHANTILLONNAGE ET ANALYSES						
			NO ÉCHAN.	DE (m)	À (m)	LARGEUR (m)	SULF. (%)	Au (ppm)	
								Au AA24	Au SCR21
		même composition que l'unité sous-jacente; grains de FP et AM présente sont étirés parallèlement à la schistosité (79° AC); contact inf. BO+ et orienté à 72° AC.							
		86.83-90.60: Tonalite à grain moyen; SI+; grossièrement rubanée (75° AC); recoupée par des bandes (3-8cm) mafiques de couleur vert foncé orientés à 45° AC (opposé au rubanement de la tonalite); ces bandes sont localement BO+ et légèrement CB+.							
		89.13-89.65: Roche mafique; contact sup. orienté à 63° AC (opposé); contact inf. orienté à 63° AC.							
		90.60-91.02: Roche mafique à grain très fin; présence de gloméroporphroblastes de QZ-PG; BO+ et très légèrement CB+; présence de veines de QZ±CB d'aspect lenticulaire et étirée selon la schistosité (85° AC).							
		91.02-92.11: Tonalite à grain moyen.							
		92.11-92.43: Roche mafique à grain fin; contact sup. orienté à 80° AC; contact inf. orienté à 50° AC.							
		92.43-92.81: Tonalite à grain moyen.							
92.81	109.41	TONALITE CISAILLEE Roche à grain plus fin que l'unité sus-jacente et caractérisé par un fin rubanement, une silicification, une légère épidotisation des PG ainsi qu'une augmentation du contenu en							

JOURNAL DE SONDAGE AU DIAMANT

DE (m)	À (m)	DESCRIPTION LITHOLOGIQUE	ÉCHANTILLONNAGE ET ANALYSES						
			NO ÉCHAN.	DE (m)	À (m)	LARGEUR (m)	SULF. (%)	Au (ppm)	
								Au AA24	Au SCR21
		BO rougeâtre (ferrifère). Cette section est également recoupée d'intrusifs mafiques (AM-PG) à grain fin et à grain moyen BO+ et CB+.							
		96.00: Foliation orientée à 75° AC.							
		98.08-98.33: Roche mafique à grain très fin (AM-PG) CB+; contact sup. orienté à 75° AC; contact inf. orienté à 87° AC (selon la foliation).							
		100.00: Foliation orientée à 80° AC.							
		100.17-100.24: Idem orienté à 98.08-98.33	43639	99,80	100,30	0,50		0,067	
		100.45-100.54: Veine de QZ enfumé + CL; Tr de PO-PY.	43640	100,30	100,80	0,50	TR	0,041	
			43641 Standard	*	*	*	*	1,335	
		100.54-102.95: Roche mafique (AM+PG) à grain fin; présence de GR; intersecté de quelques veines (<1 cm) de QZ orientées selon la foliation et de fines veinules de CB; présence de PO-PY sous forme d'amas millimétriques allongés selon la schistosité; les veines de QZ sont étirées et boudinées.	43642	100,80	101,30	0,50		0,535	
			43643	101,30	101,80	0,50		0,015	
		102.95-103.25: Tonalite à grain moyen SI+.							
		103.25-104.48: Roche mafique (PG(75%)-BO (25%)) à grain moyen (1mm); gris et brunâtre; légèrement CB+; contact sup. net orienté à 45° AC; contact inf. orienté à 60° AC (opposé).							
		104.48-106.04: Roche mafique à grain fin composée AM-PG; idem à 100.54-102.95; contact sup./inf. orienté à 75° AC.							
		105.00: Foliation orientée à 85° AC.							
		106.04-107.47: Tonalite à grain fin (1mm); 2% de filonnets de PO-PY allongé selon la foliation.	43644	106,63	107,13	0,50	2	0,173	

JOURNAL DE SONDAGE AU DIAMANT

DE (m)	À (m)	DESCRIPTION LITHOLOGIQUE	ÉCHANTILLONNAGE ET ANALYSES						
			NO ÉCHAN.	DE (m)	À (m)	LARGEUR (m)	SULF. (%)	Au (ppm)	
								Au AA24	Au SCR21
		107.17-107.29 Veine de QZ±CL; Tr PO-PY.	43645	107,13	108,10	0,97	TR	0,059	
		107.47-109.41: Roche mafique à grain fin; idem à 104.48-106.04.	43646	108,10	108,60	0,50		0,035	
		108.90: Veine (2 cm) de QZ gris et blanchâtre orientée 15° AC; Tr de PY.					TR		
109.41	173.17	METAFELSITES Metafelsites de couleur gris verdâtre à gris mauve laminée à rubanée constitué de 5-7% de phénocristaux de QZ formant des yeux d'environ 2-3mm allongés selon la foliation (86° AC); matrice composée de PG-QZ; présence de BO (3% dans la matrice). PG localement EP+; filonnets de PY allongés selon la foliation; intersecté par roches intrusives mafiques à grain très fin; fractures généralement orientées à 30° AC (opposé foliation).							
		109.41-110.31: Métafelsite							
		110.31-110.37: Roche mafique à grain très fin BO+.							
		110.37-110.74: Métafelsite; Tr PO-PY					TR		
		110.74-112.87: Roche mafique à grain fin.							
		110.74-110.76: Veine de quartz gris clair et enfumé avec enveloppe d'altération QZ-SR±EP; Tr de sulfure; veine de forme lenticulaire dont le grand axe est allongé orienté à 80° AC; 1% PY-PO sur les					1		

JOURNAL DE SONDAGE AU DIAMANT

DE (m)	À (m)	DESCRIPTION LITHOLOGIQUE	ÉCHANTILLONNAGE ET ANALYSES						
			NO ÉCHAN.	DE (m)	À (m)	LARGEUR (m)	SULF. (%)	Au (ppm)	
								Au AA24	Au SCR21
		épointes.							
		112.87-122.33: Métafelsite rubanée et SI+.	43647 43648 43649 43650 43651Blanc 43652 43653 43654 43655	116,88 117,88 118,38 118,88 * 119,38 120,38 121,10 121,60	117,88 118,38 118,88 119,38 * 120,38 121,10 121,60 122,10	1,00 0,50 0,50 0,50 * 1,00 0,72 0,50 0,50		0,015 0,008 0,034 0,025 -0,005 0,067 0,013 0,011 0,007	
		122.33-122.91: Tonalite à grain moyen, plutôt massif.	43656	122,10	122,60	0,50		0,016	
		122.91-123..49: Alternance de bande de tonalite plus ou moins étroite et de roches mafiques (AM-PG±GR) à grain fin BO+ orientés parallèlement à la foliation (60° AC) de la tonalite.	43657	122,60	123,60	1,00		0,048	
		123.49-124.10: Roche mafique à grain fin; très faiblement CB+.	43658	123,60	124,38	0,78		0,059	
		124.10-129.92: Diorite quartzifère gris clair à grain moyen (2 mm); grossièrement rubanée; lentilles de QZ centimétriques allongées selon la foliation.	43659 43660	124,38 124,88	124,88 125,41	0,50 0,53		0,016 0,007	
		129.92-130.97: Métafelsite rubanée (78° AC); PG partiellement EP+; minéraux mafiques BO+; Tr de GR.							
		130.97-131.88: Diorite quartzifère							

JOURNAL DE SONDAGE AU DIAMANT

DE (m)	À (m)	DESCRIPTION LITHOLOGIQUE	ÉCHANTILLONNAGE ET ANALYSES						
			NO ÉCHAN.	DE (m)	À (m)	LARGEUR (m)	SULF. (%)	Au (ppm)	
								Au AA24	Au SCR21
		131.88-134.58: Alternance de bandes de diorite et de diorite quartzifère rubanée de teinte plus clair.	43661	131,90	132,65	0,75		0,074	
		132.80-132.97: Veine de QZ±CL gris clair à blanchâtre; Tr de PY.	43662	132,65	133,15	0,50	TR	0,019	
		133.08-133.20: Roche mafique à grain fin à très fin vert foncé composé de PG-AM-BO; contact inf./sup. orienté à 85° AC; présence de fines veinules de CB orientées // à la foliation (85° AC).	43663	133,15	133,90	0,75		0,015	
		134.58-140.58: Roche mafique (AM-PG-BO) vert foncé à grain très fin (0.5mm); localement plus BO+; moyennement à très CB+; foliation orienté à 60° AC. 140.57-140.58: Veine de QZ±FP K±CL; Tr de PY; épontes SI+, EP+, CL+ et CB+ sur environ 2cm; orientée à 78° AC.	43664 43665 43666	139,55 140,30 140,80	140,30 140,80 141,55	0,75 0,50 0,75	TR	0,036 0,031 0,080	
		140.58-143.64: Diorite quartzifère à grain fin à moyen; localement SI+; <1% PY; présence de GR; foliation orientée à 75° AC; fractures orientées à 75° AC et 35° AC (opposé foliation).					<1		
		143.64-143.86: Métafelsite (PG-QZ-BO±GR) gris clair à gris verdâtre; rubanée; localement SR+ et SI+; foliation orientée à 72° AC; Tr PY-PO.							
		143.86-144.03: Roche mafique à grain moyen orientée perpendiculairement à AC.							
		144.03-144.55: Métafelsite							

JOURNAL DE SONDAGE AU DIAMANT

DE (m)	À (m)	DESCRIPTION LITHOLOGIQUE	ÉCHANTILLONNAGE ET ANALYSES						
			NO ÉCHAN.	DE (m)	À (m)	LARGEUR (m)	SULF. (%)	Au (ppm)	
								Au AA24	Au SCR21
		144.55-144.65: Roche mafique à grain moyen; BO+.							
		144.65-145.00: Métafelsite							
		145.00-145.25: Roche mafique à grain fin à très fin; légèrement CB+.							
		145.25-145.35: Métafelsite; 1% de porphyroblaste de GR.							
		145.35-145.74: Roche mafique à grain fin (0.5mm); contacts sup. /inf. net orienté à 85° AC.							
		145.74-146.12: Métafelsite; Tr de PY							
		146.12-146.90: Roche mafique à grain très fin; CB+; très finement folié (70° AC).							
		146.90-147.04: Métafelsite; <1% de porphyroblaste de GR.							
		147.04-147.39: Roche mafique à grain fin (0.5mm); contacts sup. /inf. net orienté à 75° AC.							
		147.39-147.67: Métafelsite							
		147.67-147.81: Roche mafique à grain très fin.							
		147.81-148.72: Métafelsite; SI+ et EP+.	43667	147,81	148,72	0,91		0,075	
		148.72-149.81: Roche mafique à grain très fin.	43668	148,72	149,47	0,75		0,057	

JOURNAL DE SONDAGE AU DIAMANT

DE (m)	À (m)	DESCRIPTION LITHOLOGIQUE	ÉCHANTILLONNAGE ET ANALYSES						
			NO ÉCHAN.	DE (m)	À (m)	LARGEUR (m)	SULF. (%)	Au (ppm)	
								Au AA24	Au SCR21
		149.81-151.10: Métafelsite; 1% de porphyroblaste de GR.	43669	149,47	150,22	0,75		0,015	
			43670	150,22	150,97	0,75		0,083	
		151.10-151.34: Diorite à grain fin (0.5 mm) gris brunâtre; composé de 80-85% de PG et 15-20% de fine BO.							
		151.34-154.16: Métafelsite; finement rubanée (80° AC); SI+; SR+; EP+; présence de BO donnant une teinte violacée aux zones plus SI+; filonnets de PO-PY orienté // foliation.							
		153.05-153.16: Zone d'altération; fortement SI+ et EP+, CB+ et FP K+; Tr de PY.	43680	152,19	152,94	0,75		0,014	
			43671	152,94	153,44	0,50	TR	0,009	
			43672 Standard	*	*	*	*	1,275	
			43673	153,44	154,19	0,75		0,055	
			43673ABlanc	*	*	*		0,005	
		154.16-154.63: Diorite à grain moyen gris verdâtre; PG-AM-BO.							
		154.63-158.48: Métafelsite; SI+ et SR+; <1% PY.					<1		
		158.48-158.83: Roche de diorite à grain moyen gris verdâtre; PG-AM-BO; contact sup./inf. orienté à 75° AC.							
		158.83-159.00: Métafelsite; SI+.							
		159.00-159.18: Roche mafique à grain moyen (2mm); AM-PG-BO; contact sup. / inf. orienté à 77° AC.							
		159.18-159.41: Roche intermédiaire/diorite à grain fin (0.5mm); contact inf. à 77° AC.							

JOURNAL DE SONDAGE AU DIAMANT

DE (m)	À (m)	DESCRIPTION LITHOLOGIQUE	ÉCHANTILLONNAGE ET ANALYSES						
			NO ÉCHAN.	DE (m)	À (m)	LARGEUR (m)	SULF. (%)	Au (ppm)	
								Au AA24	Au SCR21
		159.41-159.52: Roche mafique à grain moyen (2mm); contact inf. à 77° AC.							
		159.52-160.29: Métafelsite.							
		160.29-160.34: Roche intermédiaire/diorite à grain moyen (1mm).							
		160.34-160.34: Métafelsite; 1% PY					1		
		160.34-160.44: Roche intermédiaire/diorite à grain moyen (1mm).	43674	160,13	160,88	0,75		0,182	
		160.44-163.29: Métafelsite; SI+ et SR+. 161.13 Veine de QZ (2cm) orientée à 75° AC (// foliation); 2% PY près des épontes.	43675	160,88	161,38	0,50	2	2,020	
		161.44-161.47: Roche mafique (AM-PG-BO-GR) à grain fin.	43676	161,38	162,13	0,75		0,059	
		163.29-163.41: Roche intermédiaire/diorite à grain fin (PG-AM-BO); contact sup. orienté à 71° AC.							
		163.41-164.12: Métafelsite; SI+ et SR+; Tr PY.					TR		
		164.12-164.37: Roche mafique à grain fin.							
		164.37-164.61: Métafelsite; SI+ et SR+; Tr PY.					TR		
		164.61-164.78: Roche mafique à grain fin.							

JOURNAL DE SONDAGE AU DIAMANT

DE (m)	À (m)	DESCRIPTION LITHOLOGIQUE	ÉCHANTILLONNAGE ET ANALYSES						
			NO ÉCHAN.	DE (m)	À (m)	LARGEUR (m)	SULF. (%)	Au (ppm)	
								Au AA24	Au SCR21
		164.78-164.90: Roche intermédiaire/diorite à grain fin.							
		164.90-165.16: Métafelsite; SI+ et SR+; Tr PY.					TR		
		165.16-165.24: Roche intermédiaire/diorite à grain fin.							
		165.24-165.40: Métafelsite; SI+ et SR+; Tr PY.					TR		
		165.40-165.51: Roche intermédiaire/diorite à grain fin.							
		165.51-168.77: Métafelsite; SI+ et SR+; Tr PY.	43677	167,96	168,71	0,75	TR	0,062	
		168.77-169.15: Roche mafique vert foncé aphanitique à grain très fin; CB+; injecté de quelques veines (<1cm) de QZ orientées à 75° AC (// foliation).	43678	168,71	169,21	0,50		0,069	
		169.15-169.42: Métafelsite; SI+.	43679	169,21	169,96	0,75		0,055	
		169.42-169.88: Roche intermédiaire/diorite à grain fin; PG-AM-BO-GR-PY					TR		
		169.88-170.75: Métafelsite; SI+.							
		170.75-170.84: Roche intermédiaire/diorite à grain fin.							
		170.84-171.17: Métafelsite; SI+.							
		171.17-171.35: Roche intermédiaire/diorite à grain fin.							



JOURNAL DE SONDAGE AU DIAMANT

DE (m)	À (m)	DESCRIPTION LITHOLOGIQUE	ÉCHANTILLONNAGE ET ANALYSES						
			NO ÉCHAN.	DE (m)	À (m)	LARGEUR (m)	SULF. (%)	Au (ppm)	
								Au AA24	Au SCR21
		171.35-172.38: Métafelsite; SI+.							
		172.38-172.62: Roche intermédiaire/diorite à grain moyen (1 mm)							
		172.62-173.08: Métafelsite; SI+.							
		173.08-173.17: Roche intermédiaire/diorite à grain moyen (1mm).							
		FIN DU SONDAGE à 173.17. TUBAGE RETIRE.							



JOURNAL DE SONDAGE AU DIAMANT

PROPRIÉTÉ: AQUILON

No du sondage: AQU-04-04

Grille:

Station:

Ligne:

Coord. UTM (NAD 83)

Estant: 663 118

Nordant: 5 995 639

Élévation: 428 m

Titre minier: 3937

Plongée: -58°

Azimuth: N150°

Profondeur: 70.26 m

Calibre: BTW

Entreposage: Propriété

Foré par: Forage Utika Inc.

Journal par: Roger Moar, géo

Débuté le: 17 septembre 2004

Terminé le: 19 septembre 2004

TESTS D'ORIENTATION (HCI)

PROFONDEUR PLONGÉE AZIMUTH

70.26 m

-58°

JOURNAL DE SONDAGE AU DIAMANT

DE (m)	À (m)	DESCRIPTION LITHOLOGIQUE	ÉCHANTILLONNAGE ET ANALYSES						
			NO ÉCHAN.	DE (m)	À (m)	LARGEUR (m)	SULFURES (%)	Au (ppm)	
								Au- AA24	Au- SCR2 1
0.00	1.20	TUBAGE							
1.11	70.26	<p>TONALITE</p> <p>Gris clair et blanchâtre, massif à très grossièrement foliée; très homogène; à grain moyen (2-3mm); texture équigranulaire; composé 20-25% de QZ anédrique, 75-80% de PG subédrique et de 3-5% de fine BO; grossière foliation orientée à 85° AC soulignée par l'allongement des grains de FP et l'alignement des grains de BO; moyennement à peu fracturée (// foliation et 20° AC (opposé à la foliation)) à intervalle de 50 à 100 cm; intersectée de roches intrusives mafique, verte foncée, AM+ et CL+, d'épaisseur variable (pluricentimétrique à pluridécimétrique).</p> <p>1.11-1.33: Roche mafique à grain très fin (0.5mm); massif; composée 80% AM verte et 20% PG; Tr de PY dispersée.</p> <p>1.33-2.95: Tonalite à grain moyen recoupé de quelques veines de QZ enfumé orientée selon la foliation.</p> <p style="padding-left: 20px;">1.98: Veine (5mm) de QZ orienté à 72° AC (parallèlement à la foliation).</p> <p style="padding-left: 20px;">2.11-2.13: Veine de QZ orienté 80° AC (selon la foliation).</p> <p>2.95-2.99: Roche mafique à grain fin; AM+; Tr PY.</p> <p>2.99-3.84: Tonalite à grain moyen avec allongement plus</p>							

JOURNAL DE SONDAGE AU DIAMANT

DE (m)	À (m)	DESCRIPTION LITHOLOGIQUE	ÉCHANTILLONNAGE ET ANALYSES						
			NO ÉCHAN.	DE (m)	À (m)	LARGEUR (m)	SULFURES (%)	Au (ppm)	
								Au- AA24	Au- SCR2 1
		<p>marqué des grains de PG-QZ. 3.20-3.27: PG légèrement EP+.</p> <p>3.84-4.05: Roche mafique à grain fin (1mm) composée de 60% de PG gris et de 40% de minéraux mafiques (AM-BO); partiellement BO+ ; légèrement CB+; Tr de PY; contact inf. net à 74° AC.</p> <p>4.05-4.23: Tonalite à grain moyen.</p> <p>4.23-4.28: Roche mafique à grain fin (1mm); idem à 3.84-4.05; contact inf./sup. net à 75° AC (parallèlement à la foliation de la tonalite).</p> <p>4.28-5.12: Tonalite à grain moyen.</p> <p>5.12-5.28: Zone d'altération en EP-FP K.</p> <p>5.28-5.41: Tonalite à grain moyen.</p> <p>5.41-5.70: Roche mafique à grain fin; Idem à 3.84-4.05; contact inf./sup. // foliation tonalite.</p> <p>5.70-6.54: Tonalite à grain moyen. 6.00 : foliation orientée à 80° AC.</p> <p>6.54-6.60: Roche mafique (AM-PG) à grain fin; AM+; légèrement BO+ et CB+; contacts orientés selon la foliation.</p>							

JOURNAL DE SONDAGE AU DIAMANT

DE (m)	À (m)	DESCRIPTION LITHOLOGIQUE	ÉCHANTILLONNAGE ET ANALYSES						
			NO ÉCHAN.	DE (m)	À (m)	LARGEUR (m)	SULFURES (%)	Au (ppm)	
								Au- AA24	Au- SCR2 1
		<p>6.60-6.99: Tonalite à grain moyen. 6.68 : Veine QZ orientée selon la foliation.</p> <p>6.99-7.19: Roche mafique (AM-PG) à grain fin; idem à 6.54-6.60; altération des PG en EP près des épontes.</p> <p>7.19-9.40: Tonalite à grain moyen.</p> <p>9.40-9.76: Roche mafique de teinte plus claire (<minéraux mafiques) gris verdâtre avec altération partielle en BO.</p> <p>9.76-9.82: Tonalite à grain moyen.</p> <p>9.82-9.87: Roche mafique fortement BO+ en contact avec une veine (2 cm) de QZ de forme lenticulaire orientée à 85° AC.</p> <p>9.87-10.52: Tonalite à grain moyen</p> <p>10.52-11.09: Roche mafique à grain fin composé d'amphibole partiellement BO+ et de PG légèrement CB+; injecté de veinules (<5mm) de QZ±CB orientée à 85° AC; Tr de PO-PY dispersée.</p> <p>11.09-11.92: Tonalite à grain moyen 11.15: Veine (1 cm) de QZ orientée à 20° AC (opposé foliation); pas d'altération significative aux épontes; Tr de PO-PY.</p>							

JOURNAL DE SONDAGE AU DIAMANT

DE (m)	À (m)	DESCRIPTION LITHOLOGIQUE	ÉCHANTILLONNAGE ET ANALYSES						
			NO ÉCHAN.	DE (m)	À (m)	LARGEUR (m)	SULFURES (%)	Au (ppm)	
								Au- AA24	Au- SCR2 1
		11.42: Veine (1.5 cm) de QZ orientée à 20° AC (opposé foliation). 11.72: Veinule (5 mm) de QZ orientée à 20° AC (opposé foliation).							
		11.92-13.08: Roche mafique à grain fin; idem à 10.52-11.09	43681	11,85	12,60	0,75		0,017	
		12.25-12.28: Veine de QZ avec intense altération des épontes en EP et CB; Tr de sulfures.	43682	12,60	13,10	0,50		0,023	
		12.69-12.72 : Veine de QZ orientée à 85° AC.							
		12.81-12.88: Veine de QZ avec bréchification de la roche encaissante. Roche encaissante fortement EP+ et CB+; < 1% PY-PO.							
		13.08-13.36: Tonalite à grain moyen.	43683	13,10	14,05	0,95		0,019	
		13.36-13.50: Roche mafique à grain fin; idem à 10.52-11.09; BO+, CL+, et ±CB+.							
		13.50-13.72: Tonalite à grain moyen.							
		13.72-13.75: Roche mafique à grain fin; idem à 10.52-11.09; BO+, CL+, et ±CB+.							
		13.75-13.90: Tonalite à grain moyen.							
		13.90-14.06: Roche mafique à grain fin; idem à 10.52-11.09; BO+, CL+, et ±CB+.							
		13.89 : Veine (1.5 cm) de QZ de forme lenticulaire;							

JOURNAL DE SONDAGE AU DIAMANT

DE (m)	À (m)	DESCRIPTION LITHOLOGIQUE	ÉCHANTILLONNAGE ET ANALYSES						
			NO ÉCHAN.	DE (m)	À (m)	LARGEUR (m)	SULFURES (%)	Au (ppm)	
								Au- AA24	Au- SCR2 1
		1% de filonnets millimétriques de PY sur les épontes.							
		14.06-14.95: Tonalite à grain moyen. 14.28-14.34: Veine de QZ-BO; 1% PY sur les épontes de la veine.	43684	14,05	14,55	0,50		-0,005	
		14.95-15.06: Roche mafique à grain fin; idem à 10.52-11.09; BO+ et ±CB+.	43685	14,55	15,30	0,75		0,005	
		15.06-15.33: Tonalite à grain moyen							
		15.33-15.88: Roche mafique (AM-PG) à grain très fin (0.5mm) de couleur vert foncé; légèrement CB+; Tr de PY; veine (1.5 cm) de QZ près du contact sup. avec 1% PY sous de filonnets.							
		15.88-16.09: Tonalite à grain moyen.							
		16.09-16.20: Roche mafique; idem à 15.33-15.88; altération en des PG en EP.							
		16.20-17.61: Tonalite à grain moyen.							
		17.61-18.49: Zone de cisaillement; dyke mafique BO+ et fortement CL+.							
		18.49-21.42: Tonalite à grain moyen.							

JOURNAL DE SONDAGE AU DIAMANT

DE (m)	À (m)	DESCRIPTION LITHOLOGIQUE	ÉCHANTILLONNAGE ET ANALYSES						
			NO ÉCHAN.	DE (m)	À (m)	LARGEUR (m)	SULFURES (%)	Au (ppm)	
								Au- AA24	Au- SCR2 1
		20.00: Foliation orientée à 87° AC. 20.44: Veinule (5 mm) de QZ gris clair orientée à 50° AC.							
		21.42-21.53: Roche mafique (PG-AM-BO) à grain fin (0.5mm); PG partielle EP+; très légèrement CB+; Tr de PY; orientée // à foliation de la tonalite.							
		21.53-25.90: Tonalite à grain; foliation orienté 90° AC intersectée par quelques dykes (< 2cm) mafique orientés parallèlement à foliation de la tonalite.	43686 43687	24,39 25,14	25,14 25,90	0,75 0,76		-0,005 -0,005	
		25.90-26.69: Tonalite à grain moyen ave zone d'altération en QZ-EP-FP K; Tr de PY.	43688	25,90	26,69	0,79		-0,005	
		26.69-38.24: Section essentiellement roche intrusive mafique à grain très fin de couleur vert foncé et composée essentiellement d'AM et de PG légèrement à moyennement CB+; nombreuses zones de cisaillement avec altération en BO-CL.	43689	26,69	26,98	0,29		-0,005	
		27.46-27.90: Zone de cisaillement; très fortement BO+ et CL+.	43690	26,98	27,48	0,50		-0,005	
		27.48-27.82: Veine de QZ-CB avec placages de CL dans les fractures; contact inf. à 70° AC.	43691	27,48	27,82	0,34			0,1
		28.61-28.62: Zone cisaillement; très fortement CL+.	43692	27,82	28,32	0,50		0,011	
		29.04-29.20: Section fortement BO+.	43694	28,32	29,07	0,75		-0,005	
		30.38-30.42: Veine de QZ±CB±CL de forme lenticulaire; < 1% PO-PY près des épontes;	43695 43696	29,07 29,82	29,82 30,57	0,75 0,75		-0,005 0,013	

JOURNAL DE SONDAGE AU DIAMANT

DE (m)	À (m)	DESCRIPTION LITHOLOGIQUE	ÉCHANTILLONNAGE ET ANALYSES						
			NO ÉCHAN.	DE (m)	À (m)	LARGEUR (m)	SULFURES (%)	Au (ppm)	
								Au- AA24	Au- SCR2 1
		altération des épontes en CL-CB							
		30.55: Veine (1 cm) de QZ±CB±CL; idem à 30.38-30.42.	43697	30,57	31,32	0,75		0,010	
		31.37: Veine (1 cm) de QZ±CB±CL; idem à 30.38-30.42.	43698	31,32	32,07	0,75		0,016	
		32.39: Veine (2 cm) de QZ±CB±CL; idem à 30.38-30.42; altération des épontes en CL-EP-CB.	43699	32,07	32,82	0,75		0,015	
		33.79: Veine (1 cm) de QZ±CB±CL orienté à 80° AC; Tr de sulfures près des épontes.	43700	32,82	33,57	0,75		0,006	
		33.90: Veinule (3mm) de QZ avec filonnets de PO-PY orientées à 50° AC.	43701	33,57	34,32	0,75		-0,005	
		34.35-34.38: Veine de QZ±CL de forme lenticulaire allongée à 80° AC.	43702	34,32	35,07	0,75		0,005	
		37.30-37.32: Veine de QZ±CL orientée à 90° AC.	43704	35,07	35,82	0,75		-0,005	
		37.63-37.80: Trois veines (1 cm) de QZ±EP±CL encaissées dans une zone fortement BO+ et ±CL+; Tr de PO-PY.	43705	36,57	37,32	0,75		-0,005	
		37.80-37.85: Tonalite à grain moyen.	43706	37,32	38,07	0,75		0,008	
		38.24-40.88: Tonalite à grain moyen; intersectée de quelques veinules de QZ (5mm à 1cm) orientée // foliation.	43707	38,07	38,82	0,75		0,007	
			43708	38,82	39,42	0,60		0,008	
			43709	39,42	40,01	0,59		0,007	
			43710	40,01	40,51	0,50		0,013	
		40.00 : Foliation orientée à 82° AC.	43711	40,51	41,26	0,75		0,036	
		40.18-40.25: Veine de QZ translucide et blanchâtre; contact inf./sup. orientés à 90° AC.	43712	41,26	42,01	0,75		0,007	
			43713	42,01	42,76	0,75		0,011	
		40.88-43.90: Roche mafique à grain fin; idem à 26.69-38.24;	43715	42,76	43,15	0,39		0,006	

JOURNAL DE SONDAGE AU DIAMANT

DE (m)	À (m)	DESCRIPTION LITHOLOGIQUE	ÉCHANTILLONNAGE ET ANALYSES						
			NO ÉCHAN.	DE (m)	À (m)	LARGEUR (m)	SULFURES (%)	Au (ppm)	
								Au- AA24	Au- SCR2 1
		localement BO+ et légèrement CB+; recoupé de quelques veinules (<5mm) de QZ orientées à 82° AC présentant parfois une forme lenticulaire.							
		43.86: Veine (1 cm) de QZ lenticulaire; épontes fortement BO+ et légèrement CB+; 2% PO-PY.	43716	43,15	43,90	0,75		0,014	
		43.90-46.91: Tonalite à grain moyen.	43717	43,90	44,65	0,75		0,013	
		45.34-45.92: Tonalite SI+ et SR+ présentant un aspect rubanée; recoupée par des veines (2-6cm) de QZ orientée // à la foliation de la tonalite; Tr à 1% PO-PY; e.g. veine de QZ: 45.34-45.37, 45.47-45.49, 45.50-45.56, 45.66-45.69, 45.70-45.72.	43718	44,65	45,40	0,75		0,039	
			43719	45,40	45,90	0,50		0,419	
			43720	45,90	46,65	0,75		0,007	
		46.91-47.00: Roche mafique aphanitique à grain très fin; contact inf./sup. à 70° AC.							
		47.00-47.09: Tonalite à grain moyen.							
		47.09-47.11: Roche mafique aphanitique à grain très fin; idem à 46.91-47.00; BO+.							
		47.11-47.18: Tonalite à grain moyen.							
		47.18-49.20: Roche mafique aphanitique à grain très fin; idem à 46.91-47.00; injecté de fines veinules de QZ à 75° et 85° AC; contact inf. à 80° AC.							
		48.75 : Veine de QZ (1.5cm) orientée à 80° AC avec altération des épontes EP, CL et CB; Tr sulfures.							

JOURNAL DE SONDAGE AU DIAMANT

DE (m)	À (m)	DESCRIPTION LITHOLOGIQUE	ÉCHANTILLONNAGE ET ANALYSES						
			NO ÉCHAN.	DE (m)	À (m)	LARGEUR (m)	SULFURES (%)	Au (ppm)	
								Au- AA24	Au- SCR2 1
		49.20-62.62: Tonalite à grain moyen; recoupée de rares veinules (5mm) de QZ orientées à 80° AC et 20° AC (opposé à la foliation); fractures espacées à intervalle de 32 à 60 cm et orientées parallèlement à la foliation ainsi qu'à 20° AC (opposé).							
		60.00 : foliation orientée 80° AC	43721	61,52	62,23	0,71		0,012	
		62.44-62.46: Veine de QZ blanchâtre orientée parallèlement à la foliation.	43722	62,23	62,75	0,52		0,014	
		62.62-62.78: Roche mafique aphanitique à grain très fin; idem à 46.91-47.00.	43723	62,75	63,50	0,75		0,025	
		62.78-62.90: Roche gris clair et verdâtre à grain moyen composé de PG –AM-BO.							
		62.90-64.16: Roche mafique aphanitique à grain très fin; idem à 46.91-47.00; très fracturé; contact inf. à 60° AC.							
		64.16-70.26: Tonalite à grain moyen.							
		65.78-66.10: Altération des PG en EP; 1% de GR formant des amas plurimillimétriques allongées selon la foliation.							
		70.26 : Fin du sondage. Tubage retiré.							

GOLDEN TAG RESOURCES LTD

JOURNAL DE SONDAGE AU DIAMANT

PROPRIÉTÉ: AQUILON**No du sondage: AQU-04-05****Grille:****Station:****Ligne:****Coord. UTM (NAD 83)****Estant: 663 247****Nordant: 5 995 714****Élévation: 424 m****Titre minier: 3948****Plongée: -58°****Azimuth: N150°****Profondeur: 72.08 m****Calibre: BTW****Entreposage: Propriété****Foré par: Forage Utika Inc.****Journal par: Roger Moar, géo****Débuté le: 19 septembre 2004****Terminé le: 21 septembre 2004****TESTS D'ORIENTATION (HCI)****PROFONDEUR****PLONGÉE****AZIMUTH**

72.08 m

-57°

GOLDEN TAG RESOURCES LTD

JOURNAL DE SONDAGE AU DIAMANT

DE (m)	À (m)	DESCRIPTION LITHOLOGIQUE	ÉCHANTILLONNAGE ET ANALYSES						
			NO ÉCHAN.	DE (m)	À (m)	LARGEUR (m)	SULF. (%)	Au (ppm)	
								Au AA24	Au SCR21
0.00	6.10	TUBAGE							
6.02	72.08	TONALITE Tonalite gris clair à gris moyen; massive à très grossièrement foliée; à grain moyen (2-3mm); composée de 75-80% de PG subédrique, 15-20 % de QZ anédrique de 3-5% de fines BO alignée selon la foliation; foliation orientée à 71° AC marquée par l'allongement des FP ; <1% de MT sous forme de grain anédrique (0.5-0.75mm); Tr de fine PY disséminée ; généralement peu fracturée (25° AC (opposé avec remplissage EP), 30° AC (opposé), et parallèlement à la foliation ; débit moyen à 65cm ; intersectée de dykes et filon-couches mafiques vert foncé à grain très fin à moyen, AM+, CL+ et légèrement CB+ et EP+.							
		6.02-6.05: Roche mafique à grain très fin (0.5mm) composée d'AM-PG-BO.							
		6.05-8.86: Tonalite à grain moyen avec bande (< 1cm) (+PG) orientée // foliation.							
		7.90-7.98: Veines de QZ gris ±CL dans une zone plus riche en FP de couleur claire; Tr PY près des épontes. Aucune altération significative sur les épontes.							
		8.86-9.03: Roche mafique fortement altérée en CL et en BO; contact sup. net à 66° AC (// foliation); contact inf. net à 66° AC (// foliation); Tr de PY.							
		9.03-9.48: Tonalite à grain moyen avec foliation plus							

No du sondage: AQU-04-05

GOLDEN TAG RESOURCES LTD

JOURNAL DE SONDAGE AU DIAMANT

DE (m)	À (m)	DESCRIPTION LITHOLOGIQUE	ÉCHANTILLONNAGE ET ANALYSES						
			NO ÉCHAN.	DE (m)	À (m)	LARGEUR (m)	SULF. (%)	Au (ppm)	
								Au AA24	Au SCR21
		marquée (64° AC) ; teinte rosacée avec augmentation du % de FP K.							
		9.48-10.98: Dyke mafique. Idem à 8.86-9.03; foliation orientée à 62° AC.							
		10.98-13.66: Tonalite à grain moyen.							
		13.66-13.70: Roche dioritique gris verdâtre à grain très fin (0.5mm) composé essentiellement de PG et en moindre partie d'AM.							
		13.70-13.73: Tonalite de teinte verdâtre à grain moyen ; SI+ ; ±CL+.							
		13.73-16.42: Roche mafique très fortement CL+ et CB+ et localement BO+; 0.5-1% PY sous forme de cube (1mm); légèrement à moyennement magnétique.					0.5-1		
		14.78-15.85: Zone de faille; roche très broyée; 25% non récupéré.							
		15.95-16.00: Tonalite à grain moyen; idem à 13.70-13.73.							
		16.00-16.04: Section fortement CL+ et BO+.							
		16.04-16.07: Tonalite à grain moyen; idem à 13.70-13.73.							
		16.07-16.16: Veine de QZ enfumée et CL; CL sous forme de remplissage des fractures de la veine.							
		16.16-16.42: Zone fortement CL+ et BO+; légèrement CB+.							
		16.42-16.94: Tonalite à grain moyen							

GOLDEN TAG RESOURCES LTD

JOURNAL DE SONDAGE AU DIAMANT

DE (m)	À (m)	DESCRIPTION LITHOLOGIQUE	ÉCHANTILLONNAGE ET ANALYSES						
			NO ÉCHAN.	DE (m)	À (m)	LARGEUR (m)	SULF. (%)	Au (ppm)	
								Au AA24	Au SCR21
		16.94-17.59: Roche intermédiaire dioritique gris moyen à brunâtre ; à grain fin à moyen ; composée essentiellement de PG gris (85%) de BO brune (10%) alignée selon le plan de foliation (70° AC) et de quantité mineure d'AM verte (5%); légèrement CB+.							
		17.59-22.25: Tonalite à grain moyen (2-3mm) avec EP+ locale des PG; foliation à 80° AC.							
		22.13: Fracture à 20° AC (opposé) avec remplissage d'EP							
		22.25-22.93: Roche mafique aphanitique à grain très fin ; composé AM et de PG.							
		22.93-23.13: Tonalite à grain moyen ; EP+ des PG.							
		23.13-23.30: Roche mafique aphanitique à grain très fin ; idem à 22.25-22.93; contact inf./sup. 50° AC							
		23.30-23.39: Tonalite à grain moyen ; EP+ des PG.							
		23.39-23.53: Roche mafique aphanitique à grain très fin ; idem à 22.25-22.93; contact inf./sup. 75° AC (// foliation).							
		23.53-23.73: Tonalite à grain moyen avec porphyroblastes de QZ nettement allongé selon la foliation principale; Tr de GR; contact inf. EP+ sur environ 2cm							
		23.73-27.72: Roche mafique aphanitique à grain très fin ; fractures orientées à 67° et 20° AC (opposé foliation); fine foliation à 75° AC); présence de veinules de QZ // foliation et à 20° AC avec Tr de PY.							

GOLDEN TAG RESOURCES LTD

JOURNAL DE SONDAGE AU DIAMANT

DE (m)	À (m)	DESCRIPTION LITHOLOGIQUE	ÉCHANTILLONNAGE ET ANALYSES						
			NO ÉCHAN.	DE (m)	À (m)	LARGEUR (m)	SULF. (%)	Au (ppm)	
								Au AA24	Au SCR21
		24.57-25.67: Zone d'altération en EP avec veines (<2cm) et veinules boudinées et allongées à 75° AC; altération locale en BO+; quelques filonnets de PY allongés // foliation.							
		27.72-28.95: Tonalite à grain moyen partiellement SI+ avec rares veinules de QZ à 20° AC; altération locale en EP; allongement des FP // foliation.							
		28.95-29.41: Roche mafique à grain fin AM+; contact sup. BO+.							
		29.41-32.87: Tonalite à grain moyen très SI+ et localement EP+; intersecté par de nombreux dykes mafiques AM+, BO+ et EP+; ces dykes sont orientés // aux plans de foliation et le long des fractures de la roche; Tr à 2% PY.	43724	30,43	31,18	0,75	2	0,013	
			43725	31,18	31,68	0,50	2	0,021	
			43726	31,68	32,43	0,75	2	0,008	
		32.87-34.96: Tonalite à grain moyen à grossier; présence EP dans les fractures à 20° AC.							
		32.90: Veine (1cm) de QZ orientée à 20° AC; pas d'altération significative des épontes.							
		34.96-35.19: Roche mafique à grain fin à très fin; AM+ et BO+; contact sup. net à 50° AC; // foliation; contact sup./ inf. net à 50° AC (// foliation).							
		35.19-37.41: Tonalite à grain moyen; localement EP+; fractures injectées de rares veines de QZ (1cm) orientées // à la foliation (75° AC).							
		37.03: Veine (1cm) de QZ gris avec 2% PY-PO.					2		
		37.41-37.43: Tonalite cisailée; EP+ et SR+ ; allongement des							

GOLDEN TAG RESOURCES LTD

JOURNAL DE SONDAGE AU DIAMANT

DE (m)	À (m)	DESCRIPTION LITHOLOGIQUE	ÉCHANTILLONNAGE ET ANALYSES						
			NO ÉCHAN.	DE (m)	À (m)	LARGEUR (m)	SULF. (%)	Au (ppm)	
								Au AA24	Au SCR21
		grains de QZ allongé // foliation.							
		37.43-37.49: Tonalite à grain moyen.							
		37.49-37.51: Tonalite cisailée; idem à 37.41-37.43.							
		37.51-37.80: Tonalite à grain moyen.							
		37.80-37.82: Roche mafique à grain moyen; BO+ ; orientée à 75° AC // foliation de la tonalite.							
		37.82-38.53: Tonalite cisailée beige et verdâtre; EP+ et SR+; yeux de QZ (2 x 1mm) étiré // foliation; BO rougeâtre; 2% PY.							
		38.53-38.73: Tonalite à grain moyen partiellement SR+							
		38.73-38.93: Tonalite cisailée beige et verdâtre; EP+ et SR+; yeux de QZ (2 x 1mm) étiré // foliation; BO rougeâtre; <1% PY.					<1		
		38.93-39.18: Tonalite SI+ ; <1% filonnets de PY-PO allongés selon la foliation (85° AC).	43727	39,07	39,82	0,75	<1	0,097	
		39.18-39.96: Tonalite à grain moyen SI+; <0.5% sulfures; intersectée de 2 dykes (<1 cm) mafiques BO+ et orientés à 55° AC à 39.24 et 39.32.					<0.5		
		39.68-39.81: Roche mafique à grain moyen ; BO+; contact sup. à 10° AC; contact inf. à 55° AC ; intersectant une veine (1cm) de QZ orienté à 15° AC.							

GOLDEN TAG RESOURCES LTD

JOURNAL DE SONDAGE AU DIAMANT

DE (m)	À (m)	DESCRIPTION LITHOLOGIQUE	ÉCHANTILLONNAGE ET ANALYSES						
			NO ÉCHAN.	DE (m)	À (m)	LARGEUR (m)	SULF. (%)	Au (ppm)	
								Au AA24	Au SCR21
		39.96-41.54: Tonalite cisailée beige et verdâtre; idem à 38.73-38.93; 0.5-1% PY-PO; foliation à 70° AC.	43728	39,82	40,32	0,50	0.5-1	0,096	
			43729	40,32	40,82	0,50		0,300	
			43730	40,82	41,41	0,59		0,136	
		41.54-41.75: Nombreuses veines (1cm) séparée par des enveloppes de SR-EP-BO; ces veines forment des lentilles allongées à 85° AC, jusqu'à 3% de PY-PO.	43731	41,41	41,91	0,50	3	1,155	
		41.75-43.21: Tonalite à grain moyen; grossièrement foliée.	43732	41,91	42,66	0,75		0,052	
		43.21-44.12: Roche mafique gris verdâtre à grain fin (0.5mm) composée d'AM-PG-BO; Tr de sulfures dispersée; légèrement CB+ et localement CL+ et BO+; contact sup. à 70° AC; contact inf. à 75° AC.							
		44.12-72.08: Tonalite à grain moyen avec bandes (2cm) blanchâtres plus riche en PG et orientées // foliation; très peu fracturé (80° AC); roches mafiques peu abondante. Présence de rares veines et veinules de QZ (<1cm) orientées à 30° AC (opposées à la foliation).							
		Foliation: 50m = 70° AC 55m = 72° AC 60m = 70° AC 65m = 75° AC 70m = 75° AC							
		54.75-54.89: Présence de veines de QZ (<1cm) étirée séparée par des enveloppes (<5mm) de SR±BO; Tr de sulfure; veines allongées // foliation	43733	53,82	54,57	0,75		0,006	
			43734 standard	*	*	*		1,385	
			43735 blanc	*	*	*		-0,005	
			43736	54,57	55,07	0,50		0,019	
			43737	55,07	55,82	0,75		0,005	

GOLDEN TAG RESOURCES LTD

JOURNAL DE SONDAGE AU DIAMANT

DE (m)	À (m)	DESCRIPTION LITHOLOGIQUE	ÉCHANTILLONNAGE ET ANALYSES						
			NO ÉCHAN.	DE (m)	À (m)	LARGEUR (m)	SULF. (%)	Au (ppm)	
								Au AA24	Au SCR21
		Roche mafique: idem à 43.21-44.12 50.93-50.96: orientée // foliation 61.06-61.97: Contact sup. à 50° AC (opposé); contact inf. à 45° AC (opposé) 66.93-66.98: orientée // foliation 67.58-67.75: orientée // foliation 71.02-71.17: orientée // foliation							
		Veine de QZ: 64.18-64.34: QZ translucide; aucune minéralisation ni altération significative sur les épontes; contact sup. à 44° AC (opposé); contact inf. 90° AC).	43738 43739 43740	63,25 64,00 64,50	64,00 64,50 65,25	0,75 0,50 0,75		0,006 -0,005 -0,005	
		65.86-65.88: Veine de QZ-CB avec EP+ des épontes; orientée // foliation.							
		67.79-67.80: Veine de QZ ; orientée // foliation; aucune minéralisation ni altération significative sur les épontes.	43741	67,73	68,58	0,85		0,005	
		68.77-68.97: QZ translucide; aucune minéralisation ni altération significative sur les épontes; contact sup./inf. à 45° AC (opposé).	43742 43743	68,58 69,08	69,08 69,83	0,50 0,75		0,005 -0,005	
		71.67-71.73: QZ translucide à enfumé; ±BO; épontes légèrement SR+, SI+ et BO+; 0.5% PO sur les épontes.	43744 43745	70,70 71,45	71,45 71,95	0,75 0,50	0.5	0,006 0,012	
		FIN DU SONDAGE A 72.08 m. TUBAGE RETIRÉ							

GOLDEN TAG RESOURCES LTD

JOURNAL DE SONDAGE AU DIAMANT

PROPRIÉTÉ: AQUILON

No du sondage: AQU-04-06

Grille:

Station:

Ligne:

Coord. UTM (NAD 83)

Estant: 663 161

Nordant: 5 995 710

Élévation: 423 m

Titre minier: 3937 & 3948

Plongée: -60°

Azimuth: N150°

Profondeur: 97.73

Calibre: BTW

Entreposage: Propriété

Foré par: Forage Utika Inc.

Journal par: Roger Moar, géo

Débuté le: 21 septembre 2004

Terminé le: 23 septembre 2004

TESTS D'ORIENTATION (HCI)

PROFONDEUR	PLONGÉE	AZIMUTH
97.73 m	-58°	

GOLDEN TAG RESOURCES LTD

JOURNAL DE SONDAGE AU DIAMANT

DE (m)	À (m)	DESCRIPTION LITHOLOGIQUE	ÉCHANTILLONNAGE ET ANALYSES						
			NO ÉCHAN.	DE (m)	À (m)	LARGEUR (m)	SULF. (%)	Au (ppm)	
								Au AA24	Au SCR21
0.00	0.61	TUBAGE							
0.24	97.73	TONALITE Tonalite gris clair à gris moyen; très grossièrement foliée; à grain moyen (2-3mm); composé 75-80% de PG clair subédrique, 15-20% QZ anédrique et de 3-5% de fines BO; schistosité orientée à 82° AC. Les huit premiers mètres sont plus fracturés avec fractures orientées à 55° (opposé), 12° AC et 30° AC (opposé foliation) à intervalle de 20 à 30cm; légèrement SR+; Tr de PY. Recoupé par de nombreux dykes et filon-couches mafiques d'épaisseur variable; présence de bandes (1-2cm) blanchâtre enrichie en PG.							
		0.24-1.05: Tonalite							
		1.05-1.09: Veine QZ orientée selon la foliation; pas d'altération significative sur les épontes; Tr de PY							
		1.09-1.18: Tonalite							
		1.18-1.27: Roche mafique gris verdâtre à grain fin (0.5 mm); composé d'un assemblage de PG, AM et BO.							
		1.27-3.92: Tonalite à grain moyen; présence EP dans les fractures orientées à 20° AC.							
		3.92-3.98: Roche mafique gris foncé et verdâtre; CL+ et							

GOLDEN TAG RESOURCES LTD

JOURNAL DE SONDAGE AU DIAMANT

DE (m)	À (m)	DESCRIPTION LITHOLOGIQUE	ÉCHANTILLONNAGE ET ANALYSES						
			NO ÉCHAN.	DE (m)	À (m)	LARGEUR (m)	SULF. (%)	Au (ppm)	
								Au AA24	Au SCR21
		BO+; contacts à 40° AC.							
		3.98-5.41: Tonalite; idem à précédent; plus SR+.							
		5.41-5.44: Roche mafique; idem à 3.92-3.98; contacts selon la foliation.							
		5.44-6.67: Tonalite; idem à 3.98-5.41.							
		6.67-6.74: Roche mafique; idem à 3.92-3.98; contacts selon la foliation.	43746	6,63	7,38	0,75		0,007	
		6.74-7.43: Tonalite; idem à 3.98-5.41.							
		7.43-7.46: Veine de QZ-CB avec CL sur les épontes; Tr de PY; orientée à 70° AC.	43747	7,38	7,88	0,50		0,010	
		7.58-7.69: Veine de QZ-CB (remplissage de fractures) orientée à 55° AC; présence de CL sur les épontes; Tr-0.5% de PY; éponte inférieure SI+.	43748	7,88	8,63	0,75		0,005	
		7.69-7.74: Tonalite SI+.							
		7.74-11.06: Tonalite à grain moyen. 8.00: foliation orientée à 67° AC; 10.00: foliation orientée à 75° AC							
		11.06-11.56: Roche mafique gris verdâtre foncé à grain fin (1.0mm); foliée; composée d'un assemblage d'AM-BO-PG±GR; légèrement CB+; injecté de veinules (<5mm) de QZ plissotées et orientées à 50° AC; présence d'EP dans les fractures à 25° AC; contacts orientés à 30° AC.							
		11.56-12.49: Tonalite à grain moyen.							

GOLDEN TAG RESOURCES LTD

JOURNAL DE SONDAGE AU DIAMANT

DE (m)	À (m)	DESCRIPTION LITHOLOGIQUE	ÉCHANTILLONNAGE ET ANALYSES						
			NO ÉCHAN.	DE (m)	À (m)	LARGEUR (m)	SULF. (%)	Au (ppm)	
								Au AA24	Au SCR21
		12.49-12.64: Roche mafique gris verdâtre foncé à grain fin (1.0mm); idem à 11.06-11.56; intersecté par une veine (1-2cm) QZ-BO orientée à 60° AC; 3% PY près de l'éponte inf.; fortement CB+.	43749	12,41	13,16	0,75		0,016	
		12.64-13.33: Tonalite à grain moyen.							
		13.33-13.47: Veine de QZ translucide; absence de minéralisation; contact sup./inf. à 70° AC (parallèle à la foliation); présence de BO grossière près du contact inf..	43750	13,16	13,66	0,50		0,014	
		13.47-15.64: Tonalite à grain moyen. 15.00: Foliation orientée à 84° AC.	43751	13,66	14,41	0,75		0,005	
		15.64-16.35: Roche mafique gris verdâtre foncé à grain fin (1.0mm); idem à 11.06-11.56; contact sup. à 45° AC; contact inf. à 50° AC.							
		16.35-16.47: Tonalite à grain moyen.							
		16.47-17.60: Roche mafique gris verdâtre foncé à grain fin (1.0mm); idem à 11.06-11.56; légèrement CB+.							
		17.60-26.77: Tonalite à grain moyen.							
		22.31-22.33: Veinules de QZ-CB orientées à 90° AC; présence de FL? turquoise sous forme de cube (1 mm).							
		22.56-22.57: Veine de QZ orientée à 85° AC (parallèle à la foliation); pas d'altération significative sur les épontes.							
		23.64-23.68: Veine de QZ-CB±EP; 1% SP; Tr FL?;	43752	22,67	23,42	0,75		0,007	

GOLDEN TAG RESOURCES LTD

JOURNAL DE SONDAGE AU DIAMANT

DE (m)	À (m)	DESCRIPTION LITHOLOGIQUE	ÉCHANTILLONNAGE ET ANALYSES						
			NO ÉCHAN.	DE (m)	À (m)	LARGEUR (m)	SULF. (%)	Au (ppm)	
								Au AA24	Au SCR21
		Tr sulfures (PY-CP); épontes fortement CB+.	43753	23,42	23,92	0,50		0,010	
			43754	23,92	24,67	0,75		0,009	
		26.77-27.35: Roche mafique; idem à 11.06-11.56							
		26.85-26.87: Zone d'altération QZ-CB-CL-EP; Tr de sulfures.	43755	25,91	26,66	0,75		0,021	
			43756 Blanc	*	*	*		0,005	
		26.87-26.92: Veine de QZ±CB±EP; Tr de sulfures.	43757	26,66	27,16	0,50		0,047	
		26.84-27.35: Zone d'altération QZ-CB-CL-EP; 1% PO-PY; Tr de BR ? (minéral rhomboédrique rose); localement BO+.	43758	27,16	27,86	0,70		0,041	
		27.35-28.33: Tonalite à grain moyen							
		28.33-29.40: Roche mafique (AM-PG) à grain fin (0.5mm) gris verdâtre; très légèrement CB+.	43759	27,86	28,73	0,87		1,185	
		28.94-29.01: Veine de QZ de forme lenticulaire avec épontes fortement BO+ et légèrement CB+-CL+-EP+; 2% sulfures (PY) sur les épontes	43760	28,73	29,23	0,50		0,024	
		29.40-33.64: Roche intermédiaire dioritique à grain plus grossier (2mm) gris verdâtre composée essentiellement de PG et de minéraux mafiques (AM) CL+ et BO+; légèrement CB+ et localement FP+ très local; PG légèrement EP+; Tr de sulfures; foliation orientée à 52° AC	43761	29,23	29,98	0,75		0,021	
		33.64-36.37: Roche mafique à grain fin verdâtre plus riche en AM; composé AM±PG; faiblement CB+; Tr de sulfures finement dispersés; foliation orientée à 70° AC.							
		35.00-35.01: Zone d'altération QZ-EP-CL±CB.							
		36.01-36.10: Veine de QZ gris clair±EP±CL±PY orientée à 30° AC; épontes CL+, EP+ et ±CB+.	43762	35,80	36,30	0,50		0,017	
		36.16-36.18: Veine de QZ gris clair±EP±CL±PY orientée à 30° AC; épontes plus BO+.	43763	36,30	37,00	0,70		0,007	
		36.37-38.44: Tonalite à grain moyen; grossièrement foliée;							

GOLDEN TAG RESOURCES LTD

JOURNAL DE SONDAGE AU DIAMANT

DE (m)	À (m)	DESCRIPTION LITHOLOGIQUE	ÉCHANTILLONNAGE ET ANALYSES						
			NO ÉCHAN.	DE (m)	À (m)	LARGEUR (m)	SULF. (%)	Au (ppm)	
								Au AA24	Au SCR21
		très légèrement SR+.							
		38.44-38.58: Roche intermédiaire à grain fin (0.5mm) gris verdâtre composé de PG, AM et de BO (produit d'altération); très légèrement CB+; contact sup./inf. à 63° AC.							
		38.58-39.94: Tonalite à grain moyen; foliation orientée à 78° AC.							
		39.44-42.38: Roche mafique vert foncé; aphanitique à grain très fin; composé d'AM et de PG; très faiblement CB+; Injection de QZ avec forte altération des épontes en CL-EP-CB; Tr à 1% sulfures.							
		40.44-40.45: Veine de QZ orientée parallèlement à la foliation; forte altération des épontes en EP+ - CL+ et CB+; 0.5% sulfures (PY-PO) sur les épontes.	43764	40,00	40,50	0,50		0,053	
		40.73-40.82: Veine de QZ±CB avec altération des épontes en EP-CL-CB; Tr sulfures sur épontes; orientée 20° AC.	43765 43766 Standard	40,50 *	41,00 *	0,50 *		0,017 1,325	
		42.38-42.84: Tonalite à grain moyen; partiellement SI+ et SR+.	43767	42,10	42,60	0,50		0,017	
		42.84-43.20: Roche dioritique gris brunâtre et verdâtre à grain moyen (1mm); composé de PG et de minéraux mafiques (AM) CL+ et BO+; foliation à 63° AC (marqué par l'alignement des grains BO).							
		43.20-44.35: Tonalite à grain moyen; plus SR+.							
		44.35-45.05: Roche dioritique gris brunâtre et verdâtre à grain moyen (1mm); idem à 42.84-43.20; minéraux mafiques							

GOLDEN TAG RESOURCES LTD

JOURNAL DE SONDAGE AU DIAMANT

DE (m)	À (m)	DESCRIPTION LITHOLOGIQUE	ÉCHANTILLONNAGE ET ANALYSES						
			NO ÉCHAN.	DE (m)	À (m)	LARGEUR (m)	SULF. (%)	Au (ppm)	
								Au AA24	Au SCR21
		fortement CL+ et BO+; légèrement CB+; contact sup. fracturé; contact inf. orienté selon à la foliation de la tonalite							
		45.05-45.13: Tonalite à grain moyen.							
		45.13-45.69: Roche mafique vert très foncé; cisailé; BO+ et très fortement CL+; très fracturée, passant graduellement à l'unité inférieure.							
		45.69-46.25: Roche intermédiaire vert foncé à brunâtre; BO+ et plus légèrement CL+, passant graduellement à l'unité inférieure.							
		46.25-46.83: Roche dioritique gris brunâtre et verdâtre à grain moyen (1mm); idem à 42.84-43.20.							
		46.83-47.16: Idem à 45.13-45.69; légère CB+; contact inf. fortement BO+.							
		47.16-47.37: Roche intermédiaire gris bleuté à grain fin (1mm); composé de PG (60%) gris clair et de minéraux mafiques (40%); CL+ et BO+.							
		47.37-47.49: Roche intermédiaire vert très foncé, très fortement BO+ et CL+.							
		47.49-50.64: Roche mafique; fortement BO+ et CL+; intersecté de quelques veines de QZ accompagnée d'une EP+, CL+ et BO+ des épontes; Tr de sulfures (PY) associée à l'altération; Présence de CB dans les fractures des veines; foliation orientée à 83° AC; présence de lentilles (2 cm x 1 cm) de QZ allongées selon la foliation.	43768 43769	48,20 48,70	48,70 49,45	0,50 0,75		0,033 0,013	

GOLDEN TAG RESOURCES LTD

JOURNAL DE SONDAGE AU DIAMANT

DE (m)	À (m)	DESCRIPTION LITHOLOGIQUE	ÉCHANTILLONNAGE ET ANALYSES						
			NO ÉCHAN.	DE (m)	À (m)	LARGEUR (m)	SULF. (%)	Au (ppm)	
								Au AA24	Au SCR21
		50.64-51.41: Tonalite à grain moyen; avec grains de QZ allongé selon la foliation (90° AC).							
		51.41-51.95: Roche mafique à grain très fin composée d'AM et PG; intersectée de quelques veinules (<5mm) de QZ-CB allongées parallèlement à la foliation.							
		51.95-52.30: Tonalite à grain moyen; EP+; Filonnets de PY allongés selon la foliation.							
		52.30-52.39: Idem à 51.41-51.95.							
		52.39-52.75: Idem à 51.95-52.30.							
		52.75-52.87: Idem à 51.41-51.95.							
		52.87-63.97: Tonalite à grain moyen gris clair à gris moyen avec peu d'évidence de déformation; recoupée de quelques veines de QZ (<2 cm) orientées à 70° AC et 15° AC sans altération significative des épontes; roche généralement homogène mais présentant parfois des bandes plus claires et plus riches en PG; intersectée de bandes mafiques à grain fin							
		53.69-53.70: Veine de QZ orientée 90°AC.							
		54.35-54.37: Roche mafique orientée à 90°AC.							
		54.37-54.41: Veine de QZ orientée à 65° AC.							
		54.61-54.68: Roche mafique orientée à 90°AC.							
		57.19-57.60: Roche mafique à grain fin; BO+; légèrement CB+.							
		57.60-57.82: Tonalite; SI+; injectée de veinules de QZ-CL-BO-PY (0.5-1%).	43770	57,38	57,88	0,50		0,019	
		58.67-58.70: Roche mafique à grain fin; BO+;	43771	57,88	58,63	0,75		0,011	

GOLDEN TAG RESOURCES LTD

JOURNAL DE SONDAGE AU DIAMANT

DE (m)	À (m)	DESCRIPTION LITHOLOGIQUE	ÉCHANTILLONNAGE ET ANALYSES						
			NO ÉCHAN.	DE (m)	À (m)	LARGEUR (m)	SULF. (%)	Au (ppm)	
								Au AA24	Au SCR21
		jusqu'à 3% PO-PY sous forme de filonnets encaissés dans les fractures de la tonalite.							
		58.89-58.90: Veinules de QZ orientées parallèlement à la foliation (87° AC); 0.5% PY près des épontes.	43772 43773	58,63 59,13	59,13 59,49	0,50 0,36		0,010 0,007	
		59.73-59.95: Veine de QZ orientée à 87° AC; Tr PY sur les épontes; épontes légèrement SI+.	43774	59,49	59,99	0,50		0,010	
		61.09-61.11: Roche mafique à grain fin; orientée selon la foliation; BO+, CL+ et légèrement EP+; 1% PY sur les épontes.	43775	59,99	60,74	0,75		0,006	
		61.18-61.22: Intrusif mafique; idem à 61.09-61.11.							
		62.37: Veine (2cm) de QZ±CL±BO±CB; orientée selon la foliation (85° AC) ou sous forme de remplissage de fractures (35° AC).	43776 43777 Blanc	62,32 *	62,92 *	0,60 *		0,008 -0,005	
		62.82-62.89: Veine de QZ avec enveloppe (2.5 mm) de SR formant une lentille dont le grand axe est orienté selon la foliation; Tr de PO-PY.							
		63.97-66.80: Section constituée essentiellement de bandes mafiques AM+, vert foncé à grain très fin; recoupées de veinules de QZ replissées; présence de veinules de QZ démembrées formant des lentilles plurimillimétriques allongées selon à la foliation (82° AC); quelques zones d'altération de QZ-EP-CL-CB-FP K avec Tr de PO-PY-CP d'épaisseur centimétrique à pluricentimétrique.	43778 43779 43780 43781 43782	62,92 63,67 64,33 64,99 65,74	63,67 64,33 64,99 65,74 66,49	0,75 0,66 0,66 0,75 0,75		0,027 0,021 0,011 0,006 0,020	
		e.g.: 65.90-65.92; 65.95-65.97.							
		66.80-97.73: Tonalite à grain moyen.	43783	66,49	67,24	0,75		0,019	
		67.61-67.62: Veine de QZ enfumé orientée à 80° AC.	43784 43785	67,24 67,74	67,74 68,49	0,50 0,75		0,006 -0,005	
		68.94-69.18: Roche mafique AM+ à grain fin; BO+ et légèrement CB+.	43786	68,49	69,00	0,51		0,015	

GOLDEN TAG RESOURCES LTD

JOURNAL DE SONDAGE AU DIAMANT

DE (m)	À (m)	DESCRIPTION LITHOLOGIQUE	ÉCHANTILLONNAGE ET ANALYSES						
			NO ÉCHAN.	DE (m)	À (m)	LARGEUR (m)	SULF. (%)	Au (ppm)	
								Au AA24	Au SCR21
		69.04-69.05: Veine (1 cm) de QZ; orientée à 86° AC; 1 point d'or visible; épontes SI+ avec Tr à 1% sulfures.	43787	69,00	69,10	0,10		*	0.59
		69.18-71.10: Tonalite à grain moyen; PG très légèrement EP+.	43788 43789	69,10 69,60	69,60 70,35	0,50 0,75		0,059 -0,005	
		71.10-71.26: Tonalite à grain moyen intersectée un dyke intermédiaire de PG et AM; EP+; contact sup./inf. à 45° AC.							
		71.26-80.31: Tonalite à grain moyen avec bandes de couleur blanchâtre avec PG de couleur claire; PG partiellement EP+; foliation à 70° AC.							
		77.02-77.11: Section plus EP+ avec injection d'une veine de QZ (1-2cm) orientée selon à la foliation.	43790 43791 43792	76,22 76,82 77,32	76,82 77,32 77,92	0,60 0,50 0,60		-0,005 0,013 0,009	
		80.31-80.88: Roche mafique aphanitique à grain très fin; contact sup. net à 50° AC (opposé); contact inf. net à 50° AC; légèrement BO+ et CB+.							
		80.88-80.95: Tonalite partiellement SI; 3% PO-PY près du contact inf..							
		80.95-81.54: Idem à 80.31-80.88.							
		81.54-82.41: Tonalite à grain moyen; rares veinules de QZ (<1cm) orientées parallèlement à foliation et accompagnée d'une légère CL+ des épontes; Tr de sulfures; foliation à 80° AC.							
		82.28-82.29: Veine de QZ orientée parallèlement à la foliation.							
		82.31-82.33: Veine de QZ orientée parallèlement à la foliation.							
		82.41-83.81: Roche mafique (AM+) vert foncé aphanitique à grain très fin; présence de zones d'altération (<1cm) en QZ-FP-CL-CB-FP K avec Tr de PO-PY; injecté de veinules (<5mm) de QZ							

GOLDEN TAG RESOURCES LTD

JOURNAL DE SONDAGE AU DIAMANT

DE (m)	À (m)	DESCRIPTION LITHOLOGIQUE	ÉCHANTILLONNAGE ET ANALYSES						
			NO ÉCHAN.	DE (m)	À (m)	LARGEUR (m)	SULF. (%)	Au (ppm)	
								Au AA24	Au SCR21
		replissées et démembrées; rares veinules (<5mm) de QZ orientées à 90°AC.							
		83.78-83.81: Veine de QZ-CL orientée selon à la foliation de la tonalite; épontes CL+, BO+ et légèrement CB+; Tr. de sulfures sur l'épontes sup.	43793 43794 43795	82,94 83,54 84,04	83,54 84,04 84,64	0,60 0,50 0,60		-0,005 0,016 0,068	
		83.81-97.73: Section essentiellement composée de tonalite à grain moyen grossièrement foliée; très légèrement SR+ et localement EP+; jusqu'à 1%PY-PO; très peu fracturée.							
		87.45-87.52: Veine de QZ-BO avec 1% PO-PY; orientée parallèlement foliation; épontes très légèrement SR+, EP+ et SI+.	43796 43797 Standard 43798 Blanc 43799 43800	86,64 * * 87,24 87,74	87,24 * * 87,74 88,34	0,60 * * 0,50 0,60		-0,005 1,265 -0,005 0,019 0,053	
		88.88-88.94: Zone d'altération CL-EP- CB-QZ±FP K±PO-PY	43001 43002 43003	88,34 88,76 89,26	88,76 89,26 90,01	0,42 0,50 0,75		0,014 0,028 0,010	
		91.80-91.98: Roche mafique à grain fin; AM+ et BO+; contact sup./inf. net à 70° AC (opposé).							
		92.70: Veinule (5mm) de QZ orientée à 60° AC (opposé); remplissage de fracture.							
		95.33-95.36: Veine de QZ orientée à 60° AC (opposé); remplissage de fracture.							
		FIN DU SONDAGE À 97.73. TUBAGE RETIRE.							



JOURNAL DE SONDAGE AU DIAMANT

PROPRIÉTÉ: AQUILON**DDH No: AQU-04-07****Grille:****Station:****Ligne:****Coord. UTM (NAD 83)****Estant: 663 291****Nordant: 5 995 739****Élévation: 424 m****Titre minier: 3948****Plongée: -60°****Azimuth: N150°****Profondeur: 43.30 m****Calibre: BTW****Entreposage: Propriété****Foré par: Forage Utika Inc.****Journal par: Roger Moar, géo****Débuté le: 23 septembre 2004****Terminé le: 24 septembre 2004****TESTS D'ORIENTATION (HCI)
PROFONDEUR PLONGÉE AZIMUTH**

JOURNAL DE SONDAGE AU DIAMANT

DE (m)	À (m)	DESCRIPTION LITHOLOGIQUE	ÉCHANTILLONNAGE ET ANALYSES						
			NO ÉCHAN.	DE (m)	À (m)	LARGEUR (m)	SULFURES (%)	Au (ppm)	
								Au- AA24	Au- SCR2 1
0.00	3,05	TUBAGE							
3.05	28,74	TONALITE Roche de couleur gris clair à gris moyen; à grain moyen (2mm); composée 75-80 % de PG subédrique, 7% de fines BO et d'environ de 15-20% QZ anédrique ; massive à très grossièrement foliée; moyennement à peu fracturée (fractures orientées à 40° AC (opposé) 30° AC, et plus rarement à 10° AC); Tr de PY dispersée; PG localement EP+ ; intersectée de nombreux dykes et/ou filon-couches mafiques d'épaisseur variable, AM+, CL+ , BO+ et légèrement CB+.							
		3.05-5.28: Tonalite à grain moyen; localement EP+							
		5.28-5.38: Roche mafique gris verdâtre à grain très fin (0.5mm); composée PG-AM-BO ; Tr de PY; contacts orientés à 85° AC; foliation à 85° AC marquée par l'alignement des grains de BO.					TR		
		5.38-5.45: Tonalite à grain moyen, partiellement SI+.							
		5.45-8.35: Zone de faille; dyke mafique très fortement CL+ et BO+. Légèrement magnétique; Tr de PY; foliation à 50° AC					TR		
		5.45-6.85: Roche très fracturée à intervalles de 1-3cm.							
		6.85 - 7.85: Aucune récupération.							

JOURNAL DE SONDAGE AU DIAMANT

DE (m)	À (m)	DESCRIPTION LITHOLOGIQUE	ÉCHANTILLONNAGE ET ANALYSES						
			NO ÉCHAN.	DE (m)	À (m)	LARGEUR (m)	SULFURES (%)	Au (ppm)	
								Au- AA24	Au- SCR2 1
		7.85-8.35: Roche fracturée à intervalles 5-20cm							
		8.35-12.00: Tonalite à grain moyen partiellement SI+; très fracturée; grossière foliation à 80° AC; 8.73: fracture à 30° AC.							
		8.98-12.00: Tonalite à grain moyen localement EP+ avec enrichissement en FP K. 11.00: foliation orienté 60° AC marquée par l'allongement des FP.							
		12.00-13.14: Roche intermédiaire à grain moyen ; composée de PG-AM-BO ; Diorite/Gabbro AM+, CL+, EP+; Tr PY disséminée.					TR		
		13.14-13.82: Tonalite à grain moyen.							
		13.82-13.94: Roche mafique très CL+ et BO+.							
		13.94-15.04: Tonalite à grain moyen. 15.00: Foliation orientée à 80° AC.							
		15.04-15.83: Roche mafique à grain moyen; AM+, CL+ et EP+; foliation à 80° AC; Tr PY.							
		15.83-16.96: Tonalite à grain moyen; EP+.							
		16.96.17.13: Roche mafique à grain fin (0.5mm) gris et verdâtre; grossièrement foliée; composée 30% de PG							

No du sondage: AQU-04-07

JOURNAL DE SONDAGE AU DIAMANT

DE (m)	À (m)	DESCRIPTION LITHOLOGIQUE	ÉCHANTILLONNAGE ET ANALYSES						
			NO ÉCHAN.	DE (m)	À (m)	LARGEUR (m)	SULFURES (%)	Au (ppm)	
								Au- AA24	Au- SCR2 1
		subédrique partiellement EP+ de 70 % minéraux mafiques (AM) partiellement BO+; Tr de PY; contact sup. 70° AC // foliation de la tonalite.							
		17.13-18.69: Tonalite à grain moyen; PG partiellement EP+.							
		18.69-19.27: Roche mafique à grain fin (0.5mm); idem à 16.96-17.13; contact sup. net à 60° AC; contact inf. net à 75° AC.							
		19.27-20.22: Tonalite gris clair à grain moyen.							
		20.22-20.43: Roche mafique à grain fin (0.5mm); idem à 16.96-17.13; AM+ et BO+; Tr PY; contact inf./sup. // foliation (80° AC) de la tonalite.					TR		
		20.43-20.93: Tonalite gris clair à grain moyen.							
		20.93-21.32: Roche mafique à grain fin (0.5mm); idem à 20.22-20.43							
		21.32-23.05: Tonalite à grain moyen; recoupée par des dykes mafiques centimétriques à pluricentimétriques.							
		22.97-23.05: Zone d'altération en EP+ avec légère CB+; Tr de PY.					TR		
		23.05-23.95: Tonalite à grain moyen; FP nettement plus étiré // foliation (80° AC).							

JOURNAL DE SONDAGE AU DIAMANT

DE (m)	À (m)	DESCRIPTION LITHOLOGIQUE	ÉCHANTILLONNAGE ET ANALYSES						
			NO ÉCHAN.	DE (m)	À (m)	LARGEUR (m)	SULFURES (%)	Au (ppm)	
								Au- AA24	Au- SCR2 1
		23.95-28.07: Roche mafique à grain très fin de couleur vert foncé ; rares gloméroporphYROBLASTES (15mm) de PG-QZ ; présence de veines de QZ avec PO-PY avec épontes EP+ et légèrement CB+.	43019 BLANC	*	*	*		-0,005	
		24.27-24.28: Veine (1cm) de QZ gris avec altération des épontes en EP-CL-CB; Tr PO-PY.	43020	24,08	24,88	0,80	TR	0,011	
		24.38-24.40: Zone d'altération en CB-CL-EP ; PO formant des amas (5mm x 4mm) ; PY sous forme de filonnets.					TR		
		24.42: Veinules (5mm) de QZ boudinées et orientées à 70° AC.							
		24.60-24.62: Veine de QZ orientée à 70° AC avec filonnets de PO-PY orientée // à la veine.					TR		
		24.63: Veinule de QZ orientée à 70° AC							
		24.74: Veinule QZ à 40° AC							
		24.81: Veinule QZ orientée à 75° AC; Tr. PY					TR		
		24.93: Veine (1 cm) de QZ orientée à 70° AC	43021	24,88	25,38	0,50		0,016	
		24.97-24.99: Zone d'altération CL-EP-CB; 1% PO-PY.					1		
		25.02-25.11: Veine de QZ±CL±EP±CB ; < 1% PO-PY					<1		
		25.86: Zone altération avec veinules de QZ-EP-CL±CB ; Tr. sulfures.	43022	25,38	26,13	0,75	TR	-0,005	
		25.90: Zone altération avec veinules de QZ-EP-CL±CB ; Tr. sulfures.					TR		
		25.92: Zone altération avec veinules de QZ-EP-CL±CB ; Tr. sulfures.					TR		

JOURNAL DE SONDAGE AU DIAMANT

DE (m)	À (m)	DESCRIPTION LITHOLOGIQUE	ÉCHANTILLONNAGE ET ANALYSES						
			NO ÉCHAN.	DE (m)	À (m)	LARGEUR (m)	SULFURES (%)	Au (ppm)	
								Au- AA24	Au- SCR2 1
		26.13: Veine de QZ orienté à 68° AC ; Tr PY.					TR		
		27.07-27.22: Section très fracturée et broyée.							
		27.39: Veinule (5mm) de QZ orienté à 40° AC.							
		28.07-28.79: Tonalite à grain moyen.							
28.74	43.30	<p>DYKE DE PEGMATITE A GRENAT</p> <p>Dyke de pegmatite de couleur rose saumon, gris et blanchâtre; texture pegmatitique (>1cm); composé de QZ laiteux anédrique, d'orthose euédrique, de PG blanchâtre euédrique et de muscovite en feuillet; présence de GR subédrique (7mm); texture graphique (QZ-FP K) bien développée ; roche fortement fracturée (60°, 30° et 10° AC) avec débit variant de 3-15cm.</p>							
		40.95-43.30: Zone de faille avec roche intensément fracturée et broyée.							
		FIN DU SONDAGE À 43.30 m. TUBAGE RETIRÉ.							



JOURNAL DE SONDAGE AU DIAMANT

PROPRIÉTÉ: AQUILON

No du sondage: AQU-04-08

Grille:

Station:

Ligne:

Coord. UTM (NAD 83)

Estant: 663 129

Nordant: 5 995 675

Élévation: 425 m

Titre minier: 3937 & 3948

Plongée: -60°

Azimuth: N150°

Profondeur: 80.56

Calibre: BTW

Entreposage: Propriété

Foré par: Forage Utika Inc.

Journal par: Roger Moar, géo

Débuté le: 25 septembre 2004

Terminé le: 26 septembre 2004

TESTS D'ORIENTATION (HCI)

PROFONDEUR

80.56 m

PLONGÉE

-59°

AZIMUTH

JOURNAL DE SONDAGE AU DIAMANT

DE (m)	À (m)	DESCRIPTION LITHOLOGIQUE	ÉCHANTILLONNAGE ET ANALYSES						
			NO ÉCHAN.	DE (m)	À (m)	LARGEUR (m)	SULF. (%)	Au (ppm)	
								Au- AA24	Au- SCR21
0.00	1.22	TUBAGE							
1.12	80.56	TONALITE Roche de couleur gris clair à gris moyen; massive à très grossièrement foliée; à grain moyen (2-3mm); composée de 80-85% PG subédrique, 10-15 % de QZ anédrique et interstitiel, et de 5% de fines BO; moyennement à peu fracturée; fractures orientées à 82° (// foliation); 73° AC (opposé) et plus rarement à 31° AC (opposé) et espacées à intervalle de 10 à 25cm dans les premiers 7m, et de 45 à 85 cm dans le reste du sondage; Tr de PY dispersée; légère SR+; Tr de MT; intersectée de dykes et filon couches mafiques AM+, BO+ et légèrement CB+ et EP+.							
		1.12-4.85: Section plus SR+.							
		4.85-6.50: Tonalite à grain moyen							
		6.34: Veine (1cm) de QZ orientée à 42° AC.							
		6.50-6.53: Roche mafique AM+ à grain fin; PG altéré en EP; contacts orientés selon la foliation.							
		6.53-6.57: Veine de QZ orientée parallèlement à AC.							
		6.57.14.22: Tonalite à grain moyen de teinte plus claire; grossièrement folié. 10.00: Foliation orientée à 78° AC.	43023	13,49	14,01	0,52		0,011	

JOURNAL DE SONDAGE AU DIAMANT

DE (m)	À (m)	DESCRIPTION LITHOLOGIQUE	ÉCHANTILLONNAGE ET ANALYSES						
			NO ÉCHAN.	DE (m)	À (m)	LARGEUR (m)	SULF. (%)	Au (ppm)	
								Au- AA24	Au- SCR21
		14.22-14.31: Veine de QZ blanchâtre orientée à 42° AC (opposé).	43024	14,01	14,51	0,50		-0,005	
		14.31-14.49: Tonalite à grain moyen.	43025	14,51	15,01	0,50		0,021	
		14.49-14.89: Roche mafique AM+ à grain fin (0.5mm); CL+ et BO+; PG partiellement EP+; Tr PY; contact sup./inf. net à 60° AC.							
		14.89-16.84: Tonalite à grain moyen							
		16.40, 16.44 et 16.44: Veinules (0.5-1cm) de QZ orientées à 20° AC.							
		16.84-17.96: Roche mafique AM+ à grain fin; idem à 14.49-14.89; très légèrement CB+; contact inf./sup. à 76° AC.							
		17.96-20.83: Tonalite à grain moyen.							
		18.36-18.38: Veine de QZ-AM orientée à 60° AC (opposée à la foliation).	43026	18,13	18,63	0,50		-0,005	
		18.50-18.51: Veine de QZ orientée à 45° AC (opposée à la foliation).							
		20.83-20.98: Roche mafique AM+ à grain moyen (1mm) gris verdâtre et brunâtre composée de 45% minéraux mafiques verdâtre CL+ et partiellement BO+ et de 55% de PG partiellement EP+; contacts orientés selon la foliation de la tonalite (72° AC).							

JOURNAL DE SONDAGE AU DIAMANT

DE (m)	À (m)	DESCRIPTION LITHOLOGIQUE	ÉCHANTILLONNAGE ET ANALYSES						
			NO ÉCHAN.	DE (m)	À (m)	LARGEUR (m)	SULF. (%)	Au (ppm)	
								Au- AA24	Au- SCR21
		20.98-21.40: Tonalite à grain moyen; grossièrement foliée.							
		21.40-21.90: Roche mafique AM+ à grain moyen (1mm); idem à 20.83-20.98; contact sup. orientée selon la foliation de la tonalite; contact inf. à 35° AC; section inf. fortement EP+.	43027 43028 Standard	21,03 *	21,78 *	0,75 *		-0,005 1,285	
		21.90-22.28: Tonalite à grain moyen fortement EP+ et FP+.	43029	21,78	22,28	0,50		-0,005	
		22.28-25.38: Tonalite à grain moyen 23.00: Veinule (5mm) de QZ orientée à 47° AC; Tr PO.	43030	22,28	23,03	0,75		-0,005	
		24.41-24.42: Veine de QZ orientée à 82° AC (// foliation).							
		24.34: Veinule (5mm) de QZ avec filonnets de PO.							
		25.38-25.50: Roche mafique AM+ à grain moyen (1mm); idem à 20.83-20.98; contacts à 82° AC; contact sup. EP+; contacts inf. BO+.							
		25.50-27.64: Tonalite à grain moyen.							
		27.64-28.02: Roche mafique AM+ à grain très fin (0.5 mm).							
		28.02-28.53: Tonalite à grain moyen.							
		28.53-30.20: Roche mafique AM+ vert foncé; aphanitique à grain très fin; présence de zone d'altération; QZ-CL-EP-CB-	43031	28,52	29,27	0,75		0,005	

JOURNAL DE SONDAGE AU DIAMANT

DE (m)	À (m)	DESCRIPTION LITHOLOGIQUE	ÉCHANTILLONNAGE ET ANALYSES						
			NO ÉCHAN.	DE (m)	À (m)	LARGEUR (m)	SULF. (%)	Au (ppm)	
								Au- AA24	Au- SCR21
		(PY); contact sup. BO+.							
		28.63-28.64: Zone d'altération QZ-EP-CL-CB±PY.	43032	29,27	30,02	0,75		0,006	
		28.81-28.84: Veine de QZ±CL±EP de forme lenticulaire allongée à 90° AC.	43033	30,02	30,77	0,75		-0,005	
		29.35-29.36: Zone d'altération QZ-EP-CL±CB±PY	43034	30,77	31,52	0,75		0,01	
		29.65-29.68: Veine de QZ enfumé ±CL±EP±PY avec altération des épontes en CL-EP±CB; orientée à 65° AC.							
		29.84-29.85: Idem à 29.65-29.68.							
		30.00: Idem à 29.65-29.68; 1cm.							
		30.20-31.10: Tonalite à grain moyen							
		31.10-31.53: Roche mafique AM+ vert foncé à grain très fin injectée de QZ±CL±EP±PY±CB sous forme de lentilles plurimillimétriques à pluricentimétriques;							
		31.53-31.71: Tonalite à grain moyen; grossièrement foliée.							
		31.71-32.08: Roche mafique AM+ vert foncé aphanitique à grain très fin; légèrement BO+; contact sup. net à 76° AC; contact inf. ondulant de 76° AC à 60° AC.							
		32.08-34.55: Tonalite à grain moyen; localement SR+; injectée de fines veinules (2-5mm) de QZ orientée // foliation.							
		32.48-32.50: Veine de QZ de forme lenticulaire allongée // foliation.							

JOURNAL DE SONDAGE AU DIAMANT

DE (m)	À (m)	DESCRIPTION LITHOLOGIQUE	ÉCHANTILLONNAGE ET ANALYSES						
			NO ÉCHAN.	DE (m)	À (m)	LARGEUR (m)	SULF. (%)	Au (ppm)	
								Au- AA24	Au- SCR21
		32.50-32.51: Roche mafique AM+, CL+ et BO+.							
		32.80-32.83: Zone d'altération en SR+.							
		33.35-33.37: Veine de QZ-AM-EP-CB; orienté à 77° AC (// foliation)							
		33.43-33.64: Section SI+ et EP+.							
		34.55-34.90: Roche mafique AM+; moyennement CL+ et fortement BO+.							
		34.90-42.17: Tonalite à grain moyen, avec bande (1-4cm) blanchâtre, plus riche en PG; légèrement SR+.							
		40.07-40.09: Veine de QZ gris; 3% PO sous forme de filonnets, de remplissage de fractures ou d'amas (2mm x 1mm); épontes SI+; orientée à 80° AC.	43035	39,84	40,34	0,50		0,044	
		41.35: Veinule (5mm) de QZ orientée à 24° AC; Tr PY.							
		42.00: Foliation orientée à 70° AC.							
		42.17-43.95: Roche mafique AM+ gris foncé à verdâtre à grain très fin; Tr de PY sous forme de très fin filonnets orientés // à la foliation; présence de fines veinules de CB orientées // à la foliation; remplissage EP dans les fractures. roche très fracturée; contact sup./inf. à 65° AC.							
		42.29: Veine de QZ (3cm) avec altération des épontes en CL-EP±CB±FP K; Tr PY.							
		43.95-44.35: Tonalite à grain moyen; SI+; foliation orientée à 70° AC; injectée de veinules (5mm) de QZ gris orientées à							

JOURNAL DE SONDAGE AU DIAMANT

DE (m)	À (m)	DESCRIPTION LITHOLOGIQUE	ÉCHANTILLONNAGE ET ANALYSES						
			NO ÉCHAN.	DE (m)	À (m)	LARGEUR (m)	SULF. (%)	Au (ppm)	
								Au- AA24	Au- SCR21
		22° AC.							
		44.35-46.45: Roche mafique AM+ à grain fin; CL+ et BO+; présence de quelques zones d'altération QZ-AM-EP-CL-CB±PY d'environ 1-3cm; Tr 1% PY.	43036	45,01	45,76	0,75		-0,005	
		e.g. 45.90-45.92; 45.99-46.02; 46.04-46.07; 46.41-46.42; 46.43-46.45.	43037	45,76	46,26	0,50		0,015	
		46.45-47.32: Tonalite à grain moyen.	43038	46,26	47,01	0,75		0,015	
		47.32-47.44: Roche mafique AM+ à grain fin; CL+ et BO+.	43039	47,01	47,76	0,75		0,018	
			43040 Blanc	*	*	*		-0.005	
		47.44-47.69: Tonalite à grain moyen.	43041	47,76	48,26	0,50		0,021	
		47.69-53.16: Roche mafique AM+ à grain fin à très fin de couleur vert foncé; localement BO+ et très légèrement CB+; injection de QZ avec altération des épontes en EP-CL±CB avec Tr à 1% PO-PY; ces zones sont localement plus BO+.	43042	48,26	49,01	0,75		-0,005	
		47.88-48.19: Section fortement BO+ avec zone d'altération en QZ-CB-EP-CL-FP K; jusqu'à 3% PO-CP.	43043	49,01	49,81	0,80		-0,005	
		49.17 et 49.20: Veine (1-2 cm) lenticulaire de QZ±CB (remplissage de fractures); Tr PO-CP sur les épontes; orientée à 75° AC; altération des épontes en BO, EP, CL et CB.	43044	49,81	50,31	0,50		0,01	
		49.54-49.66: Idem à 47.88-48.19.	43045	50,31	51,02	0,71		0,02	
		51.24-51.30: Zone d'altération QZ-CB-EP-AM-FP K-CL; Tr sulfures; fortement CB+.	43046	51,02	51,52	0,50		0,012	

JOURNAL DE SONDAGE AU DIAMANT

DE (m)	À (m)	DESCRIPTION LITHOLOGIQUE	ÉCHANTILLONNAGE ET ANALYSES						
			NO ÉCHAN.	DE (m)	À (m)	LARGEUR (m)	SULF. (%)	Au (ppm)	
								Au- AA24	Au- SCR21
		53.16-53.27: Veine de QZ blanchâtre; éponte CL + et BO+; contact inf. net à 45° AC	43047	52,95	53,45	0,50		-0,005	
		53.27-53.71: Tonalite à grain moyen; teinte légèrement violacée avec BO rougeâtre; intersectée de rares veines (<1cm) de QZ.	43048	53,45	54,40	0,95		-0,005	
		53.71-56.91: Tonalite à grain moyen; grossière foliation à 72° AC.							
		54.56-54.64: Veine de QZ orientée à 30° AC.	43049	54,40	54,90	0,50		-0,005	
		54.67: Veinule (5mm) de QZ gris orientée // à la foliation.							
		54.99-55.00: Veine de QZ orientée à 35° AC (opposé).	43050	54,90	55,65	0,75		0,03	
		56.12-56.38: Roche mafique AM+ à grain fin à très fin de couleur vert foncé.							
		56.64-56.69: Zone silicifiée avec filonnets PO-PY orientés // à la foliation.	43051	55,65	56,40	0,75		-0,005	
		56.91-57.67: Roche mafique AM+ verte foncée à grain fin; injecté de veines QZ avec minéralisation de PO-CP sous forme de remplissage de fractures.	43052	56,40	56,90	0,50		0,006	
		56.91-57.02: Zone d'altération en CL-EP-QZ-CB; 5-7% PO±CP; sulfures sous forme de remplissage de fractures à 30° AC (opposé à la foliation) et formant un amas de 4 cm X 0.03 cm à 1.5 cm.	43053	56,90	57,13	0,23		1,32	
		57.44-57.50: Veine lenticulaire (1-2cm) de QZ avec forte altération des épontes en BO	43054	57,13	57,65	0,52		-0,005	
		57.67-58.57: Tonalite à grain moyen.	43055	57,65	58,40	0,75		0,012	

JOURNAL DE SONDAGE AU DIAMANT

DE (m)	À (m)	DESCRIPTION LITHOLOGIQUE	ÉCHANTILLONNAGE ET ANALYSES						
			NO ÉCHAN.	DE (m)	À (m)	LARGEUR (m)	SULF. (%)	Au (ppm)	
								Au- AA24	Au- SCR21
		58.07-58.10: Veine de QZ orientée // à la foliation.							
		58.10-58.11: Tonalite à grain moyen.							
		58.11-58.12: Roche mafique fortement BO+.							
		58.12-58.15: Tonalite à grain moyen.							
		58.15-58.16: Roche mafique fortement BO+.							
		58.16-58.17: Veine de QZ orientée // à la foliation.							
		58.17-58.57: Tonalite à grain moyen							
		58.57-61.39: Roche mafique à grain très fin (0.5mm); BO+ et légèrement CB+; intersecté de quelques veines (<15 mm) de QZ±CL±EP±CB±FP K avec Tr de sulfures et orientées à 73° AC (// à la foliation).							
		e.g.: 59.18-59.20; 59.63-59.66; 61.83-61.84.	43056	60,46	61,16	0,70		0,013	
		61.39-61.44: Veine de QZ avec Tr PO-CP; éponges CL+; orientée // à la foliation.	43057	61,16	61,66	0,50		0,291	
		61.44-61.82: Tonalite à grain moyen.							
		61.82-61.85: Zone d'altération QZ-EP-CB-CL-FP K; Tr de PY.	43058 43059 Standard	61,66 *	62,36 *	0,70 *		0,014 1,310	
		61.85-64.73: Tonalite à grain moyen; localement EP+ et légèrement SR+; injecté de quelques veines (1.5-5cm) de QZ orientées généralement // à la foliation (50° AC).							
		62.66-62.69: Veine QZ orientée à 30° AC (opposé).	43060 43061 Blanc	62,36 *	63,06 *	0,70 *		-0,005 -0.005	
		63.07-63.08: Veine QZ orientée // à la foliation.							

JOURNAL DE SONDAGE AU DIAMANT

DE (m)	À (m)	DESCRIPTION LITHOLOGIQUE	ÉCHANTILLONNAGE ET ANALYSES						
			NO ÉCHAN.	DE (m)	À (m)	LARGEUR (m)	SULF. (%)	Au (ppm)	
								Au- AA24	Au- SCR21
		63.08-63.16: Roche mafique CL+, BO+ et légèrement EP+	43062	63,06	63,76	0,70		0,006	
		63.16-63.23: Veine QZ orientée // à la foliation.	43063	63,76	64,46	0,70		-0,005	
		63.31-63.37: Veine QZ orientée // à la foliation.							
		63.54-63.59: Roche mafique CL+, BO+, légèrement EP+ et CB+.							
		63.59-63.63: Veine QZ orientée // à la foliation.							
		64.73-68.42: Roche mafique AM+ à grain très fin (<0.5mm); localement BO+; injecté de fines veinules de QZ orientées // à foliation; rares zones d'altération QZ-CL-EP-CB-FP K							
		65.37-65.42: Zone fortement BO+; 2% PO-CP.	43064	65,19	65,69	0,50		0,007	
		65.42-65.47: Veine de QZ-AM±EP±FPK±CB; 1% PO-CP.	43065	65,69	66,39	0,70		-0,005	
		68.01-68.04: Veine QZ-CB±AM± EP±FP K.							
		68.42-80.56: Tonalite à grain moyen; intersectée de dykes (<10 cm) mafiques AM+ à grain très fin et de bandes plus claires (PG) avec AM.							
		69.00: Foliation orientée à 70° AC							
		69.14-69.25: Roche mafique AM+ à grain très fin; contact sup. à 73° AC; contact inf. à 60° AC.	43066	69,01	69,71	0,70		-0,005	
		69.84-70.04: Roche mafique AM+ à grain fin; BO+.							
		69.91-69.96: Veine de QZ; 1% PO-CP près des épontes; associée à une zone d'altération en QZ-CB-EP-FPK	43067	69,71	70,21	0,50		0,023	
		72.00-72.40: Abondance de bandes blanchâtres de teinte rose avec PG±FP K; QZ formant des yeux	43068	70,21	70,91	0,70		0,022	

JOURNAL DE SONDAGE AU DIAMANT

DE (m)	À (m)	DESCRIPTION LITHOLOGIQUE	ÉCHANTILLONNAGE ET ANALYSES						
			NO ÉCHAN.	DE (m)	À (m)	LARGEUR (m)	SULF. (%)	Au (ppm)	
								Au- AA24	Au- SCR21
		(1,5 x 2 mm) allongés // à la foliation; localement EP+.							
		75.06-75.10: Zone silicifiée de teinte grise et brunâtre; présence de BO rougeâtre (ferrifère); Tr PO formant des filonnets orientées // à la foliation (84° AC).	43069	74,43	74,93	0,50		0,105	
			43070	74,93	75,23	0,30		0,138	
			43071	75,23	75,73	0,50		0,180	
		77.64-78.02: Diorite à grain moyen; composée de PG et de BO alignée selon la foliation; contact net sup. à 63° AC (opposé).							
		79.02-79.06: Veine de QZ orientées à 43° AC (opposé); 1% PO-PY sur les épontes.	43073	78,20	78,90	0,70		-0,005	
			43074	78,90	79,20	0,30		-0,005	
			43072	79,20	79,90	0,70		-0,005	
		FIN DU SONDAGE A 80.56 m. TUBAGE RETIRE.							



JOURNAL DE SONDAGE AU DIAMANT

PROPRIÉTÉ: AQUILON

No du sondage: AQU-04-09

Grille:

Station:

Ligne:

Coord. UTM (NAD 83)

Estant: 663 174

Nordant: 5 995 679

Élévation: 425 m

Titre minier: 3937 & 3948

Plongée: -60°

Azimuth: N150°

Profondeur: 88.73 m

Calibre: BTW

Entreposage: Propriété

Foré par: Forage Utika Inc.

Journal par: R. Moar, géo

Débuté le: 26 septembre 2004

Terminé le: 28 septembre 2004

TESTS D'ORIENTATION (HCI)

PROFONDEUR

88.73 m

PLONGÉE

-62°

AZIMUTH

JOURNAL DE SONDAGE AU DIAMANT

DE (m)	À (m)	DESCRIPTION LITHOLOGIQUE	ÉCHANTILLONNAGE ET ANALYSES						
			NO ÉCHAN.	DE (m)	À (m)	LARGEUR (m)	SULF. (%)	Au (ppm)	
								Au AA24	Au SCR21
0.00		TUBAGE							
0.00	9.90	ROCHE MAFIQUE AMPHIBOLITISE Roche de couleur vert foncé, aphanitique à grain très fin (<0.5mm); composée de 90% d'AM verte foncée, <10% de PG de couleur grisâtre; très légèrement CB+ et localement BO+; rare glomérophyroblaste (10-15 mm) de QZ-PG; très fine foliation (75° AC) marquée par l'alignement des minéraux mafiques; Tr de PO-PY finement dispersée mais généralement sous forme très fins filonnets alignés selon la foliation; injectée de fines veinules de QZ orientées selon la foliation; fractures orientées selon le plan de foliation et espacées à intervalle de 15 à 30 cm; quelques fractures orientées à 15° AC; légèrement magnétique (présence de PO).							
		0.96-1.00: Zone d'altération en EP-QZ; 2% PO±PY±CP.					2		
		1.35-1.37: Veine QZ orientée selon la foliation; Tr PO-CP.					TR		
		1.76-1.78: Veine QZ orientée selon la foliation; Tr PO-CP.					TR		
		1.94-1.95: Veine QZ orientée selon la foliation; Tr PO-CP.	43075	1.77	2.52	0.75	TR	0.112	
		1.97-2.00: Veine QZ orientée selon la foliation; épontes CL+ et EP+; Tr sulfures.	43076	2.52	2.82	0.30	TR	0.04	
		2.04-2.05: Veine QZ orientée selon la foliation; épontes CL+ et EP+; Tr sulfures.	43077	2.82	3.67	0.85	TR	0.022	

JOURNAL DE SONDAGE AU DIAMANT

DE (m)	À (m)	DESCRIPTION LITHOLOGIQUE	ÉCHANTILLONNAGE ET ANALYSES						
			NO ÉCHAN.	DE (m)	À (m)	LARGEUR (m)	SULF. (%)	Au (ppm)	
								Au AA24	Au SCR21
		2.34-2.39: Zone d'altération QZ-CB-AM-EP; 3-5% PO-CP remplissant une fracture orientée à 15° AC et formant un amas de 7mm x 15mm.					3-5		
		3.08-3.09: Veine QZ-CB orientée selon la foliation.							
		3.59-3.61: Zone d'altération en CB; 0.5-1% PO±CP.					0.5-1		
		4.92-4.94: Veinule (5mm) de QZ avec altération des épontes EP-CB; orientée parallèlement à la foliation.							
		5.05-5.06: Veine QZ orientée selon la foliation; épontes sup. BO+.							
		5.43: Présence de 2 glomérophyroblastes (5mm) de PG-QZ.							
		5.71: Veinule de QZ (5mm) orientée à 40° AC.							
		6.56-6.64: Zone d'altération en EP; avec 5% de phosporoblastes de grenat (3-5mm) subédrique.							
		6.70-6.73: Veine QZ-EP orientée selon la foliation.							
		6.00: Fracture à 30° AC avec remplissage EP-QZ.							
		7.40: Fracture à 30° AC avec remplissage EP-QZ.							
		8.20-8.21: Veine QZ-EP-AM-CB orientée parallèlement à la					1		

JOURNAL DE SONDAGE AU DIAMANT

DE (m)	À (m)	DESCRIPTION LITHOLOGIQUE	ÉCHANTILLONNAGE ET ANALYSES						
			NO ÉCHAN.	DE (m)	À (m)	LARGEUR (m)	SULF. (%)	Au (ppm)	
								Au AA24	Au SCR21
		foliation; 1% PO-CP.							
		9.61-9.68: Veinules (7mm) de QZ de forme lenticulaire allongées selon la foliation; Tr PY; 1% PY sur les épontes.					TR-1		
		9.80-9.84: Veine QZ-AM±EP±CB; orientée selon la foliation.							
9.90	88.73	TONALITE Roche de couleur gris claire à gris moyen; à grain moyen (2-3mm); massive à très grossièrement foliée; composée de 75-85% de PG subédrique, 10-15% de QZ interstitiel ou formant des yeux millimétriques allongés selon la foliation, et de 7% de très fine BO; moyennement à peu fracturée ((65° AC) (opposé), 30° AC, et plus rarement à 5° AC) avec espacement moyen des fractures à 30cm; localement SI+ et très légèrement SR+; FP parfois allongé selon la foliation; intersectée de dykes et de filon couches mafiques AM+ et intermédiaire (diorite); Tr de PY disséminée.							
		9.90-10.26: Tonalite partiellement SI+; foliation à 80° AC.							
		10.26-10.44: Roche mafique à grain fin AM+ et BO+.							
		10.44-10.46: Tonalite partiellement SI+.							
		10.46-10.47: Roche mafique à grain fin AM+ et fortement BO+.							

JOURNAL DE SONDAGE AU DIAMANT

DE (m)	À (m)	DESCRIPTION LITHOLOGIQUE	ÉCHANTILLONNAGE ET ANALYSES						
			NO ÉCHAN.	DE (m)	À (m)	LARGEUR (m)	SULF. (%)	Au (ppm)	
								Au AA24	Au SCR21
		10.47-10.48: Veine QZ orientée selon la foliation							
		10.48-10.51: Tonalite partiellement SI+.							
		10.51-10.52: Veine QZ orientée selon la foliation							
		10.52-10.60: Roche mafique à grain fin AM+ et BO+.							
		10.60-10.80: Tonalite partiellement SI+; foliation à 80° AC.							
		10.80-10.87: Tonalite EP+ de teinte beige et verdâtre.							
		10.87-11.16: Tonalite rose et verdâtre; PG altéré en EP; CL+ des minéraux mafiques; enrichissement en FP K.							
		11.16-11.34: Tonalite partiellement SI+.							
		11.34-11.88: Roche mafique BO+ gris brunâtre à grain moyen (1mm); BO+; composée de 40% de PG subédrique; 53% de BO brunâtre euédrique alignée selon la foliation; et de CB (7%) (produit altération); Tr de PY; contacts inf./sup. à 72° AC.							
		11.98-13.04: Tonalite à grain moyen avec bandes de couleur blanchâtre composées de PG de couleur claire et de QZ; bandes orientées selon la foliation; allongement des grains de QZ formant des yeux; présence de veinules (<5mm) de QZ orientées selon la foliation.							
		12.00: foliation à 72° AC							

JOURNAL DE SONDAGE AU DIAMANT

DE (m)	À (m)	DESCRIPTION LITHOLOGIQUE	ÉCHANTILLONNAGE ET ANALYSES						
			NO ÉCHAN.	DE (m)	À (m)	LARGEUR (m)	SULF. (%)	Au (ppm)	
								Au AA24	Au SCR21
		12.94-12.95: Veine de QZ orientée selon la foliation; Tr de PY.	43078	12.94	13.44	0.50	TR	0.007	
		13.04-13.21: Roche mafique gris brunâtre à grain moyen (1mm); idem à 11.34-11.88.							
		13.21-15.91: Tonalite à grain moyen avec bandes de couleur blanchâtre; idem à 11.98-13.04.	43079	13.44	13.94	0.50		-0.005	
		13.24-13.28: Veine de QZ orientée selon la foliation; Tr PY.	43080	13.94	14.44	0.50		0.008	
		13.35-13.36: Veine de QZ orientée à 30° AC; 1% PO-PY sur les épontes.					1		
		13.41: Veine (1cm) de QZ orientée à 30° AC; 1% PY sur les épontes.					1		
		13.82-13.84: Zone d'altération en SR; Tr PY.					TR		
		14.16-14.18: Zone plus altérée en SR.							
		15.22: Veinule (3mm) de QZ orientée selon la foliation (73° AC).							
		15.43: Veinule (5mm) de QZ orientée à 30° AC; 2% PY sur les épontes.					2		
		15.91-19.30: Tonalite à grain moyen; foliation marquée par l'allongement des grains de FP.							
		17.00: Foliation orientée à 75° AC.							
		19.00: Foliation orientée à 75° AC.							
		19.30-20.30: Roche mafique AM+ à grain fin, gris très foncé et verdâtre; localement BO+; Tr de PY; contact sup./inf. à 75° AC.							

JOURNAL DE SONDAGE AU DIAMANT

DE (m)	À (m)	DESCRIPTION LITHOLOGIQUE	ÉCHANTILLONNAGE ET ANALYSES						
			NO ÉCHAN.	DE (m)	À (m)	LARGEUR (m)	SULF. (%)	Au (ppm)	
								Au AA24	Au SCR21
		20.30-20.92: Tonalite; nettement plus déformé à la base de la section.							
		20.44-20.46: Veine QZ-CB gris orientée selon la foliation.							
		20.92-21.80: Roche mafique AM+ à grain fin, vert foncé et brunâtre; BO+ et légèrement CB+; altération des PG en EP près du contact inf. (60° AC).	43081 43082 Blanc	21.05 *	21.80 *	0.75 *		-0.005 -0.005	
		21.80-22.61: Tonalite très déformée; EP+; les grains de QZ forment des yeux allongées selon la foliation; Tr PY; foliation à 75° AC.	43083	21.80	22.61	0.81	TR	0.008	
		22.61-22.70: Roche mafique AM+ à grain fin, vert foncé et brunâtre; BO+; légèrement CB+; contact sup./inf. à 42° AC (opposé).	43084	22.61	23.31	0.70		0.007	
		22.70-24.05: Tonalite à grain moyen; avec bandes (<2cm) blanchâtre.							
		24.05-25.00: Roche mafique AM+ à grain fin, vert foncé et brunâtre; Idem à 22.61-22.70; PG un peu plus abondant et EP+; 1% de PY fine dispersée.					1		
		25.00-25.40: Tonalite à grain moyen; idem à 22.70-24.05; légèrement EP; présence de FP K dans les bandes claires; altération en CL-EP-FP K au contact inférieur.							
		25.40-27.96: Roche mafique AM+ gris très foncé et verdâtre;							

No du sondage: AQU-04-09

JOURNAL DE SONDAGE AU DIAMANT

DE (m)	À (m)	DESCRIPTION LITHOLOGIQUE	ÉCHANTILLONNAGE ET ANALYSES						
			NO ÉCHAN.	DE (m)	À (m)	LARGEUR (m)	SULF. (%)	Au (ppm)	
								Au AA24	Au SCR21
		légèrement CB+; présence de glomérophyroblastos (4-25 mm) de QZ-PG-EP; contact inf. à 70° AC; présence de MT.							
		27.96-28.24: Roche dioritique à grain fin (1mm) gris verdâtre composée de PG, AM et de BO; PG nettement plus abondant; présence de MT; très légère CB+; contact inf. net à 68° AC (opposé à la foliation de la tonalite).							
		28.24-28.44: Tonalite à grain moyen							
		28.44-28.68: Roche dioritique à grain fin (1mm) gris verdâtre; idem à 27.96-28.24; contacts à 57° AC (opposé à la foliation de la tonalite).							
		28.68-28.75: Tonalite à grain moyen.							
		28.75-30.64: Roche mafique AM+ à grain fin; légèrement BO+ et CB+; Tr de PY; contact inf. BO+ avec 1% PY					1		
		28.85-29.17: Zone de cisaillement; fortement CL+ et CB+; 1% PY sous forme de cube atteignant jusqu'à 2mm x 2mm.					1		
		29.02-29.16: Roche broyée.							
		30.22-30.64: Nombreuses veinules de QZ±CB; orientées selon la foliation (70° AC)							
		30.64-30.73: Tonalite à grain moyen; contact sup. 77° AC (selon la foliation); contact inf. 32° AC (fracturé).							

JOURNAL DE SONDAGE AU DIAMANT

DE (m)	À (m)	DESCRIPTION LITHOLOGIQUE	ÉCHANTILLONNAGE ET ANALYSES						
			NO ÉCHAN.	DE (m)	À (m)	LARGEUR (m)	SULF. (%)	Au (ppm)	
								Au AA24	Au SCR21
		30.73-32.78: Roche dioritique à grain moyen, gris moyen et brunâtre; 40% de minéraux mafiques (AM) altérée en BO; légèrement CB+; 0.5-2% PY euédrique (0.5mm) dispersée; section inférieure EP+.	43085 43086	31.78 32.28	32.28 32.78	0.50 0.50	0.5-2	0.022 0.025	
		32.15-32.16: Veine de QZ-CB-AM avec minéral (BR ?) rhomboédrique (1-2 mm) de couleur rose; Tr de PY.							
		32.17: Idem à 32.15-32.16; 0.5mm.							
		32.78-33.01: Tonalite SI+ de couleur gris rougeâtre avec BO rougeâtre; foliation à 80° AC; 0.5% PY sous forme de très fins filonnets orientés selon la foliation.	43087	32.78	33.06	0.28	0.5	0.046	
		33.01-33.06: Roche dioritique à grain moyen, gris moyen et brunâtre; idem à 30.73-32.78; PG altéré en EP.							
		33.06-33.37: Veine QZ translucide avec placage de PY dans les fractures; séparée par des enveloppes (5mm) de QZ-SR-BO-PY (2%); contact sup. à 70° AC; contact inf. à 40° AC.	43088	33.06	33.37	0.31	2		0.3
		33.37-35.80: Roche dioritique gris verdâtre à grain moyen; composé de 40% d'AM CL+ et BO+, et de 60% de PG gris partiellement EP+; fortement CB+; Tr de PY; grossièrement foliée (60°AC); fractures orientées selon la foliation et espacées à intervalle de 15 à 20cm.	43089 43090 43091	33.37 * 33.87	33.87 * 34.37	0.50 * 0.50		0.027 1,290 0.008	
		35.80-35.90: Tonalite SI+ à grain moyen de couleur grise de teinte légèrement violacée et avec bande (1cm) de PG blanchâtre; QZ et FP allongé selon foliation; Tr PO-PY.	43092	35.51	36.01	0.50	TR	0.026	

JOURNAL DE SONDAGE AU DIAMANT

DE (m)	À (m)	DESCRIPTION LITHOLOGIQUE	ÉCHANTILLONNAGE ET ANALYSES						
			NO ÉCHAN.	DE (m)	À (m)	LARGEUR (m)	SULF. (%)	Au (ppm)	
								Au AA24	Au SCR21
		35.90-36.01: Roche dioritique gris verdâtre à grain moyen; PG fortement EP+.							
		35.90-35.92: Veine QZ gris clair orientée à 85° AC; 1% PY.							
		36.01-36.74: Tonalite SI+; Idem à 35.80-35.90	43093	36.01	36.74	0.73		0.123	
		36.38-36.42: Zone fortement SI+; 1% PO-CP sous forme filonnets orientés parallèlement à la foliation).					1		
		36.74-41.94: Tonalite à grain moyen d'aspect plus massif passant graduellement à une roche plus foncée avec une foliation plus marquée (augmentation du % de BO); présence de bandes (1-7cm) claires composée de PG-QZ-AM-BO-GR orientées selon la foliation.	43094	36.74	37.44	0.70		0.032	
		37.69-37.72: Section très fortement EP+.							
		38.07-38.08: Veine QZ enfumé orientée selon la foliation (75° AC).	43095	38.64	39.34	0.70		0.018	
		39.71-39.80: Zone SI+.	43096	39.34	39.84	0.50		0.029	
		39.93-40.08: Roche mafique AM+ à grain fin.	43097	39.84	40.67	0.83		0.042	
		39.93-40.03: Zone d'altération BO-QZ-CL-EP-CB; 2% PY.					2		
		40.85-40.93: Veine QZ±CL; Tr PY.	43098	40.67	41.17	0.50		0.049	
		40.95-40.98: Section SI+; 1% PY.	43099	41.17	41.87	0.70	1	0.061	
		41.58-41.63: Roche mafique fortement CL; Tr PY.							
		41.63-41.69: Veine QZ-CL-CB-EP.							
		41.69-41.94: Tonalite SI+.							

JOURNAL DE SONDAGE AU DIAMANT

DE (m)	À (m)	DESCRIPTION LITHOLOGIQUE	ÉCHANTILLONNAGE ET ANALYSES						
			NO ÉCHAN.	DE (m)	À (m)	LARGEUR (m)	SULF. (%)	Au (ppm)	
								Au AA24	Au SCR21
		41.94-46.84: Roche mafique AM+ à grain très fin; injecté de fines veinules de QZ-CB orientées selon la foliation ou plus rarement à 10° AC et de veine (<1cm) de QZ-CB partiellement démembrées et étirées selon la foliation; légère EP+ associée aux épontes de ces veines; roche faiblement CB+; fractures orientées à 53° AC (recoupant la foliation) et 77° AC (selon la foliation).							
		44.07-44.08: Veine QZ-CL avec CB+ et EP+ des épontes; Tr PY sur les épontes					TR		
		44.38-44.42: Veine (1cm) QZ±CB étirée selon la foliation; Tr PY.					TR		
		45.45-45.50: Veine QZ laiteux orientée à 40° AC.							
		45.85-45.88: Veine QZ séparée par 2 niveaux CL+; CB dans les fractures et sur les épontes; Tr PY; orientée selon la foliation.					TR		
		46.84-46.90: Roche dioritique gris verdâtre à grain moyen; grossièrement folié; composé 80% PG gris, de 10-15% d'AM et 5% BO; CL+ et partiellement CB+; foliation à 70° AC.							
		46.90-46.92: Roche mafique AM+ vert foncé à grain très fin.							
		46.92-47.08: Roche dioritique gris verdâtre à grain moyen; idem à 46.84-46.90.							
		47.08-47.19: Roche mafique AM+ vert foncé à grain très fin.							
		47.19-61.92: Tonalite à grain moyen							

JOURNAL DE SONDAGE AU DIAMANT

DE (m)	À (m)	DESCRIPTION LITHOLOGIQUE	ÉCHANTILLONNAGE ET ANALYSES						
			NO ÉCHAN.	DE (m)	À (m)	LARGEUR (m)	SULF. (%)	Au (ppm)	
								Au AA24	Au SCR21
		48.00: Foliation orientée à 78° AC							
		49.12: Veine (1cm) de QZ orientée à 35° AC; Tr PO sur les épontes.	43100	49.29	49.99	0.70	TR	0.062	
		49.86-49.99: Roche mafique AM+ vert foncé à grain très fin; légèrement BO+; contacts selon la foliation (80° AC).	43101	49.99	50.29	0.30		0.119	
		49.99-50.21: Tonalite à grain moyen.	43102 43103 Blanc	50.29 *	50.99 *	0.70 *		0.054 0.005	
		50.21-50.23: Veine QZ orientée selon la foliation; Tr PO-PY.	43104	50.99	51.69	0.70	TR	0.006	
		50.23-52.19: Tonalite à grain moyen.	43105	51.69	52.19	0.50		0.041	
		52.19-52.46: Zone minéralisée avec veines de QZ aurifères orientées selon la foliation (84° AC).	43106	52.19	52.46	0.27	Au visible		51.5
		52.19-52.22: Zone QZ-SR-BO; Tr PY-PO formant des filonnets orientés selon la foliation.							
		52.22-52.24.5: Veine de QZ gris et enfumé; 2 grains d' or visible sur la surface de la carotte.							
		52.24.5-52.25: Zone QZ-SR-BO; Tr PO-PY formant des filonnets orientés selon la foliation.					TR		
		52.25-52.27.5: Veine QZ gris et enfumé; 5 grains d' or visible sur la surface de la carotte.							
		52.27.5-52.28: Zone QZ-SR-BO; Tr PO-PY formant des filonnets orientés selon la foliation.					TR		

JOURNAL DE SONDAGE AU DIAMANT

DE (m)	À (m)	DESCRIPTION LITHOLOGIQUE	ÉCHANTILLONNAGE ET ANALYSES						
			NO ÉCHAN.	DE (m)	À (m)	LARGEUR (m)	SULF. (%)	Au (ppm)	
								Au AA24	Au SCR21
		52.28-52.29: Veine QZ gris et enfumé.							
		52.29-52.36: Tonalite BO+ et EP+; Tr PO-PY.					TR		
		52.36-52.37.5: Zone QZ-SR-BO; Tr PO-PY formant des filonnets orientés selon la foliation.					TR		
		52.37.5-52.38.5: Veine QZ enfumé.							
		52.38.5-52.43: Tonalite BO+ et SR+; Tr PO-PY formant des filonnets.					TR		
		52.43-52.46: Veine QZ enfumé bordée par une enveloppe (3 mm) de SR.							
		52.46-54.19: Tonalite à grain moyen.	43107	52.46	52.96	0.50		0.188	
		53.00: Foliation orientée à 80° AC.	43108	52.96	53.66	0.70		0.005	
		54.00: Foliation orientée à 77° AC.	43109	53.66	54.36	0.70		0.007	
			43110	54.36	55.06	0.70		-0.005	
		54.19-54.27: Roche mafique AM+; PG partiellement EP+; contacts à 80° AC (opposé).							
		54.27-61.91: Tonalite à grain moyen (2-3mm) avec bandes (1-5cm) de couleur blanchâtre composé de PG clair, de QZ gris, AM, EP et parfois de GR formant des amas millimétriques à plurimillimétriques. 60.00 m: foliation orientée 78° AC.							
		61.91-62.71: Roche mafique AM+ vert foncé à grain très fin; contacts légèrement BO+; présence de MT.	43111	61.15	61.85	0.70		-0.005	
		62.07-62.12: Veine de QZ orientée à 30° AC.	43112	61.85	62.35	0.50		0.038	
		62.62-62.65: Zone d'altération en QZ-EP-CB;	43113	62.35	62.85	0.50		0.023	

JOURNAL DE SONDAGE AU DIAMANT

DE (m)	À (m)	DESCRIPTION LITHOLOGIQUE	ÉCHANTILLONNAGE ET ANALYSES						
			NO ÉCHAN.	DE (m)	À (m)	LARGEUR (m)	SULF. (%)	Au (ppm)	
								Au AA24	Au SCR21
		présence d'un minéral (BR ?) rhomboédrique (1-2 mm) de couleur rose; Tr de PY.							
		62.71-65.20: Tonalite à grain moyen; idem à 54.27-61.91; localement EP+.	43114	62.85	63.55	0.70		-0.005	
		65.20-65.91: Roche mafique AM+ à grain fin; partiellement BO+; altération des contacts en BO-EP; contact sup./inf. à 20° AC (opposé).							
		65.91-66.17: Tonalite à grain moyen; foliation orientée à 70° AC.							
		66.17-66.31: Roche mafique AM+ à grain fin; idem à 65.20-65.91; contact inf./sup. à 45° AC (opposé)							
		66.31-88.13: Tonalite à grain moyen avec bande (1-10 cm) de couleur blanchâtre, grise et noir verdâtre, composée de PG, d'AM et de QZ et localement de GR; foliation marquée par l'allongement des FP; roche très peu fracturée; quelques rares veinules (0.5cm) QZ orientées à 50° AC; quelques zones silicifiées et localement EP.							
		70.00: Foliation orientée à 70° AC. 75.00: Foliation orientée à 69° AC. 80.00: Foliation orientée à 65° AC. 85.00: Foliation orientée à 70° AC.	43115	68.19	68.89	0.70		0.035	
		69.02-69.12: Zone de cisaillement QZ-SR-BO; Tr PO-PY.	43116	68.89	69.19	0.30	TR	0.012	

JOURNAL DE SONDAGE AU DIAMANT

DE (m)	À (m)	DESCRIPTION LITHOLOGIQUE	ÉCHANTILLONNAGE ET ANALYSES						
			NO ÉCHAN.	DE (m)	À (m)	LARGEUR (m)	SULF. (%)	Au (ppm)	
								Au AA24	Au SCR21
		69.10-69.12: Veine QZ lenticulaire orientée selon la foliation.							
		71.99-72.11: Section SI+ et légèrement EP.	43117	69.19	69.89	0.70		-0.005	
		75.39: Présence de GR sous forme d'amas millimétriques.							
		77.02-77.11: Présence de GR sous forme d'amas millimétriques							
		77.42-77.54: Roche mafique AM+ et partiellement BO+ en contact avec une section de tonalite à grain moyen avec bandes PG-QZ-AM-GR recoupé par une veine de QZ-CB près du contact supérieur.							
		77.90-77.96: Roche mafique EP+ et légèrement CB+; présence de GR (2%).							
		79.63-79.90: 1% GR associé à une bande plus riche en PG.							
		80.07: 1% GR sous forme d'amas plurimillimétriques.							
		83.31-83.65: Roche dioritique à grain fin partiellement EP; Tr sulfures.					TR		
		83.46: Veinule (0.5mm) de QZ orientée selon la foliation.	43118	82.61	83.31	0.70		-0.005	

JOURNAL DE SONDAGE AU DIAMANT

DE (m)	À (m)	DESCRIPTION LITHOLOGIQUE	ÉCHANTILLONNAGE ET ANALYSES						
			NO ÉCHAN.	DE (m)	À (m)	LARGEUR (m)	SULF. (%)	Au (ppm)	
								Au AA24	Au SCR21
		83.57-83.58: Veine QZ orientée selon la foliation; éponte inférieure SI+, EP+ et légèrement CB+; 1% PO.	43119	83.31	83.65	0.34	1	0.053	
		83.65-84.39: Tonalite plus SR+; 3% de GR; foliation nettement plus marquée avec yeux QZ (7 x 3mm) allongés selon la foliation.	43120 43121 Standard	83.65 *	84.35 *	0.70 *		-0.005 1.285	
		84.39-84.61: Roche mafique AM+; moyennement BO+; légèrement CB+; contacts inf./sup. à 65° AC (opposé à la foliation).							
		84.84-84.85: Veine QZ orientée à 40° AC.							
		86.16-86.22: Veine QZ orientée à 40° AC.							
		88.62: Fractures orientées à 15° AC avec remplissage EP.							
		FIN DU SONDAGE A 88.73. TUBAGE RETIRE.							



JOURNAL DE SONDAGE AU DIAMANT

PROPRIÉTÉ: AQUILON

No du sondage: AQU-04-10

Grille:

Station:

Ligne:

Coord. UTM (NAD 83)

Estant: 663 218

Nordant: 5 995 695

Élévation: 429 m

Titres miniers: 3937 & 3948

Plongée: -60°

Azimuth: N150°

Profondeur: 69.81 m

Calibre: BTW

Entreposage: Propriété

Foré par: Forage Utika Inc.

Journal par: Roger Moar, géo

Débuté le: 28 septembre 2004

Terminé le: 29 septembre 2004

TESTS D'ORIENTATION (HCI)

PROFONDEUR

69.81 m

PLONGÉE

-58°

AZIMUTH

JOURNAL DE SONDAGE AU DIAMANT

DE (m)	À (m)	DESCRIPTION LITHOLOGIQUE	ÉCHANTILLONNAGE ET ANALYSES						
			NO ÉCHAN.	DE (m)	À (m)	LARGEUR (m)	SULF. (%)	Au (ppm)	
								Au AA24	Au SCR21
0.00	1,22	TUBAGE							
1.10	69.81	TONALITE Roche gris clair et gris moyen; à grain moyen (2-3mm); massive à très grossièrement foliée; composée de 10-15% QZ; 75-85% PG subédrique et 7-10 % de très fine BO; fractures orientées à 50° AC (opposé), 45° AC (opposé), 15° AC et 70° AC (selon la foliation); très légère SR+; injectée de veines et de veinules QZ orienté à 45 ° AC et 70° AC et de nombreux dykes / filon couches mafiques AM+ et dioritiques; foliation marquée par l'allongement des FP ou des yeux de QZ; Tr MT; présence de bandes (<5cm) blanchâtre orientées parallèlement à la foliation et composées de PG-QZ-AM-BO.							
		1.10-10.88: Tonalite à grain moyen.							
		1.10-1.64: Section fortement fracturée.							
		1.71: Fracture ouverte à 45° AC avec altération rouille.							
		1.94: Fracture ouverte à 90° AC avec altération rouille.							
		2.06: Veinule (0.5cm) de QZ orientée à 40° AC							
		2.69-2.96: Fractures ouvertes à 52° AC avec altération rouille.							
		3.51: Veinule (5mm) de QZ orientée // à la foliation.							
		4.51: Veinule (5mm) de QZ orientée // à la foliation.							

JOURNAL DE SONDAGE AU DIAMANT

DE (m)	À (m)	DESCRIPTION LITHOLOGIQUE	ÉCHANTILLONNAGE ET ANALYSES						
			NO ÉCHAN.	DE (m)	À (m)	LARGEUR (m)	SULF. (%)	Au (ppm)	
								Au AA24	Au SCR21
		5.00: Foliation orientée à 77° AC							
		5.20: Fracture ouverte à 30° AC avec altération rouille.							
		5.40: Fracture ouverte à 15° AC avec altération rouille.							
		6.08-6.11: Roche mafique AM+ verdâtre à grain fin avec altération des PG en EP; contacts // foliation.							
		6.31-7.28: Altération des PG en EP+							
		6.73: Veinule (5 mm) de QZ orientée à 70° AC							
		7.21: Veinule (5 mm) de QZ orientée // à la foliation.							
		7.38: Veinule (4 mm) de QZ orientée // à la foliation.							
		8.00: Fracture orientée à 15° AC							
		8.17-8.20: Veine QZ orientée // à la foliation.							
		9.70: Fractures orientées // à la foliation et 15° AC.							
		9.03: Veinule (5mm) de QZ enfumée orientée à 60° AC.							
		9.32; 9.38; 9.66: Fractures ouvertes orientées à 30° AC (opposé).							
		10.00: Foliation orientée à 77° AC							
		10.35: Veinule (5mm) de QZ orientée à 50° AC; Tr PY.							
		10.39-10.40: Veine QZ orientée à 50° AC; Tr PY.					TR		
		10.88-11.24: Roche intermédiaire/dioritique à grain fin (1mm) composé de 45% de minéraux mafiques (AM) BO+ et CL+ et de 55% de PG EP+; Tr PY; foliation marquée par					TR		

JOURNAL DE SONDAGE AU DIAMANT

DE (m)	À (m)	DESCRIPTION LITHOLOGIQUE	ÉCHANTILLONNAGE ET ANALYSES						
			NO ÉCHAN.	DE (m)	À (m)	LARGEUR (m)	SULF. (%)	Au (ppm)	
								Au AA24	Au SCR21
		l'alignement des feuillets de BO; CB+; contacts orientés // à la foliation de la tonalite.							
		11.24-11.97: Tonalite à grain moyen avec FP nettement allongé selon la foliation.							
		11.88: Fracture orienté à 15° AC.							
		11.97-12.33: Zone de cisaillement; dyke mafique intensément CL+ et BO+; plan de cisaillement orienté à 40° AC.							
		12.33-12.49: Dyke de pegmatite; composé de QZ gris et PG blanchâtre formant des grains (0.5-1.0cm) euédriques; légèrement EP+; contact sup. orienté à 43° AC (opposé au plan de cisaillement); contact inf. diffus.							
		12.49-12.80: Zone de cisaillement; idem à 11.97-12.33.							
		12.80-14.14: Tonalite à grain moyen.							
		13.18: Fracture orientée à 10° AC (perpendiculaire à la foliation).							
		14.14-17.06: Roche mafique AM+ à grain très fin; moyennement CL+ et localement BO+ et CB+.							
		16.00: Foliation orientée à 65° AC							
		16.45-17.03: Zone de cisaillement intensément CL+ et BO+; 1% PY cubique (2mm)					1		
		17.06-17.61: Roche intermédiaire / dioritique à grain moyen (2mm); composée 55% de PG, 35% AM CL+ et de 10% BO							

JOURNAL DE SONDAGE AU DIAMANT

DE (m)	À (m)	DESCRIPTION LITHOLOGIQUE	ÉCHANTILLONNAGE ET ANALYSES						
			NO ÉCHAN.	DE (m)	À (m)	LARGEUR (m)	SULF. (%)	Au (ppm)	
								Au AA24	Au SCR21
		formant des feuillets alignés selon la foliation; légèrement CB+; PG partiellement EP+.							
		17.61-17.86: Fracture/faille; pas de récupération.							
		17.86-18.00: Tonalite très fracturée; altération rouille.							
		18.00-18.48: Roche intermédiaire / dioritique à grain moyen (2mm); idem à 17.06-17.61.							
		18.48-18.92: Tonalite de teinte plus clair, à grain plus fin; cisailée ?							
		18.92-19.07: Tonalite à grain moyen; plus siliceuse.							
		19.07-19.23: Roche mafique AM+ à grain très fin; fortement BO+, CL+ et plus légèrement EP+; contacts orientés // à la foliation tonalite.							
		19.23-20.24: Tonalite rubanée à grain moyen avec bandes (<3 cm) blanchâtre plus riche en PG clair.							
		20.00: Foliation orientée à 78° AC							
		20.24-20.61: Roche intermédiaire / dioritique à grain moyen grise verdâtre avec teinte bleutée; minéraux mafiques altérés en CL et BO rougeâtre; CB+; Tr PY.					TR		
		20.61-23.03: Tonalite à grain moyen.							

JOURNAL DE SONDAGE AU DIAMANT

DE (m)	À (m)	DESCRIPTION LITHOLOGIQUE	ÉCHANTILLONNAGE ET ANALYSES						
			NO ÉCHAN.	DE (m)	À (m)	LARGEUR (m)	SULF. (%)	Au (ppm)	
								Au AA24	Au SCR21
		20.61-21.03: Tonalite à grain moyen; altération rouille, Tr PY.							
		22.34-22.40: Veine de QZ.							
		23.03-23.34: Roche mafique AM+ à grain très fin; très fortement CL+ et BO+ avec légère CB+; contact sup. orienté à 60° AC; contact inf. orienté à 80° AC.							
		23.34-23.54: Roche intermédiaire / dioritique à grain très fin.							
		23.54-23.62: Roche mafique AM+ à grain très fin; idem à 23.03-23.34.							
		23.62-23.74: Tonalite à grain moyen.							
		23.74-23.88: Roche mafique AM+ à grain très fin; idem à 23.03-23.34.							
		23.88-24.00: Roche intermédiaire / dioritique à grain moyen (2mm); idem à 17.06-17.61.							
		24.00-24.55: Tonalite à grain moyen.							
		24.55-25.14: Roche mafique AM+ à grain très fin; BO+ et légèrement CB+.							
		25.00: Foliation orientée à 80° AC							
		25.14-26.12: Tonalite à grain moyen; recoupé par 2 filon couches (<3cm) mafiques AM+ à grain très fin orientés // à							

JOURNAL DE SONDAGE AU DIAMANT

DE (m)	À (m)	DESCRIPTION LITHOLOGIQUE	ÉCHANTILLONNAGE ET ANALYSES						
			NO ÉCHAN.	DE (m)	À (m)	LARGEUR (m)	SULF. (%)	Au (ppm)	
								Au AA24	Au SCR21
		la foliation.							
		26.12-26.33: Roche mafique AM+ à grain très fin; Tr PO sous forme de fin filonnets orientés // à la foliation; légèrement CB+ et localement BO+; contact inf. orienté // à la foliation.							
		26.33-26.52: Tonalite à grain moyen							
		26.52-31.40: Roche mafique AM+ à grain très fin; fortement BO+ et légèrement CB+; injecté de nombreuses veinules de QZ±CB; Tr PO-PY; quelques veines (<1cm) de QZ orientées // à la foliation.							
		27.54-27.56: Veine QZ gris orienté à 35° AC; Tr PO-PY.					TR		
		28.23-28.26: Veine QZ gris; épontes CL+ et BO+; Tr PO-PY sur les épontes.					TR		
		30.00: Foliation orientée à 73° AC							
		30.47-30.48: Veine QZ-CB orientée à 75° AC.	43122	30,41	31,11	0,70		-0,005	
		30.55-30.57: Veine QZ orientée à 75° AC.	43123	31,11	31,81	0,70		0,013	
			43124 Blanc	*	*	*		-0.005	
		31.05-31.07: Zone d'altération en EP; Tr à 0.5% PO-PY; Tr CP.					TR à 0.5		
		31.36-31.39: Veine QZ±EP orientée à 50° AC; Tr sulfures sur les épontes.					TR		
		31.40-31.46: Tonalite à grain moyen.							

JOURNAL DE SONDAGE AU DIAMANT

DE (m)	À (m)	DESCRIPTION LITHOLOGIQUE	ÉCHANTILLONNAGE ET ANALYSES						
			NO ÉCHAN.	DE (m)	À (m)	LARGEUR (m)	SULF. (%)	Au (ppm)	
								Au AA24	Au SCR21
		31.46-32.05: Roche mafique AM+ à grain très fin; idem à 26.52-31.40.							
		32.00-32.05: Zone d'altération en EP-CB-SR-BO; 1% PY.					1		
		32.05-32.12: Tonalite à grain moyen; 1% PO-PY; sous forme de remplissage des fractures; légèrement SI+.					1		
		32.12-32.16: Zone d'altération QZ-EP-CB; 1% PO-PY.	43125	31,81	32,30	0,49	1	0,050	
		32.16-32.22: Tonalite SI+ et SR+; Tr PO-PY.	43126	32,30	32,63	0,33	TR	0,030	
		32.22-32.24: Roche mafique AM+ et BO+.	43127	32,63	33,33	0,70		0,017	
		32.24-33.42: Tonalite à grain moyen.							
		33.42-33.48: Roche mafique AM+ à grain très fin; BO+ et légèrement CB+; contacts orientés // à la foliation.							
		33.48-33.77: Tonalite à grain moyen.							
		33.77-33.83: Tonalite SI+ avec BO rougeâtre; 1% PO±CP sous forme de filonnets orientés // à la foliation.	43128	33,33	33,83	0,50	1	0,018	
		33.83-34.00: Veine de QZ gris séparé par quelques niveaux (2-3mm) de SR-BO; Tr de PY dans la veine; présence de CB dans les fractures de la veine; niveaux de SR-BO orientés à 75° AC. Contacts // foliation; contact inf. avec un dyke (5 mm) mafique AM+ avec 3% PO.	43129	33,83	34,00	0,17	3		2,1

JOURNAL DE SONDAGE AU DIAMANT

DE (m)	À (m)	DESCRIPTION LITHOLOGIQUE	ÉCHANTILLONNAGE ET ANALYSES						
			NO ÉCHAN.	DE (m)	À (m)	LARGEUR (m)	SULF. (%)	Au (ppm)	
								Au AA24	Au SCR21
		34.00-34.01: Veine QZ orientée // à la foliation.	43130	34,00	34,50	0,50		0,039	
		34.01-34.32: Tonalite à grain moyen.							
		34.32-35.22: Tonalite à grain moyen; SI+ et légèrement SR+; BO rougeâtre; PO formant de très fins filonnets orientés // à la foliation.							
		34.55-34.56: Veine QZ orientée // à la foliation; 2% PO-PY; SR+ des épontes.	43131	34,50	35,00	0,50	2	0,108	
		34.62-34.63: Veine QZ orientée // à la foliation; Tr PY	43132	35,00	35,70	0,70	TR	0,045	
		35.00: Foliation orientée à 77° AC	43133	35,70	36,28	0,58		0,040	
		35.21-35.22: Veine QZ orientée // à la foliation; Tr PO; épontes moyennement SI+.					TR		
		35.22-35.26: Roche mafique AM+, BO+ et légèrement CB+; contacts orientés // à la foliation.							
		35.26-35.55: Tonalite à grain moyen.							
		35.55-35.74: Roche mafique AM+, BO+ et légèrement CB+; contacts orientés // à la foliation (70° AC).							
		35.74-35.84: Tonalite à grain moyen.							
		35.84-35.87: Roche mafique AM+ et très fortement BO+; contact sup. 75° AC (opposé); contact inf. 75° AC.							

JOURNAL DE SONDAGE AU DIAMANT

DE (m)	À (m)	DESCRIPTION LITHOLOGIQUE	ÉCHANTILLONNAGE ET ANALYSES						
			NO ÉCHAN.	DE (m)	À (m)	LARGEUR (m)	SULF. (%)	Au (ppm)	
								Au AA24	Au SCR21
		35.87-36.28: Tonalite à grain moyen avec allongement marqué des FP à la base de la section; rare veine (<1cm) de QZ orientées // à la foliation.							
		36.22-36.25: Section fortement SR+; Tr PY.					TR		
		36.28-36.76: Roche mafique AM+ à grain très fin.							
		36.28-36.30: Section CB+.	43134	36,28	36,58	0,30		0,019	
		36.30-36.32: Veine QZ-CB-EP; présence d'un minéral rose rhomboédrique; Tr de PY.					TR		
		36.32-36.38: Section CB+; 1% PY.					1		
		36.38-36.40: Veine QZ-CB; Tr PY					TR		
		36.40-36.41: Section EP+ et CB+; Tr de PY.					TR		
		36.41-36.42: Veine QZ-CB; Tr PY.							
		36.42-36.76: Roche mafique légèrement CB+; Tr sulfures finement dispersés.	43135	36,58	37,28	0,70	TR	0,030	
		36.76-39.28: Tonalite à grain moyen avec allongement des FP // à la foliation; présence de bandes (<2cm) blanchâtre composées de PG-QZ-BO							
		37.00: Foliation orientée à 75° AC							
		39.18-39.21: Section SI+ et EP+; 2% de MT (0.5mm).							
		39.28-39.31: Roche intermédiaire / dioritique à grain fin; altération des PG en EP; CB+; Tr de PY; contacts orientés // à la foliation.							
		39.31-39.50: Tonalite à grain moyen.							

JOURNAL DE SONDAGE AU DIAMANT

DE (m)	À (m)	DESCRIPTION LITHOLOGIQUE	ÉCHANTILLONNAGE ET ANALYSES						
			NO ÉCHAN.	DE (m)	À (m)	LARGEUR (m)	SULF. (%)	Au (ppm)	
								Au AA24	Au SCR21
		39.50-39.87: Roche intermédiaire / dioritique à grain fin; contacts orientés // à la foliation (67° AC).							
		39.87-41.72: Tonalite à grain moyen; idem à précédent; FP nettement moins étirés.							
		41.72-41.74: Roche mafique AM+ à grain fin; contacts orientés // à la foliation.							
		41.74-41.89: Tonalite à grain moyen.							
		41.89-42.16: Roche mafique AM+ à grain fin; contacts orientés // à la foliation.							
		42.00: Foliation orientée à 85° AC							
		42.16-51.43: Tonalite à grain moyen; intersectée de quelques veinules (<1cm) de QZ orientées à 25° AC.	43136	42,16	42,86	0,70		0,062	
		42.41-42.44: Section SR+	43137	42,86	43,56	0,70		0,009	
		47.00: Foliation orientée à 60° AC	43138	43,56	44,26	0,70		0,058	
		47.02-47.25: Section SI+ et SR+	43139	44,26	44,96	0,70		0,015	
		47.47-47.63: Section SI+	43140	46,29	46,99	0,70		0,120	
		47.82-47.84: Veine de QZ orientées à 78° AC.	43141	46,99	47,49	0,50		0,093	
		47.84-47.85: Section SI+ et légèrement SR+; 1% de fines PO.	43142	47,49	48,19	0,70	1	0,085	
		48.01-51.43: Roche nettement moins siliceuse avec enrichissement en PG.							
		49.40-49.43: Veine de QZ orientée // à la foliation.							
		49.91: Veinule (0.5cm) de QZ orientée à 25° AC.							

JOURNAL DE SONDAGE AU DIAMANT

DE (m)	À (m)	DESCRIPTION LITHOLOGIQUE	ÉCHANTILLONNAGE ET ANALYSES						
			NO ÉCHAN.	DE (m)	À (m)	LARGEUR (m)	SULF. (%)	Au (ppm)	
								Au AA24	Au SCR21
		50.00: Foliation orientée à 76° AC.							
		51.25-51.27: Veine QZ orientée // à la foliation.	43143	50,36	51,06	0,70		0,013	
		51.43-52.51: Roche mafique AM+ à grain très fin injecté de fines veinules de QZ orientées // à la foliation; légèrement CB+; contacts orientés // à la foliation.	43144 43145 Blanc	51,06 *	51,56 *	0,50 *		0,026 -0.005	
		52.16-52.20: Zone d'altération QZ-EP-CB; présence d'un minéral rose rhomboédrique; Tr PY.	43146	51,56	52,26	0,70		0,018	
		52.51-54.20: Tonalite à grain moyen; plus siliceuse que l'unité précédente; intersectée de quelques veines (1cm) de QZ orientées // à la foliation; foliation marquée par l'allongement des FP.	43147	52,26	52,96	0,70		0,012	
		54.20-54.45: Roche mafique AM+ aphanitique à grain très fin; partiellement BO+.							
		54.36-54.45: Roche mafique à grain très fin gris foncé; AM-PG; BO+, EP+ et légèrement CB+; massive.							
		54.45-54.64: Idem à 54.20-54.36 avec zone d'altération en QZ-CB-BO-GR au contact inférieur.							
		54.64-55.14: Idem à 54.36-54.45.	43148	53,68	54,38	0,70		0,009	
		55.00: Foliation orientée à 72° AC	43149	54,38	55,08	0,70		0,011	
		55.14-55.55: Roche intermédiaire/dioritique à grain moyen (2 mm); PG-AM-BO; CB+.	43150	55,08	55,55	0,47		0,005	

JOURNAL DE SONDAGE AU DIAMANT

DE (m)	À (m)	DESCRIPTION LITHOLOGIQUE	ÉCHANTILLONNAGE ET ANALYSES						
			NO ÉCHAN.	DE (m)	À (m)	LARGEUR (m)	SULF. (%)	Au (ppm)	
								Au AA24	Au SCR21
		55.55-56.05: Veine de QZ translucide et très claire; contact sup. / inf. net orienté à 20° AC.	43151	55,55	56,05	0,50		-0,005	
		56.05-59.24: Idem à 55.14-55.55.							
		56.18: Veine (1cm) de QZ enfumé orientée à 20° AC; 7% de PY-MT-CP.	43153 43152 Standard	56,05 *	56,38 *	0,33 *	7	0,019 1,320	
		56.32: Veine (2 cm) de QZ enfumé orientée à 20° AC; 7% de PY-MT-CP.	43154	56,38	57,08	0,70	7	0,014	
		59.24-69.81: Tonalite à grain moyen; très grossièrement foliée; section (< 1cm) localement EP+; intersectée de quelques dykes (<2 cm) mafiques orientés // à la foliation; foliation soulignée par l'allongement des FP; présence de GR associé aux zones plus claires							
		60.00: Foliation orientée à 68° AC							
		62.36-62.39: Veine QZ orientée // à la foliation; 1% PO.	43155	62,12	62,62	0,50	1	0,023	
		64.70-64.72: Veine QZ orientée // à la foliation.							
		64.80-64.81: Veine QZ orientée // à la foliation.							
		65.00: Foliation orientée à 74° AC							
		65.75-65.79: Veine QZ orientée // à la foliation; Tr PY près des épontes.	43156	65,53	66,03	0,50	TR	-0,005	
		65.82-65.83: Veine QZ orientée // à la foliation.							
		69.00: Foliation orientée à 74° AC							
		FIN DU SONDAGE À 69.81. TUBAGE RETIRE.							



JOURNAL DE SONDAGE AU DIAMANT

PROPRIÉTÉ: AQUILON**DDH No: AQU-04-11****Grille:****Station:** 3+82.5S**Ligne:** 46+00E**Coord. UTM (NAD 83)****Estant:** 663 513**Nordant:** 5 995 718**Élévation:** 422 m**Titres miniers:** 3860, 3869 & 3948**Plongée:** -50°**Azimuth:** N150°**Profondeur:****Calibre:** BTW**Entreposage:** Val D'Or**Foré par:** Forage Utika Inc.**Journal par:** Philippe Berthelot, géo**Débuté le:** 29 septembre 2004**Terminé le :** 7 octobre 2004**TESTS D'ORIENTATION (HCI)**

PROFONDEUR	PLONGÉE	AZIMUTH
119.00 m	-49°	

JOURNAL DE SONDAGE AU DIAMANT

DE (m)	À (m)	DESCRIPTION LITHOLOGIQUE	ÉCHANTILLONNAGE ET ANALYSES						
			NO ÉCHAN.	DE (m)	À (m)	LARG. (m)	DESCRIPTION	Au (ppm)	
								Au AA24	Au SCR21
0,00	1,50	MT							
1,50	32,20	Tonalite de couleur gris moyen. Granulométrie moyenne. Composée surtout de felds-quartz et 15 à 20% de fine biotite, avec un début de rubanement. Schistosité: 90° a.c. Localement 1% Py dans le rubanement. Horizons mafiques à biotite, fine amphibole verte et felds., de granulométrie fine. (de 8.6-7.1 ; 16.1-16.9 et 27.0-30.0) Veinules et petites veines de Qz-Ser éparées avec loc. Py-Po, recoupantes la schistosité ou sub-parallèles.	43157	3,17	3,67	0,50	V. Qz-Ser, 1% Py, 3cm. (20°-60°a-c)	0,102	
			43158	8,34	8,84	0,50	V. Qz-Ser-Bio, Tr. Py, 4cm.	0,039	
			43159	9,77	10,27	0,50	Idem	0,007	
			43160	19,71	20,28	0,57	0.5% micro-veinules avec Py.	0,019	
			43161	20,28	20,62	0,34	V. Qz-Ser-2% Po, 20 et 5cm.	0,008	
			43162	20,68	21,26	0,58	Tr. Py.	0,017	
			43163	21,26	21,91	0,65	15% veinules Qz. Une de 15cm.	0,008	
			43164	21,91	22,41	0,50	1% micro-veinules Qz-Py	0,007	
			43165	22,41	23,11	0,70	V. Qz, 5cm, 0.5% Py.	0,005	
			43166 Blanc	*	*			-0.005	
			43167	25.44	26.14	0.70		0.009	
32,20	119.00	Gneiss à felds-quartz-biotite.	B64548	42,00	42,50	0,50	V. Qz, 2cm, 2%	0,146	

JOURNAL DE SONDAGE AU DIAMANT

DE (m)	À (m)	DESCRIPTION LITHOLOGIQUE	ÉCHANTILLONNAGE ET ANALYSES						
			NO ÉCHAN.	DE (m)	À (m)	LARG. (m)	DESCRIPTION	Au (ppm)	
								Au AA24	Au SCR21
		roche de granulométrie fine, rubanement bien développé centimétrique à décimétrique. 30% d'horizons mafiques à grain fin, surtout biotite fine et amphibole verte. Schistosité: 85° a.c. Veinules et petites veines de Qz-Bio-Py-Po éparses, sub-parallèles à la schistosité et quelques unes recoupantes.					Po.		
		34,00-37,10 : Dyke intermédiaire. De granulométrie moyenne, foliation plus faible. De composition dioritique, surtout felds. avec 20% de biotite et amphibole. Le contact est schistosé à 85° a.c avec veine de Qz-Hem-Epi.	B64549	54,70	56,20	1,50	2% veinules Qz-1% Py.	0,414	
		10% de veinules et veines de Qz-Py-Po, parallèle à la schistosité.	B64550	56,20	57,10	0,90	1% veinules Qz-1% Py.	0,041	
		75,10-79,20 : Dyke intermédiaire. Identique au précédent.	B64551	57,10	58,00	0,90	40% V. Qz-Ser, une de 30cm avec 2% amas de Po. Para. à la schisto.	0,126	
		79,20-81,90 : Dyke gabbroïque. de granulométrie moyenne avec 30% de porphyres de felds xénomorphe, de 0.3 à 0.6cm, dans une matrice mafique à biotite et amphibole.	B64552	58,00	58,50	0,50	V. Qz de 1cm, 50°a.c.	0,018	
		93,70-97,30 : Horizon mafique avec veinules de quartz. Horizon mafique avec 15% veinules et petites veines de quartz-biotite-Py parallèles ou loc. recoupantes la schistosité.	B64553	67,90	68,60	0,70	V. Qz de 4cm, Tr. Py.	0,019	
		99,50-105,20 Horizon mafique. de granulométrie fine, à biotite-amphibole-feldspath. De 103.4 à 105.2: 15% de veinules de quartz-Py parallèle à la schistosité.	B64554	79,20	79,80	0,60	V. Qz, 1cm au contact du dyke.	0,006	
			B64555	81,90	82,80	0,90	V. Qz-Bio sur	0,516	

JOURNAL DE SONDAGE AU DIAMANT

DE (m)	À (m)	DESCRIPTION LITHOLOGIQUE	ÉCHANTILLONNAGE ET ANALYSES						
			NO ÉCHAN.	DE (m)	À (m)	LARG. (m)	DESCRIPTION	Au (ppm)	
								Au AA24	Au SCR21
							10cm, 75°a.c		
			B64556	86,90	87,40	0,50	V. Qz-Bio-grenat sur 20cm, 0.5% Py.	0,06	
			B64557	88,80	89,60	0,80	2 V.Qz recoupantes à 45° a.c.	0,009	
			B64558	89,60	90,20	0,60	Idem	0,124	
			B64559	90,20	90,90	0,70	1% micro-veinules Qz-Py.	0,384	
			B64560	93,70	94,20	0,50	V.Qz, 2cm, 20°a.c.	0,034	
			B64561	94,20	95,00	0,80	0.5% Py.	0,068	
			B64562	95,00	95,70	0,70	V.Qz-Bio, 0.5% Py, de 3 et 5cm.	0,043	
			B64563	95,70	96,90	1,20	2% Veinules Qz, 1% Py. Avec horizon mafique.	0,016	
			B64564	96,90	97,30	0,40	Injection irrégulière de veinules Qz, sub-parallèle à la carotte, avec 5-10% Py.	0,168	
			B64565	97,30	97,90	0,60	1% veinules Qz. 1% Py diss.	0,038	
			B64566	103,40	104,50	1,10	2% veinules Qz, Tr. Py.	0,017	
			B64567	104,50	105,20	0,70	30% veinules Qz,	0,025	

JOURNAL DE SONDAGE AU DIAMANT

DE (m)	À (m)	DESCRIPTION LITHOLOGIQUE	ÉCHANTILLONNAGE ET ANALYSES						
			NO ÉCHAN.	DE (m)	À (m)	LARG. (m)	DESCRIPTION	Au (ppm)	
								Au AA24	Au SCR21
							Tr. Py.		
			B64568	106,60	107,30	0,70	V.Qz-Felds-Bio, 0.5% Py, sur 15 cm, 70°a.c.	0,023	
			B64569	107,30	108,80	1,50	5% veinules Qz. 0.5% Py diss.	0,014	
			B64570	113,70	114,00	0,30	V.Qz, 1cm, 50°a.c.	0,044	
			B64571	117,90	118,25	0,35	V.Qz, 2cm, 50°a.c.	0,007	
			B64572	117,90	118,25	0,35	Duplicata du B64571	0,006	
			B64573	*	*	*	Standard Au. SH- 13:	1,375	
			B64574	*	*	*	Blanc	-0,005	

APPENDIX NO 3

CROSS-SECTIONS OF THE 2004 DIAMOND DRILLING PROGRAMME

APPENDIX NO 4
COMPILATION MAP